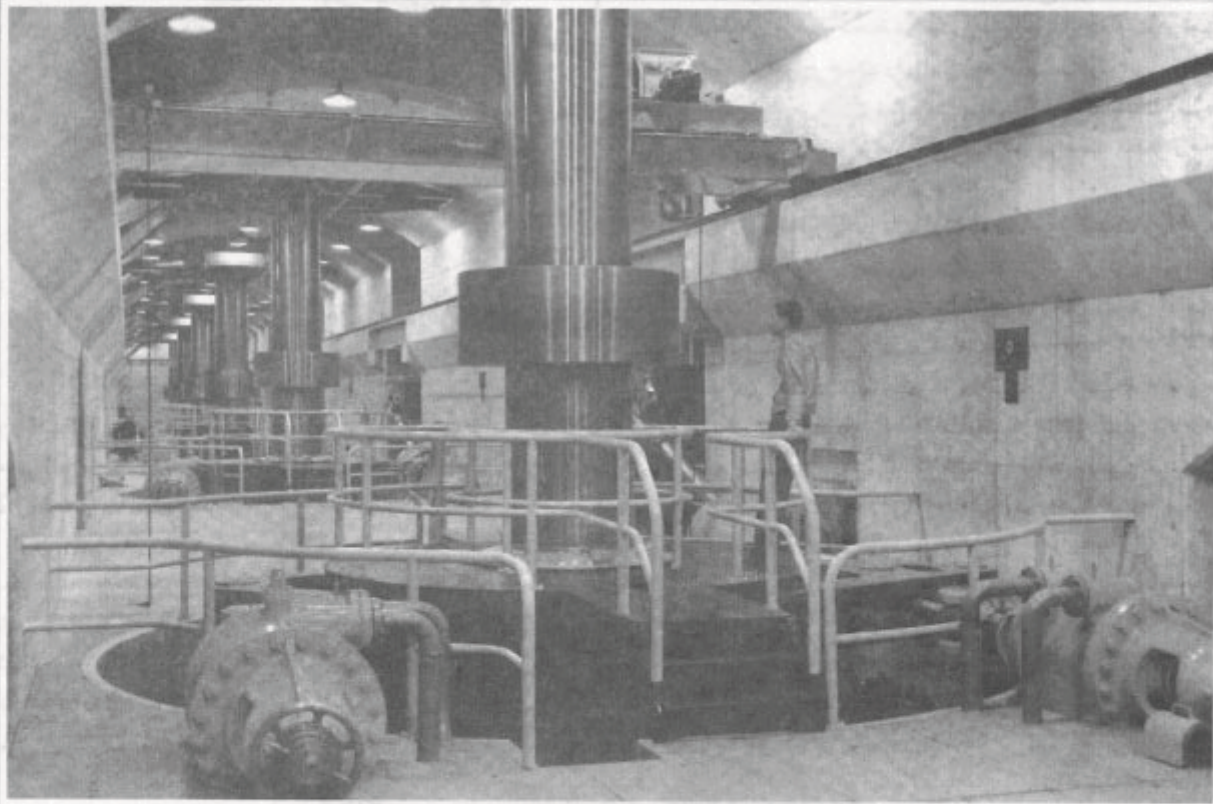


مقاومت مصالح

پیچش



در این فصل، پیچش و تنش و تغییر شکل ناشی از آن را مطالعه می‌کیم. در نیروگاه هیدرولکتریکی نشان داده شده، شفت‌های عمودی که روتور مولدهای الکتریکی را می‌گردانند تحت گوپل توربین‌ها قرار دارند.

۱-۳ مقدمه

نشان داده شده در شکل ۲-۳ برای انتقال قدرت از موتور به چرخ های عقب اتومبیل استفاده می شود. این شفت ها به صورت توپر (شکل ۱-۳) یا تو خالی هستند. سیستم نشان داده شده را در شکل ۳-۳ الف در نظر بگیرید.

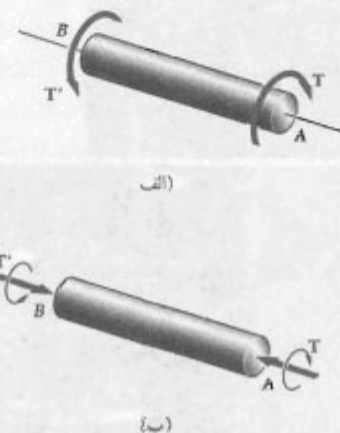
این سیستم از توربین بخاری A و مولد الکتریکی B که به شفت AB متصل است تشکیل شده است. با تجزیه این سیستم به سه قسمت (شکل ۳-۳ ب)، دیده می شود که توربین، کوپل پیچشی T را بر شفت، و شفت نیز کوپل T را بر مولد وارد می کند. مولد نیز کوپل مساوی و مخالف T را بر شفت، و شفت کوپل T را بر توربین اعمال می کند.

ابتدا، تنش و تغییر شکل در شفت های دایره ای را تحلیل می کنیم. در قسمت ۳-۳، خاصیت مهم زیر را نشان می دهیم: وقتی یک شفت دایره ای تحت پیچش قرار می گیرد، تمام مقاطع عرضی به صورت صفحه ای و بدون اعوجاج می مانند. یعنی، گرچه مقاطع عرضی مختلف شفت تحت زوایای متفاوت در امتداد شفت می چرخند، ولی این چرخ صلب گونه است. با این خاصیت می توان توزیع کردن برشی را در یک شفت دایره ای تعیین کرد و نتیجه گرفت که کرنش برشی بر حسب فضله از محور شفت به صورت خطی تغییر می کند.

با در نظر گرفتن تغییر شکل ها در ناحیه الاستیک و با استفاده از قانون هوک برای تنش و کرنش برشی، توزیع تنش برشی در یک شفت دایره ای تعیین می شود و فرمول های پیچش الاستیک بدست می آیند (قسمت ۴-۳).

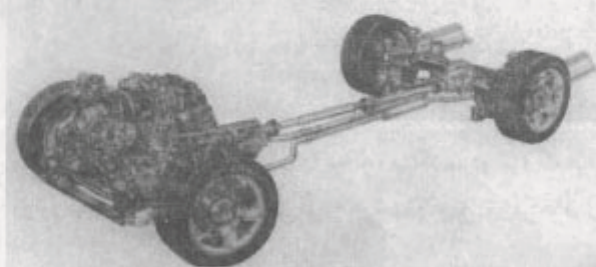
در قسمت ۵-۳، با فرض تغییر شکل الاستیک، زاویه پیچش یک شفت دایره ای را که تحت کوپل معین قرار دارد تعیین می کنیم. در قسمت ۶-۳، مسائل شفت های نامعین استیکی را بررسی می کنیم.

در دو فصل قبل، نحوه محاسبه تنش ها و کرنش ها را در عضوهایی که تحت بارهای محوری قرار داشتند مطالعه کردیم. در این فصل، عضوهای ساختمانی و مکانیکی را تحت پیچش بررسی، و تنش و کرنش در عضوها با مقطع عرضی دایره ای را تحت کوپل های پیچشی T و T' تحلیل می کنیم (شکل ۱-۳). این کوپل ها، که دارای مقدار یکسان T و سوهای مخالفاند، کیت های برداری آند و با پیکان های خمیده (شکل ۱-۳ الف)، یا با بردارهای کوپل (شکل ۱-۳ ب) نشان داده می شوند.

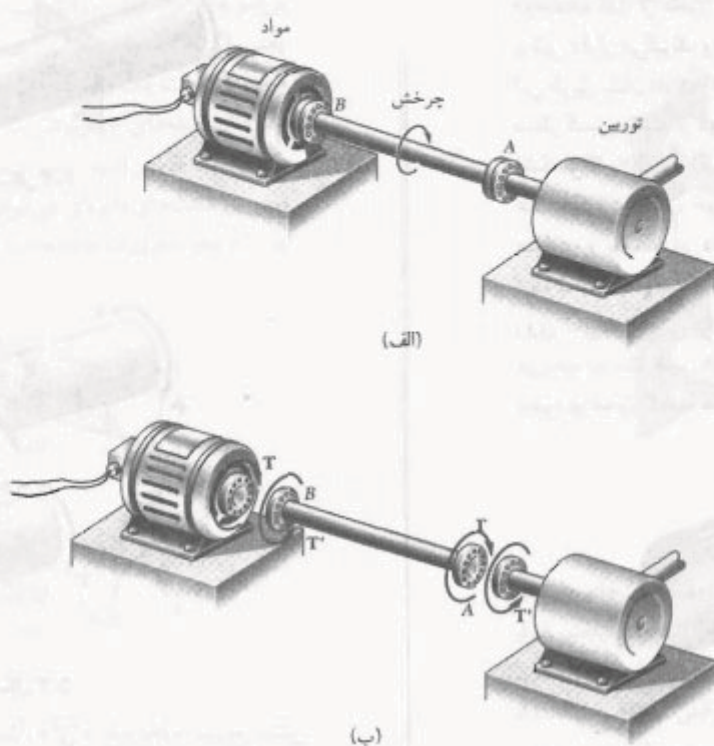


شکل ۱-۳

در اغلب کاربردهای مهندسی با عضوهای تحت پیچش مواجه می شویم. متدائل ترین آنها شفت است که برای انتقال قدرت از نقطه ای به نقطه دیگر به کار می رود. مثلاً، از شفت



شکل ۲-۳ در زنجیره قدرت نشان داده شده، انتقال قدرت از موتور به چرخ های عقب توسط شفت الجام می شود.



شکل ۳-۳

۲-۳ مقدمه‌ای درباره تنش در شفت شفت AB را که در نقاط A و B تحت گشتاورهای مساوی و متضاد T و T' قرار دارند در نظر می‌گیریم، و یک برش را عمود بر محور شفت از نقطه اختیاری C مرکزهایم (شکل ۴-۳). نمودار آزاد قسمت BC شامل نیروهای جزوی برشی dF است که قسمت AC بر قسمت BC هنگام پیچش در امتداد عمود بر شعاع شفت وارد می‌کند (شکل ۴-۵-الف). تعادل قسمت BC نشان می‌دهد که سیستم نیروهای جزوی معادل است با گشتاور داخلی T ، که مساوی و مخالف T' است (شکل ۴-۵-ب). مجموع لنگر^{*} نیروهای برشی dF نسبت به محور شفت را مساوی با گشتاور T قرار داده و می‌نویسیم:

$$\int \rho dF = T$$

اما $dF = \tau dA$ ، که در آن τ تنش برشی وارد بر جزء سطح dA است. درنتیجه،

$$\int \rho (\tau dA) = T \quad (1-3)$$

* به آن گشتاور نیز می‌گویند - مترجم.

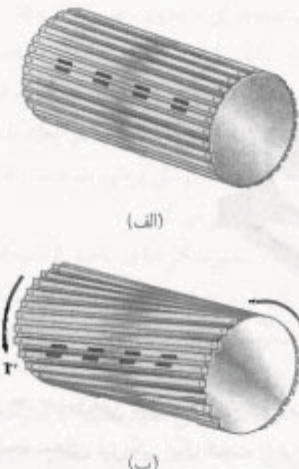
در قسمت ۷-۳، مراحلی شفت‌ها را بررسی می‌کنیم. برای این منظور، مشخصه‌های فیزیکی یک شفت را برحسب سرعت چرخش و قدرت آن تعیین می‌کنیم.

برای تعیین تنش در نزدیک مقاطعی که کوپل وارد می‌شود یا در نزدیک مقاطعی که شفت ناگهان تغییر قطر می‌دهد، از فرمول‌های پیچش نمی‌توان استفاده کرد. به علاوه، این فرمول‌ها فقط در ناحیه الستیک ماده به کار می‌روند.

در قسمت ۸-۳، تعریز تنش را در مقاطعی که قطر شفت در آن تغییر ناگهانی می‌دهد بررسی می‌کنیم. در قسمت‌های ۹-۳ تا ۱۱-۳، تنش و تغییر شکل در شفت‌های دایره‌ای چکش خواری را که از نقطه تسلیم خود فراتر رفته است مطالعه می‌کنیم. در این قسمت‌ها، تغییر شکل پلاستیک و تنش‌های باقیمانده را نیز بررسی می‌کنیم.

در قسمت ۱۲-۳، پیچش عضوهای غیردایره‌ای و در قسمت ۱۲-۴ توزیع تنش در شفت‌های غیردایره‌ای توخالی جدار نازک را تحلیل می‌کنیم.

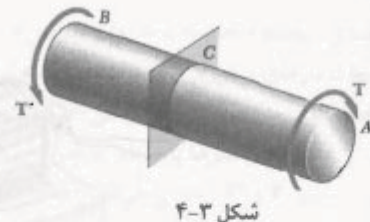
با توجه به شرایط تعادل (قسمت ۱۲-۱)، وجودی که از دو صفحه گذرا از محور شفت تشکیل می‌شوند نبز تحت تنش برشی ۴ قرار می‌گیرند. وجود این تنش‌ها را در پیچش می‌توان به این طریق نشان داد که "شافت" را مشکل از تیغه‌هایی مجزایی در نظر گیریم که از دو انتهای به دیسک‌هایی لولا شده‌اند (شکل ۷-۳-الف). اگر روی دو تیغه مجاور را با رنگ علامت‌گذاری کنیم، خواهیم دید که با اعمال گشتاورهای مساوی و ناهمسو بر دو انتهای "شافت" (شکل ۷-۳-ب)، دو تیغه نسبت به یکدیگر می‌لغزنند. گرچه در شفت چنین لغزشی روی نمی‌دهد، ولی گراش برای لغزش وجود دارد و نشان می‌دهد که تنش‌هایی در صفحات طولی و نبیز در صفحات عمود بر محور شافت به وجود آمده‌اند.*



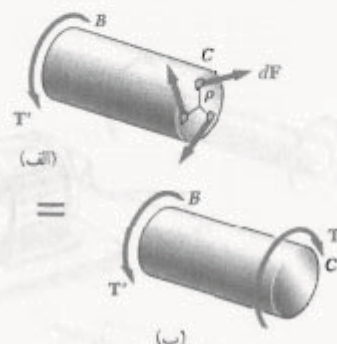
شکل ۷-۳

۳-۳ تغییر شکل در شافت دایره‌ای
یک شافت دایره‌ای را در نظر بگیرید که از یک انتهای به تکیه گاه ثابت متصل است (شکل ۷-۳-الف). اگر گشتاور T بر انتهای دیگر وارد شود، شفت می‌پیچد و انتهای آزاد آن نحut زاویه ϕ ، موسوم به زاویه پیچش، دوران می‌کند (شکل ۷-۳-ب). آزمایش نشان می‌دهد که برای گستره معینی از مقادیر T ، زاویه پیچش ϕ با T و طول L شفت متناسب است. به عبارت دیگر، اگر طول شفتی دوبرابر شود، تنش گشتاور یکسان T ، دارای زاویه پیچش دو برابر خواهد بود، در اینجا می‌خواهیم رابطه بین ϕ ، L

* اخراج یک لوله مقاوی که در جهت طولی بریده شده است نمایش دیگری لاوجوه تنش‌های برشی وارد بر صفحات طولی است.

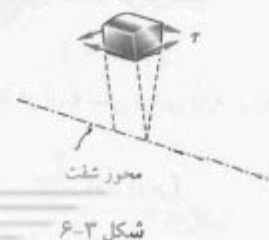


شکل ۴-۳



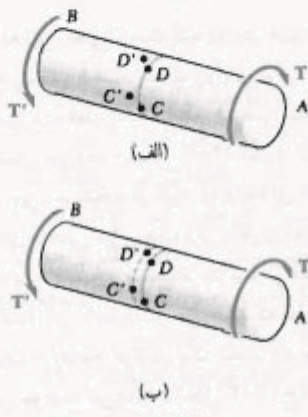
شکل ۵-۳

رابطه بالا گرچه مهم است، ولی درباره نحوه توزیع تنش برشی در یک مقطع عرضی چیزی نمی‌گوید. لذا، طبق قسمت ۱-۵، توزیع واقعی تنش برشی را در این حالت نمی‌توان با روش‌های انتاییک به دست آورد. در قسمت ۵-۱ فرض شد که تنش‌های قائم ناشی از بار محوری مرکزی دارای توزیع پیکواخت‌اند و در قسمت ۲-۱۷ دیدیم که این فرض قابل توجیه است به جز در مجاورت بارهای متتمرکز. ولی، چنین فرضی برای توزیع تنش‌های برشی در یک شفت انتاییک اشتباه است. در واقع، قبل از تحلیل تغییر شکل در شفت، نباید درباره توزیع تنش در آن فضایوت کرد. این کار در قسمت بعد انجام می‌شود. گفتنی است که، طبق قسمت ۱۲-۱، برش فقط در یک صفحه روی نمی‌دهد. جزء کوچکی از شفت نشان داده شده در شکل ۴-۳ را در نظر می‌گیریم. با اعمال گشتاور بر شفت، وجودی که بر محور شفت محور هستند تحت تنش برشی ۴ قرار می‌گیرند.



شکل ۶-۳

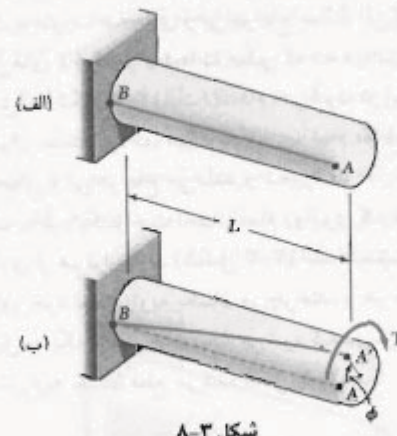
مقاطع عرضی یک شفت دایره‌ای به صورت صفحه‌ای و بی‌اعوجاج می‌مانند زیرا شفت دایره‌ای تقارن محوری دارد؛ یعنی، اگر از وضعیت ثابتی به آن نگاه کنیم و آن را حول محورش تحت یک زاویه اختیاری بچرخانیم، ظاهر آن تغییر نمی‌کند. (میله‌های چهارگوش نیز وقتی به اندازه 90° یا 180° می‌چرخدند، ظاهر آنها تغییر نمی‌کند). با استفاده از تقارن محوری شفت‌های دایره‌ای می‌توان ثابت کرد که مقاطع عرضی این شفت‌ها به صورت صفحه‌ای و بی‌اعوجاج می‌مانند.



شکل ۹-۳

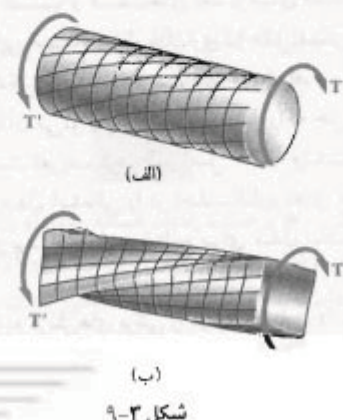
برای این منظور، نقاط C و D را روی محیط یک مقطع عرضی از شفت در نظر می‌گیریم، و وضعیت این نقاط را پس از پیچش شفت با C' و D' نشان می‌دهیم (شکل ۹-۳ الف). بدلنت تقارن محوری شفت و تقارن محوری بارگذاری، در چرخشی که C به D تغییر مکان می‌یابد C' به D' می‌رود. لذا، C' و D' روی محیط یک دایره قرار دارند، و کمان $C'D'$ با کمان CD برابر است (شکل ۹-۳ ب). حال، بررسی می‌کنیم که آیا دایره‌ای که روی آن C' و D' قرار دارند با دایره اولیه متفاوت است یا نه. فرض می‌کنیم که C' و D' روی دایره متفاوتی قرار دارند و دایره جدید در سمت چپ دایره اولیه است (شکل ۹-۳ ب). همین وضع برای سایر مقاطع عرضی برقرار است، زیرا تمام مقاطع عرضی شفت تحت گشتاور داخلی یکسان T قرار دارند، و ناظر واقع انتهای A می‌بیند که دوایر به طرف خارج او حرکت می‌کنند. اما ناظر واقع در انتهای B می‌بیند که دوایر به طرف او حرکت می‌کنند. این دو نتیجه متضاد نشان می‌دهد که فرض مانادرست است و C' و D' روی همان دایره‌ای قرار دارند که C و D واقع‌اند. لذا، وقتی شفت می‌چرخد، بزرگترین مقطع عرضی دایره‌ای آن در صفحه خود می‌یابد. با تکرار این استدلال برای هر دایره کوچکتر و هم مرکز واقع در

T را تعیین، و توزیع تنفس برشی در شفت را بیابیم (کاری که در قسمت قبل نمی‌توانستیم صرفاً با استفاده از استاتیک انجام دهیم).



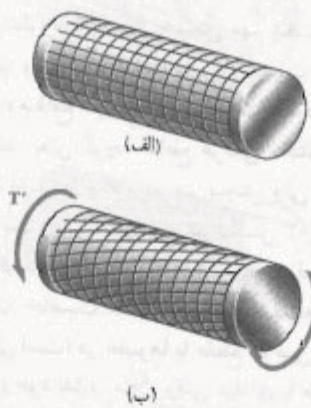
شکل ۹-۲

برای این منظور، به یکی از خواص مهم شفت‌های دایره‌ای اشاره می‌کنیم: وقتی یک شفت دایره‌ای تحت پیچش قرار می‌گیرد، تمام مقاطع عرضی آن به صورت صفحه‌ای و بدون اعوجاج می‌مانند. یعنی، گرچه مقاطع عرضی مختلف در امتداد شفت تحت زوایای متفاوت می‌یابند، ولی این پیچش صلب‌گونه است. این موضوع در شکل ۹-۳ الف برای تغییر شکل یک مدل لاستیکی که تحت پیچش قرار دارد نشان داده شده است. خاصیت مذکور، مشخصه شفت‌های دایره‌ای توپر و توانایی است؛ در عضوها با مقطع عرضی غیر‌دایره‌ای چهارگوش تحت پیچش قرار می‌گیرد، مقاطع عرضی مختلف آن به صورت صفحه‌ای باقی نمی‌مانند (شکل ۹-۳ ب).



شکل ۹-۴

تا به حال، نحوه اعمال کوبیل‌های پیچشی T و T' را در نظر نگرفته‌ایم. برای اینکه تمام مقاطع شفت به صورت صفحه‌ای و بی‌اعوجاج بمانند، باید کوبیل‌ها طوری وارد شوند که دو انتهای شفت به صورت صفحه‌ای و بی‌اعوجاج بمانند. این کار با اعمال کوبیل‌های T و T' بر صفحات صلبی که به دو انتهای شفت متصل‌اند (شکل ۱۲-۳ الف) انجام می‌شود. در این صورت، می‌توان مطمئن بود که، هنگام بارگذاری، تمام مقاطع به صورت صفحه‌ای و بی‌اعوجاج می‌مانند و تغییرشکل در تمام طول شفت به طور یکنواخت است. تمام دوازیری که در فواصل مساوی از هم قرار دارند (شکل ۱۲-۳ الف) نسبت به دایره مجاور خود تحت زاویه یکسان می‌چرخدند، و هر خط مستقیم تبدیل به یک منحنی (مارپیچ) می‌شود که دوابر مختلف را تحت زاویه یکسان قطع می‌کند (شکل ۱۲-۳ ب).

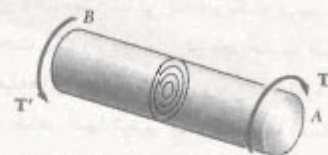


شکل ۱۲-۳

نتایج این قسمت و قسمت‌های بعد بر مبنای صلب بودن صفحات انتهایی است. شرایط بارگذاری در عمل ممکن است با شرایط مدل شکل ۱۲-۳ متفاوت باشد. مزیت اصلی این مدل این است که با آن می‌توان یک مسئله پیچشی را که حل دقیق آن امکان‌پذیر است تعریف کرد. طبق اصل سنت-تونات، نتایج حاصله برای مدل ایده‌آلی را در اغلب کاربردهای مهندسی می‌توان به کار برد. البته، این نتایج برای مدل شکل ۱۲-۳ هستند.

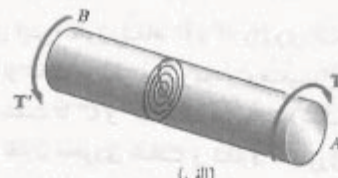
حال، توزیع گونش‌های برشی را در یک شفت دایره‌ای به طول L و به شعاع r که تحت زاویه θ چرخیده است (شکل ۱۲-۳ الف) تعیین می‌کنیم. استوانه‌ای به شعاع R را

مقطع عرضی تحت بررسی، نتیجه می‌شود که تمام مقاطع غریب به صورت صفحه‌ای می‌مانند (شکل ۱۱-۳).



شکل ۱۱-۳

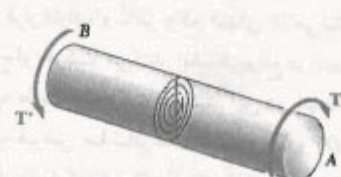
بحث بالا به این معنی نیست که دوازیر هم مرکز شکل ۱۱-۳، هنگام پیچش شفت، تحت زوایای برابر می‌چرخدند. زیرا، در این صورت، قطر یک مقطع عرضی به صورت یک منحنی تغییرشکل می‌دهد (شکل ۱۲-۳ الف). ناظری که این منحنی را از A می‌بیند نتیجه می‌گیرد که لایه‌های خارجی شفت بیشتر از لایه‌های داخلی می‌چرندند، ولی ناظری که این منحنی را از B می‌بیند به نتیجه مستضاد می‌اندازد (شکل ۱۲-۳ ب). این ناسازگاری می‌رساند که قطرها به صورت خطوط مستقیم، و مقاطع عرضی یک شفت دایره‌ای به صورت صفحه‌ای و بی‌اعوجاج می‌مانند. (شکل ۱۲-۳ ج).



(الف)



(ب)



(ج)

شکل ۱۲-۳

از معادله (۲-۳) نتیجه می‌شود که کرنش برشی در سطح ثفت، که در آن $c = \rho$ ، به ماکریسم می‌دهد:

$$\gamma_{\max} = \frac{c\phi}{L} \quad (3-3)$$

با حذف ϕ از معادلهای (۲-۳) و (۳-۳)، کرنش برشی γ در فاصله ρ از محور ثفت به صورت زیر می‌شود:

$$\gamma = \frac{\rho}{c} \gamma_{\max} \quad (4-3)$$

۴-۳ تنش در ناحیه الاستیک

تا به حال، درباره رابطه بین تنش کرنش در شفت‌های دایره‌ای تحت پیچش چیزی نگفته‌ایم. در اینجا، فرض می‌کنیم تنش برشی در شفت دارای مقدار کمتر از استقامت تسلیم τ_0 است. یعنی مقدار تنش برشی در شفت کمتر از حد تناسب و نیز کمتر از حد الاستیک است (فصل ۲). لذا، قانون هوک به کار می‌رود و تغییر شکل پلامستیک وجود ندارد.

با توجه به قانون هوک در قسمت ۱۴-۲،

$$\tau = G\gamma \quad (5-3)$$

که در آن G مدول صلابت یا مدول برشی ماده است، با فرمول کردن هر دو طرف معادله (۴-۳) در G ، می‌نویسیم:

$$G\gamma = \frac{\rho}{c} G\gamma_{\max}$$

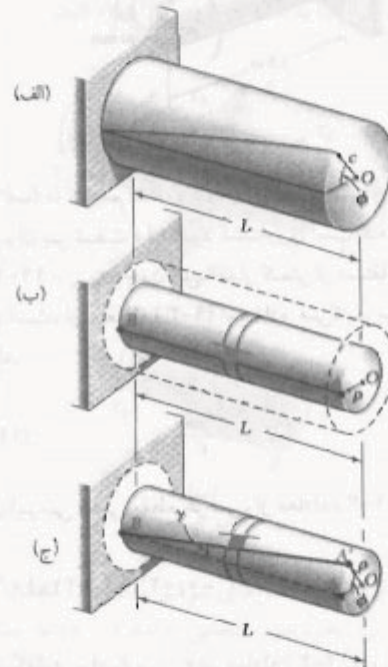
با استفاده از معادله (۵-۳)،

$$\tau = \frac{\rho}{c} \tau_{\max} \quad (6-3)$$

این معادله نشان می‌دهد تا وقتی هیچ قسمی از شفت دایره‌ای از استقامت تسلیم (یا حد تناسب) فراتر نرفته است، تنش برشی در شفت بحسب فاصله ρ از محور ثفت به صورت خطی تغییر می‌کند. شکل ۱۵-۳ الف توزیع تنش را در یک شفت توپر دایره‌ای به شعاع c ، و شکل ۱۵-۳ ب توزیع تنش را در یک شفت دایره‌ای توخالی با شعاع‌های داخلی و خارجی c_i و c_o نشان می‌دهد. در این حالت، از معادله (۶-۳)،

$$\tau_{\min} = \frac{c_i}{c_o} \tau_{\max} \quad (7-3)$$

شافت جدا می‌کنیم، و جزء چهارگوش کوچکی از آن را در نظر می‌گیریم. این جزء متوسط دو دایره و دو خط مستقیم، که روی سطح استوانه قبل از اعمال بار رسم می‌شوند، تشکیل شده است (شکل ۱۴-۳ ب). وقتی شافت تحت بار پیچشی قرار می‌گیرد، این جزء به صورت لوزی در می‌آید (شکل ۱۴-۳ ج). کرنش برشی γ در یک جزء معین، طبق قسمت ۴-۲، از تغییر ژوایایی که بین وجه آن جزء تشکیل می‌شوند بدست می‌آید. چون دایره‌ی که دو وجه جزء را مشخص می‌کند بسی تغییر می‌مانند، کرنش برشی γ با زاویه بین خطوط AB و $A'B'$ برابر است (γ بر حسب رادیان است).



شکل ۱۴-۳

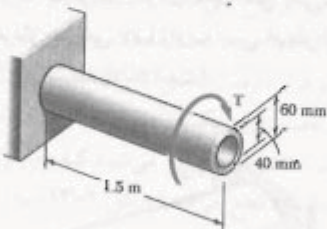
طبق شکل ۱۴-۳ ج، برای مقادیر کوچک γ می‌توان گفت $\AA' = \rho\phi$ ، $\AA' = Ly$ ، $AA' = \rho\phi$. در نتیجه $\rho\phi = Ly$ ، یا

$$\gamma = \frac{\rho\phi}{L} \quad (2-3)$$

که در آن γ و ϕ بر حسب رادیان هستند. معادله بالا نشان می‌دهد که کرنش برشی γ در یک نقطه معین از شفت با زاویه پیچش ϕ ، و نیز با فاصله نقطه تحت برسی تا محور ثفت متناسب است. لذا، کرنش برشی در یک شفت دایره‌ای بحسب فاصله از محور شفت به صورت خطی تغییر می‌کند.

مثال ۱-۳

یک شفت فولادی استوانه‌ای توخالی به طول ۱,۵ m و با قطرهای داخلی و خارجی ۴۰ و ۶۰ mm (شکل ۱-۳) (الف) اگر بخواهیم تنش برشی از ۱۲۰ MPa را بیشتر نشود، ماکزیمم گشتاوری را که می‌توان وارد کرد چقدر است؟
 (ب) مینیمم مقدار تنش برشی متناظر در شفت چقدر است؟



مثال ۱۶-۳

(الف) ماکزیمم گشتاور مجاز، ماکزیمم گشتاور مجاز T که می‌توان بر شفت وارد کرد گشتاوری است که به ازای آن $\tau_{\max} = 120$ MPa، چون این مقدار کمتر از استقامت تسلیم فولاد است، از معادله (۹-۳) استفاده می‌کنیم، با حل این معادله،

$$T = \frac{J\tau_{\max}}{c} \quad (12-3)$$

معان اینرسی قطبی مقطع عرضی، از معادله (۱۱-۳)،

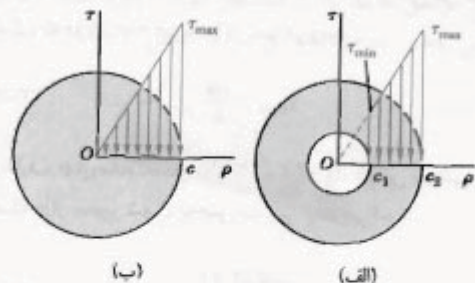
$$J = \frac{1}{2}\pi(c_t^4 - c_i^4) = \frac{1}{2}\pi(\sigma_f \times 3^4 - \sigma_i \times 2^4) = 1,021 \times 10^{-6} \text{ m}^4$$

با جایگذاری برای J و τ_{\max} در معادله (۱۲-۳)، و با قرار دادن $c = c_t = \sigma_f = 3 \text{ m}$

$$T = \frac{J\tau_{\max}}{c} = \frac{(1,021 \times 10^{-6} \text{ m}^4)(120 \times 10^6 \text{ Pa})}{3 \text{ m}} = 4,08 \text{ kN.m}$$

(ب) تنش برشی مینیمم، مینیمم مقدار تنش برشی در سطح داخلی شفت ایجاد می‌شود و آن را از معادله (۷-۳) می‌توان یافت:

$$\tau_{\min} = \frac{c_i}{c_t} \tau_{\max} = \frac{\sigma_i \times 2 \text{ m}}{\sigma_f \times 3 \text{ m}} (120 \text{ MPa}) = 80 \text{ MPa}$$



شکل ۱۵-۳

طبق قسم ۲-۳، مجموع لنتگر تیرهای جزئی وارد شده بر هر مقطع عرضی شفت با مقدار گشتاور وارد بر شفت برابر است:

$$\int \rho \tau dA = T \quad (1-3)$$

با جایگذاری τ از (۶-۳) در (۱-۳)، نتیجه می‌شود:

$$T = \int \rho \tau dA = \frac{\tau_{\max}}{c} \int \rho^* dA$$

انتگرال آخر، معان اینرسی قطبی مقطع عرضی را نسبت به مرکز O نشان می‌دهد. بنابراین،

$$T = \frac{\tau_{\max} J}{c} \quad (8-3)$$

با حل

$$\tau_{\max} = \frac{Tc}{J} \quad (9-3)$$

با جایگذاری τ_{\max} از (۹-۳) در (۶-۳)، تنش برشی در فاصله ρ از محور شفت بعدست می‌آید:

$$\tau = \frac{T\rho}{J} \quad (10-3)$$

معادله‌های (۹-۳) و (۱۰-۳) را فرمولهای پیچش الاستیک می‌گویند. از استاتیک می‌دانیم که معان اینرسی قطبی دایره‌ای به شعاع c چنین است: $J = \frac{1}{2}\pi c^4$. در یک شفت دایره‌ای توخالی با شعاع داخلی c_i و شعاع خارجی c_t ، معان اینرسی قطبی برابر است با:

$$J = \frac{1}{2}\pi c_t^4 - \frac{1}{2}\pi c_i^4 = \frac{1}{2}\pi (c_t^4 - c_i^4) \quad (11-3)$$

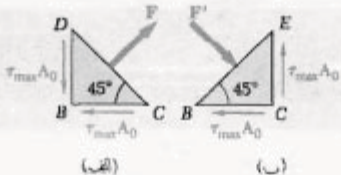
در معادله (۹-۳) یا (۱۰-۳)، T بر حسب c N.m یا ρ N/m³ بر حسب مترا، J بر حسب m⁴ و تنش برشی بر حسب پاسکال (Pa) بیان می‌شود.

اکنون، جزء c را تحت زاویه 45° با محور شفت در نظر بگیرید (این جزء نشان داده نشده است). برای تعیین تنش‌های وارد بر وجهه این جزء، دو جزء ملٹی را در شکل ۱۹-۳ در نظر می‌گیریم و نمودار آزاد آنها را رسم می‌کنیم. برای جزء c شکل ۱۹-۳، من دانیم که تنش‌های وارد بر وجهه BD و BC همان تنش‌های برشی $\tau_{max} = Tc/J$ هستند. لذا، مقدار نیروهای برشی برابر با $\tau_{max} A_0$ است، که در آن A_0 مساحت وجهه است. چون مولفه‌های دو نیروی برشی در امتداد DC با هم مساوی و مخالفند، نیروی F وارد بر DC بر این وجه عمود است. این نیرو به صورت کششی است و مقدار آن چنین است:

$$F = 2(\tau_{max} A_0) \cos 45^\circ = \tau_{max} A_0 \sqrt{2} \quad (۱۹-۴)$$

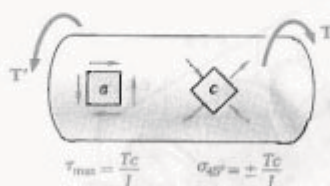
از تقسیم نیروی F بر مساحت A از وجه DC ، تنش وارد بر این وجهه بدست می‌آید:

$$\sigma = \frac{F}{A} = \frac{\tau_{max} A_0 \sqrt{2}}{A_0 \sqrt{2}} = \tau_{max} \quad (۱۹-۵)$$



شکل ۱۹-۳

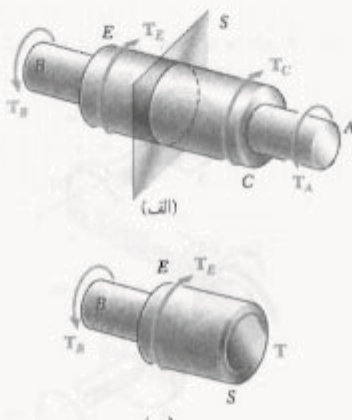
با تحلیل مشابه درباره جزء شکل ۱۹-۳ ب، دیده می‌شود که تنش وارد بر وجه BE عبارت است از $\sigma = -\tau_{max}$. درنتیجه، وجهه جزء c که تحت زاویه 45° با محور شفت است وجوه جزء c که تحت زاویه 45° با محور شفت است (شکل ۲۰-۳) تحت تنش‌های قائم و برابر با $\tau_{max} \pm \tau_{max}$ قرار دارند. لذا، در حالی که جزء a در شکل ۲۰-۳ تحت برش خالص است، دو وجه از جزء c در همان شکل تحت تنش کششی، و دو وجه دیگر آن تحت تنش فشاری است. خصمنا، تمام تنش‌ها دارای مقدار یکسان Tc/J هستند.



شکل ۲۰-۳

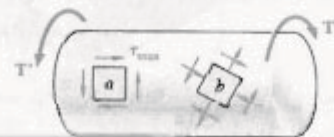
* تنش‌های وارد بر اجزا با وضاحت اختیاری، مانند جزء b در شکل ۱۸-۳، در فصل ۷ بررسی می‌شوند.

فرمولهای [۹-۳] و [۱۰-۳] برای یک شفت با مقطع عرضی یکنواخت دایره‌ای هستند که دو انتهای آن تحت گشتاور قرار دارد نیز می‌توان استفاده کرد (شکل ۱۷-۳ الف). توزیع تنش برشی در مقطع عرضی S از معادله [۹-۳] بدست می‌آید، که در آن J مساحت اینترسی قطبی آن مقطع، و T گشتاور داخلی در آن مقطع است. با ترسیم نمودار آزاد قسمتی از شفت که در پک طرف آن مقطع قرار دارد (شکل ۱۷-۳ ب) و با مساحت صفر قرار دادن مجموع گشتاورهای وارد بر آن قسمت، شامل گشتاور داخلی T ، مقدار T بدست می‌آید (به مسئله نمونه ۳-۱ نگاه کنید).



شکل ۱۷-۳

تا به حال، فقط تنش‌های برشی را در یک شفت تحلیل کردیم. زیرا وجهه جزء انتخابی به موازات محور شفت یا عمود بر آن بودند (شکل ۳-۶). طبق قسمت‌های ۱۱-۱ و ۱۲-۱، برحسب وضعیت جزء انتخابی، ممکن است تنش قائم، برشی یا هر دو بوجود آیند. دو جزء a و b را که روی سطح یک شفت دایره‌ای تحت پیچش (شکل ۱۸-۳) قرار دارد در نظر بگیرید. چون وجهه جزء a به موازات و عمود بر محور شفت هستند، فقط تنش برشی $= Tc/J$ بر این جزء وارد می‌شود. ولی، جزء b ، که وجهه آن با محور شفت زوایای اختیاری می‌سازند، دارای تنش‌های قائم و برشی هستند.



شکل ۱۸-۳

حل

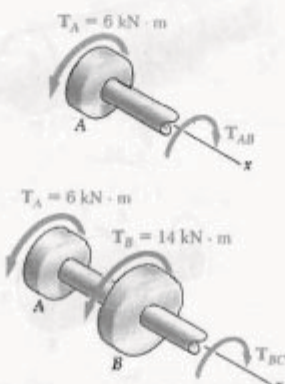
معادله‌های استاتیکی. گشتاور در شفت AB را با T_{AB} نشان می‌دهیم، و این شفت را مقطع می‌زنیم. برای نمودار آزاد نشان داده شده، می‌نویسیم:

$$\sum M_x = 0 : (6 \text{ kN.m}) - T_{AB} = 0 \Rightarrow T_{AB} = 6 \text{ kN.m}$$

حال، شفت BC را مقطع می‌زنیم، و برای نمودار آزاد نشان داده شده می‌نویسیم:

$$\sum M_x = 0 :$$

$$(6 \text{ kN.m}) + (14 \text{ kN.m}) - T_{BC} = 0 \Rightarrow T_{BC} = 20 \text{ kN.m}$$



الف. شفت BC . برای این شفت توانایی،

$$J = \frac{\pi}{4}(c_t^4 - c_i^4) = \frac{\pi}{4} [(0.060^4 - 0.045^4)] = 13.92 \times 10^{-6} \text{ m}^4$$

تش برشی ماکریم، بر روی سطح خارجی،

$$\tau_{\max} = \tau_r = \frac{T_{BC} c_r}{J} = \frac{(20 \text{ kN.m})(0.060 \text{ m})}{13.92 \times 10^{-6} \text{ m}^4}$$

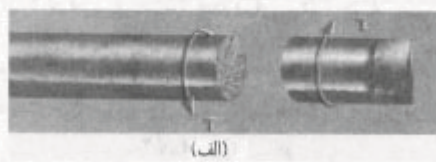
$$\tau_{\max} = 8.72 \text{ MPa} \quad \blacktriangleleft$$

تش برشی مینیم، تش‌ها متناسب با فاصله از محور شفت هستند؛ می‌نویسیم:

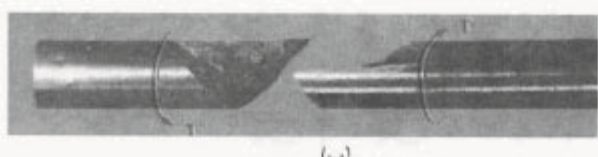
$$\frac{\tau_{\min}}{\tau_{\max}} = \frac{c_i}{c_t} \Rightarrow \frac{\tau_{\min}}{8.72 \text{ MPa}} = \frac{45 \text{ mm}}{60 \text{ mm}}$$

$$\tau_{\min} = 5.87 \text{ MPa}$$

طبق قسمت ۲-۲، مواد چکش خوار معمولاً در برش گسیخته می‌شوند. بنابراین، وقتی نمونه از ماده چکش خواری تحت پیچش قرار می‌گیرد، در امتداد یک صفحه عمود بر محور طولی اش گسیخته می‌شود (شکل ۲۱-۳ الف). از طرف دیگر، مواد شکننده در کشش، در مقایسه با برش، ضعیف‌ترند. لذا، وقتی نمونه شکننده‌ای تحت پیچش قرار می‌گیرد، گراش دارد در امتداد سطوح عمود بر امتداد متناظر با کشش ماکریم (بعنی، در امتداد سطوحی که با محور طولی نمونه زاویه ۴۵° دارد) بشکند (شکل ۲۱-۳ ب).



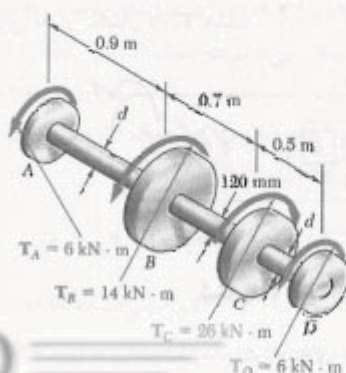
(الف)



(ب)

شکل ۲۱-۳

مسئله نمونه ۱-۳
شافت BC توانایی و با قطرهای داخلی و خارجی 90 mm و 120 mm است. شفت‌های AB و CD توپر و به قطر d هستند. برای بارگذاری نشان داده شده، مطلوبست: (الف) ماکریم و مینیم تش برشی در شفت BC ، (ب) قطر d ، در صورتی که تش مجاز برشی در این شفت‌ها 65 MPa باشد.



RNUEB

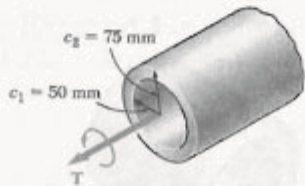
حل

الف- شفت توخالی برای این شفت،

$$\begin{aligned} J &= \frac{\pi}{4} (c_1^4 - c_2^4) = \frac{\pi}{4} [(75 \text{ mm})^4 - (50 \text{ mm})^4] \\ &= 34,88 \times 10^{-6} \text{ mm}^4 \end{aligned}$$

از معادله (۹-۳)،

$$\begin{aligned} \tau_{\max} &= \frac{Tc_r}{J} \Rightarrow 84 \text{ MPa} = \frac{T(75 \text{ mm})}{34,88 \times 10^{-6} \text{ mm}^4} \\ &\Rightarrow T = 11,1 \text{ kN.m} \end{aligned}$$



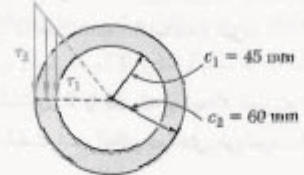
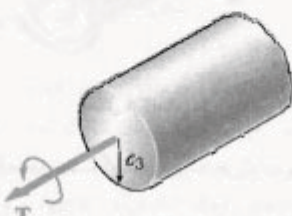
ب- شفت توپر با همان وزن. مساحت مقطع عرضی شفت تغیر نمی‌کند و می‌نویسیم:

$$A_{(a)} = A_{(b)}$$

$$\pi [(75 \text{ mm})^4 - (50 \text{ mm})^4] = \pi c_r^4 \quad c_r = 55,9 \text{ mm}$$

چون $\tau_{\max} = 84 \text{ MPa}$ می‌نویسیم

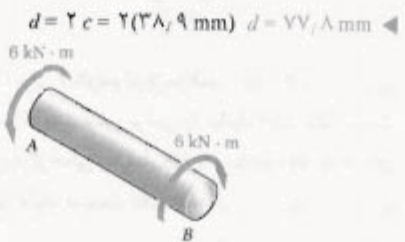
$$\begin{aligned} \tau_{\max} &= \frac{Tc_r}{J} \quad 84 \text{ MPa} = \frac{T(55,9 \text{ mm})}{\frac{\pi}{4}(55,9 \text{ mm})^4} \\ &\Rightarrow T = 11,1 \text{ kN.m} \end{aligned}$$



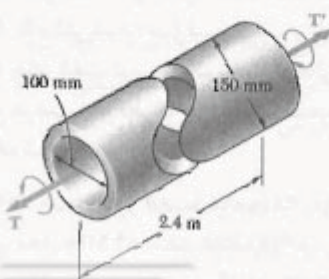
ب. شفت‌های AB و CD در این شفتها، $T = 6 \text{ kN.m}$ و $r_{\text{all}} = 65 \text{ MPa}$. شعاع شفتها را با c نشان می‌دهیم و می‌نویسیم:

$$\tau = \frac{Tc}{J} \Rightarrow 65 \text{ MPa} = \frac{(6 \text{ kN.m})c}{\frac{\pi}{4} c^4}$$

$$c^7 = 58,8 \times 10^{-9} \text{ m}^7 \Rightarrow c = 3,84 \times 10^{-7} \text{ m}$$



مسئله نمونه ۲-۳
شفت بزرگی که موتوری را به مولدی متصل می‌کند با قطرهای داخلی و خارجی، ۱۰۰ و ۱۵۰ mm و ۱۵۰ mm است. اگر تنش مجاز برنشی ۸۴ MPa باشد، مطلوبست ماکریم گشتاوری که: (الف) توسط این شفت می‌توان انتقال داد، (ب) توسط شفت توپری با همان وزن می‌توان انتقال داد، (ج) توسط شفت توخالی با همان وزن و با قطر خارجی ۲۰۰ mm می‌توان انتقال داد.



حل کنید که به جای شفت توپر از یک شفت توخالی با همان جرم و با قطر داخلی 90 mm استفاده شود.

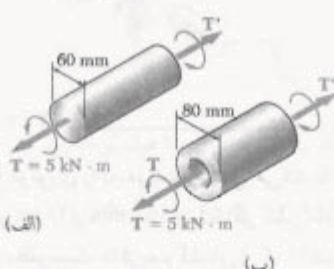
۳-۳ گشتاور T را که باعث ایجاد تنش برشی ماکریم A در شفت استوانه‌ای فولادی می‌شود بیابید.



شکل ۳-۳ م و ۴-۳

۴-۳ ماکریم تنش برشی حاصل از گشتاور $T = 65\text{ kN.m}$ را بیابید.

۵-۳ (الف) برای استوانه توپر به قطر 60 mm و بارگذاری نشان داده شده، ماکریم تنش برشی را بیابید. (ب) مطلوبست قطر داخلی استوانه توخالی، با قطر خارجی 80 mm ، که به ازای آن تنش ماکریم مانند قسمت (الف) باشد.



شکل ۵-۳

۶-۳ (الف) مطلوبست گشتاوری که می‌توان بر یک شفت توپر با قطر 20 mm وارد کرد بدون اینکه تنش برشی مجاز از 50 MPa بیشتر شود. (ب) قسمت (الف) را با این مرض حل کنید که به جای شفت توپر از یک شفت توخالی با همان مساحت مقطع عرضی و با قطر داخلی برابر با نصف قطر خارجی اش استفاده شود.

۷-۳ محور توپر AB به قطر $d = 38\text{ mm}$ و از فولاد با تنش برشی مجاز 84 MPa است. غلاف CD از برنج با تنش برشی مجاز 55 MPa است. ماکریم گشتاور T را که می‌توان در A وارد کرد بیابید.

ج- شفت توخالی با قطر 20 mm . برای وزن مساوی، مساحت مقطع عرضی تغییر نمی‌کند و می‌نویسیم:

$$\begin{aligned} A_{(a)} &= A_{(c)} \\ \pi [(70\text{ mm})^2 - (50\text{ mm})^2] &= \pi [(100\text{ mm})^2 - c_2^2] \end{aligned}$$

$$\Rightarrow c_2 = 82.4\text{ mm}$$

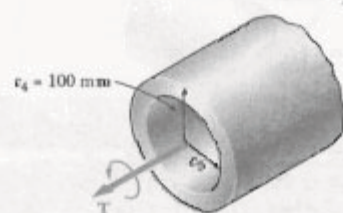
$$, c_1 = 100\text{ mm} \text{ و } c_2 = 82.4\text{ mm}$$

$$J = \frac{\pi}{4} [(100\text{ mm})^3 - (82.4\text{ mm})^3] = 82.89 \times 10^6 \text{ mm}^4$$

$$, c_1 = 100\text{ mm} \text{ و } \tau_{all} = 84\text{ MPa} \text{ با}$$

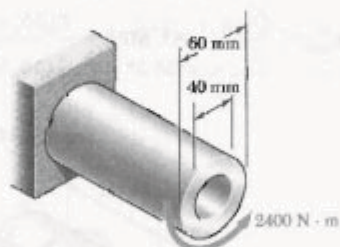
$$\tau_{max} = \frac{Tc_1}{J} \quad 84\text{ MPa} = \frac{T(100\text{ mm})}{82.89 \times 10^6 \text{ mm}^4}$$

$$T = 94.6\text{ kN.m} \blacktriangleleft$$



مسائل

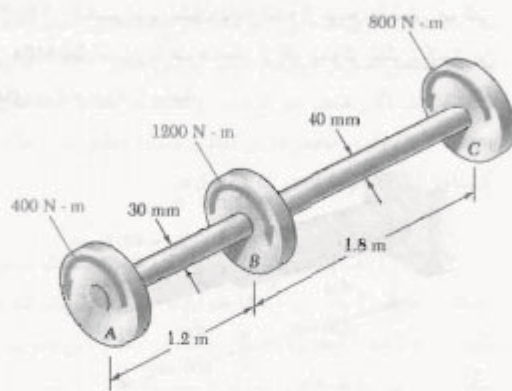
۱-۳ (الف) برای شفت توخالی نشان داده شده، ماکریم تنش برشی را بیابید. (ب) مطلوبست قطر شفت توپر که به ازای آن ماکریم تنش برشی مانند قسمت (الف) باشد.



شکل ۱-۳

۲-۳ (الف) مطلوبست گشتاوری که می‌توان بر یک شفت توپر با قطر خارجی 90 mm وارد کرد بدون اینکه تنش برشی برشی از 70 MPa بیشتر شود. (ب) قسمت (الف) را با این فرض

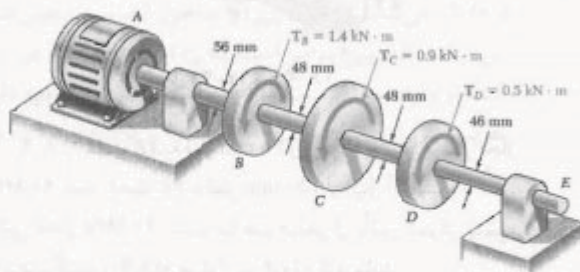
RNUEB



شکل م ۱۱-۳ و م ۱۲-۳

۱۲-۳ اگر تنش مجاز برشی در هر شفت 60 MPa باشد، مطلوبست کمترین قطر مجاز برای: (الف) شفت AB ، (ب) شفت BC .

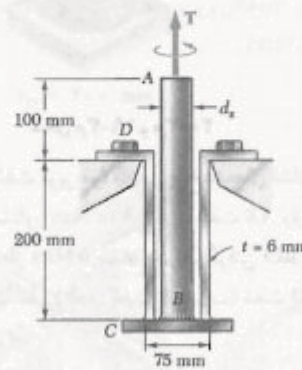
۱۳-۳ در شرایط کارکرد عادی، موتور الکتریکی گشتاور میله‌های استوانه‌ای توپر باشند، مطلوبست: (الف) شفت AB و BC را بر شفت CD وارد می‌کنند. اگر شفت‌های توپر باشند، مطلوبست ماکزیمم تنش برشی: (الف) در شفت AB ، (ب) در شفت BC ، (ج) در شفت CD .



شکل م ۱۳-۳

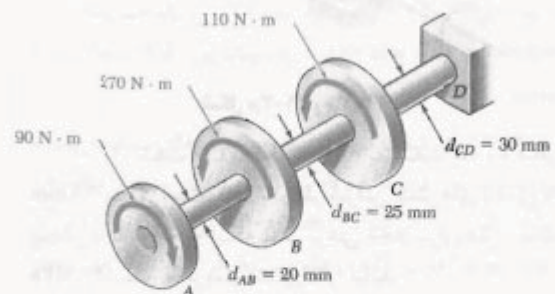
۱۴-۳ برای کاهش جرم کل مجموعه مسئله ۱۳-۳، طرح جدیدی بررسی می‌شود که در آن شفت BC با قطر کمتر گرفته می‌شود. مطلوبست کمترین قطر برای شفت BC که به ازای آن ماکزیمم مقدار تنش برشی در مجموعه افزایش نیابد.

۱۳-۳ محور توپر AB از فولاد با تنش برش مجاز 84 MPa است. غلاف CD از برنج با تنش برشی 50 MPa مجاز است. مطلوبست: (الف) ماکزیمم گشتاور T که می‌توان در A وارد کرد با این شرط که تنش مجاز برشی در AB از تنش مجاز برشی در CD بیشتر نشود، (ب) قطر d محور AB .



شکل م ۷-۳ و م ۸-۳

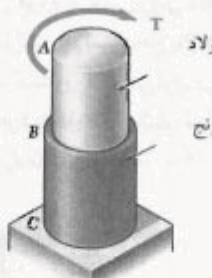
۹-۳ اگر هر یک از شفت‌های AB ، BC و CD به صورت میله‌های استوانه‌ای توپر باشند، مطلوبست: (الف) شفتی که ماکزیمم تنش برشی در آن روی می‌دهد، (ب) مقدار این تنش.



شکل م ۹-۳ و م ۱۰-۳

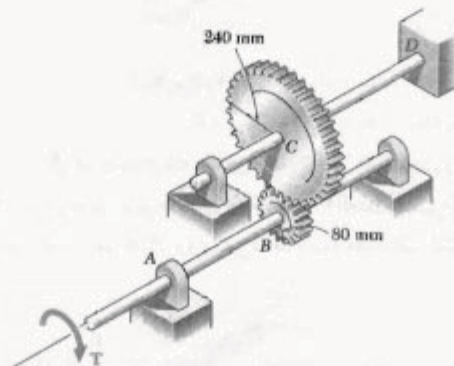
۱۰-۳ اگر سوراخی به قطر 10 mm در هر یک از شفت‌های AB ، BC و CD تعبیه شود، مطلوبست: (الف) شفتی که ماکزیمم تنش برشی در آن روی می‌دهد، (ب) مقدار این تنش

۱۱-۳ گشتاورهای نشان داده شده بر پولی‌های A و B وارد شده‌اند. اگر شفت‌های توپر باشند، مطلوبست ماکزیمم تنش برشی: (الف) در شفت AB ، (ب) در شفت BC .



شکل م ۲۰-۳ و م ۱۹-۳

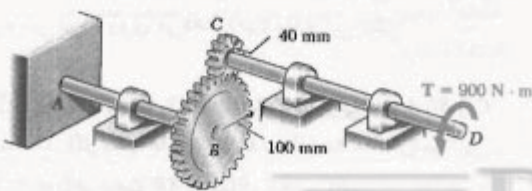
۲۱-۳ دو شفت توپر فولادی با چرخ‌نده‌های تشن داده شده به هم متصل‌اند. گشتاور $T = 900 \text{ N}\cdot\text{m}$ بر شفت AB وارد می‌شود. اگر تشن برشی مجاز 5 MPa باشد، بارنفطر گرفتن فقط تشن‌های پیچشی، مطلوبست قطر: (الف) شفت AB ، (ب) شفت CD .



شکل م ۲۱-۳ و م ۲۰-۳

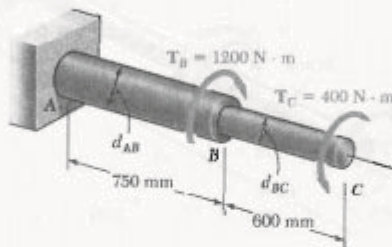
۲۲-۳ شفت CD به قطر 66 mm به شفت AB به قطر 48 mm متصل است. فقط بارنفطر گرفتن تشن‌های ناشی از پیچش و با توجه به اینکه تشن برشی مجاز برای هر شفت 60 MPa است، ماکزیمم گشتاور T را باید.

۲۳-۳ گشتاور $T = 900 \text{ N}\cdot\text{m}$ ، مطابق شکل، در D وارد می‌شود. اگر قطر شفت AB برابر با 45 mm و قطر شفت CD برابر با 40 mm باشد، مطلوبست بیشترین تشن برشی در: (الف) شفت AB ، (ب) شفت CD .



شکل م ۲۳-۳ و م ۲۰-۳

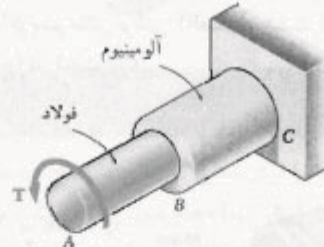
۱۵-۳ شفت توپر نشان داده شده از بونج با تشن برشی مجاز 55 MPa است. با صرفنظر از اثر تمرکز تشن، بیشترین قطرهای d_{AB} و d_{BC} را باید.



شکل م ۱۵-۳ و م ۱۶-۳

۱۶-۳ مسئله ۱۵-۳ را با این فرض حل کنید که جهت T_C برعکس شود.

۱۷-۳ شفت AB از فولاد با تشن برشی 90 MPa و شفت BC از آلومینیوم با تشن برشی 60 MPa ساخته شده است. اگر قطر شفت BC برابر با 50 mm باشد، با صرفنظر از تأثیر تمرکز تشن، مطلوبست: (الف) ماکزیمم گشتاور T که می‌توان بر A وارد کرد، (ب) قطر متناظر شفت AB .



شکل م ۱۷-۳ و م ۱۸-۳

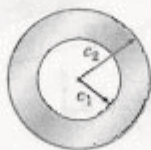
۱۸-۳ شفت AB به قطر 30 mm و از فولاد با تشن برشی مجاز 60 MPa است. شفت BC به قطر 50 mm و از آلیاژ آلومینیوم با تشن برشی مجاز 60 MPa است. با صرفنظر از تأثیر تمرکز تشن، ماکزیمم گشتاور T را که می‌توان بر A وارد کرد باید.

۱۹-۳ تشن مجاز در میله فولادی AB به قطر 36 mm برابر با 100 MPa و در میله برنجی BC به قطر 40 mm برابر با 60 MPa است. با صرفنظر از تمرکز تشن، بیشترین گشتاوری را که می‌توان در A وارد کرد باید.

۲۰-۳ تشن مجاز در میله فولادی AB برابر با 100 MPa و در میله برنجی BC برابر با 60 MPa است. اگر گشتاور $T = 900 \text{ N}\cdot\text{m}$ در A وارد شود، مطلوبست قطر: (الف) میله AB ، (ب) میله BC .

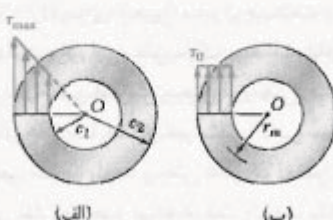
۲۸-۳ دو شفت توپر توسط چرخ دندهای نشان داده شده به هم متصل آند و از فولاد با تنش برشی مجاز 50 MPa ساخته شده‌اند. اگر قطر دو شفت، به ترتیب، $d_{BC} = 20 \text{ mm}$ و $d_{EF} = 22 \text{ mm}$ و مجموعه در تعادل باشد، مطلوبست ماکریم گشتاور T_C که می‌تواند در C وارد کرد.

۲۹-۳ (الف) برای تنش مجاز داده شده، نسبت ماکریم گشتاور مجاز T به وزن واحد طول w را برای شفت ترخالی نشان داده شده بپایید. (ب) اگر (T/w) مقدار این نسبت برای شفت توپری با شعاع c_1 باشد، نسبت w/T را برای شفت ترخالی بمحاسبه c_1/c_2 و (T/w) بپایید.



شکل ۲۹-۳

۳۰-۳ گرچه توزیع دقیق تنش برشی در یک شفت استوانه‌ای ترخالی مانند شکل ۳۰-۲ ممکن نیست، ولی بافرض توزیع یکنواخت تنش روی مساحت A مقطع عرضی (شکل ۳۰-۳ب) و نیز بافرض اینکه تمام نیروهای برشی جزوی در فاصله‌ای برابر با شعاع متوسط مقطع عرضی، $r_m = \frac{1}{2}(c_1 + c_2)$ ، از O اثر می‌کنند، می‌توان τ_{max} را به طور تقریبی تعیین کرد. این مقدار تقریبی برابر است با $\tau_0 = T/Ar_m = T/Ar_m$ ، که در آن T گشتاور وارد است. نسبت ماکریم تنش برشی τ_{max}/τ_0 به مقدار تقریبی τ_0 برای c_1/c_2 برابر با 0.50 و 0.75 و 0.95 و 1 باید.

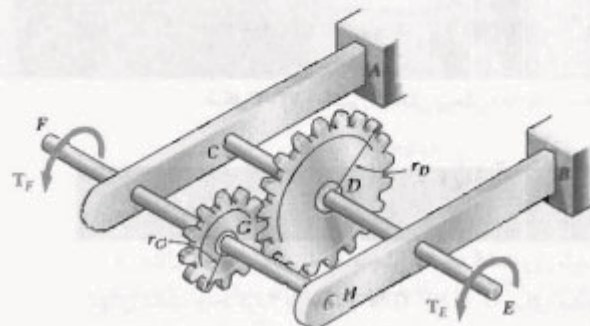


شکل ۳۰-۳

۲۴-۳ گشتاور $T = 400 \text{ N.m}$ ، مطابق شکل، در D وارد می‌شود. اگر تنش برشی مجاز در هر شفت 50 MPa باشد، مطلوبست قطر: (الف) شفت AB ، (ب) شفت CD .

۲۵-۳ در شرایط عادی، موتوری گشتاور $T_F = 150 \text{ N.m}$ را در F وارد می‌کند. اگر تنش برشی مجاز در هر شفت 70 MPa باشد، برای داده‌های زیر، مطلوبست قطر: (الف) شفت CDE ، (ب) شفت FGH .

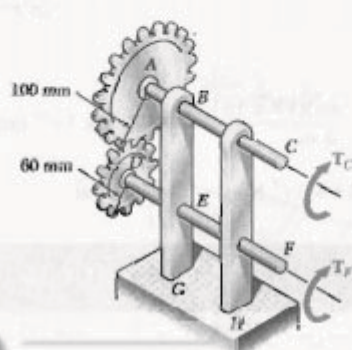
$$r_G = 70 \text{ mm}, r_D = 100 \text{ mm}$$



شکل ۲۵-۳ و ۲۶-۳

۲۶-۳ در شرایط عادی، موتوری گشتاوری T_F را در F وارد می‌کند. شفتهای از فولاد با تنش برشی مجاز 85 MPa و با قطرهای $d_{FGH} = 20 \text{ mm}$ و $d_{CDE} = 22 \text{ mm}$ و $d_{ABC} = 15 \text{ mm}$ هستند. اگر $r_G = 100 \text{ mm}$ و $r_D = 150 \text{ mm}$ بیشترین مقدار مجاز T_F را بپایید.

۲۷-۳ دو شفت توپر توسط چرخ دندهای نشان داده شده بر هم متصل آند و از فولاد با تنش برشی مجاز 60 MPa ساخته شده‌اند. اگر گشتاور $T_C = 600 \text{ N.m}$ در C وارد شود و مجموعه در تعادل باشد، مطلوبست قطر: (الف) شفت BC ، (ب) شفت EF .

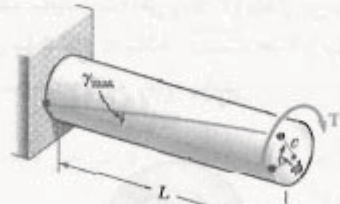


شکل ۲۷-۳ و ۲۸-۳

۵-۳ زاویه پیچش در ناحیه الاستیک

در این قسمت، رابطه بین زاویه پیچش ϕ یک شفت دایره‌ای به طول L و شعاع C را که انتهای آزاد آن تحت گشتاور T قرار دارد به دست می‌آوریم (شکل ۲۲-۳). فرض می‌کنیم شفت به طور الاستیک می‌ماند. طبق قسمت ۳-۳، و زاویه پیچش ϕ و ماکریعم کرنش بر شی γ_{max} دارای رابطه زیر هستند:

$$\gamma_{max} = \frac{\phi}{L} \quad (3-2)$$



شکل ۲۲-۳

شکل ۲۲-۳ ماشین آزمایش پیچش.

مثال ۳-۲

در مثال ۱-۳، برای زاویه پیچش 2° چه گشتاوری باید بر انتهای شفت وارد کرد؟ از مقدار $G = 77 \text{ GPa}$ برای مدول صلابت فولاد استفاده کنید.
از معادله (۱۶-۳)،

$$T = \frac{JG}{L} \phi$$

با جایگذاری مقادیر داده شده،

$$G = 77 \times 10^9 \text{ Pa} \quad L = 1,0 \text{ m}$$

$$\phi = 2^\circ \left(\frac{\pi \text{ rad}}{360^\circ} \right) = 34,9 \times 10^{-3} \text{ rad}$$

در مثال ۱-۳ دیدیم که برای مقطع عرضی داده شده،

$$J = 1,021 \times 10^{-5} \text{ m}^4$$

بنابراین،

$$T = \frac{JG}{L} \phi =$$

$$\frac{(1,021 \times 10^{-5} \text{ m}^4)(77 \times 10^9 \text{ Pa})}{1,0 \text{ m}} (34,9 \times 10^{-3} \text{ rad})$$

$$\Rightarrow T = 1,829 \times 10^7 \text{ N.m} = 1,829 \text{ kN.m}$$

مثال ۳-۳

در مثال‌های ۱-۲ و ۱-۳، اگر کرنش بر شی γ وارد بر سطح داخلی شفت فولادی توانایی 70 MPa باشد، زاویه پیچش چقدر است؟

در ناحیه الاستیک، کرنش در هیچ نقطه‌ای از کرنش تسلیم بیشتر نمی‌شود. طبق قانون هوک، $\gamma_{max} = \tau_{max}/G$. از معادله (۹-۳)،

$$\gamma_{max} = \frac{\tau_{max}}{G} = \frac{Tc}{JG} \quad (15-2)$$

همت راست معادله‌های (۳-۳) و (۱۵-۲) را مساوی هم قرار می‌دهیم و ϕ را حل می‌کنیم:

$$\phi = \frac{\gamma L}{JG} \quad (16-3)$$

در رابطه بالا، ϕ بر حسب وادیان است. رابطه حاصل نشان می‌دهد که، در ناحیه الاستیک، زاویه پیچش ϕ یا گشتاور T وارد بر شفت متناسب است. این موضوع با آزمایشی که در آغاز قسمت ۳-۳ به آن اشاره شد همانگ است.

از معادله (۱۶-۳) برای تعیین مدول صلابت یک ماده می‌توان استفاده کرد. برای این منظور، یک میله استوانه‌ای با قطر و طول معلوم را در ماشین آزمایش پیچش ϕ در طول نمونه وارد (شکل ۲۲-۳). گشتاورهایی با مقدار افزایشی T بر نمونه وارد می‌کنند، و مقادیر متناظر زاویه پیچش ϕ در طول نمونه را ثبت می‌کنند. تا وقتی کرنش موجود بیشتر از کرنش تسلیم نشده است، نقاطی که با ترسیم ϕ بر حسب T بدست می‌آیند روی یک خط راست قرار دارند. شیب این خط کمیت L/JG نشان می‌دهد و از روی آن می‌توان ϕ را محاسبه کرد.

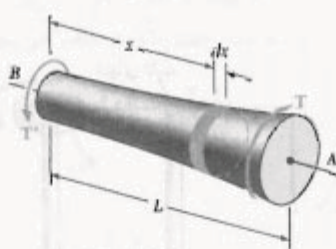
گشتاور داخلی T در هر قسمت شفت با عبور یک مقطع از آن قسمت و با ترسیم نمودار آزاد قسمتی از شفت که در یک طرف آن مقطع است به دست می‌آید. این روش، که قبل از قسمت ۲-۳ به کار رفت و در شکل ۲۷-۳ نشان داده شده است، در مسئله نمونه ۳-۲ به کار می‌رود.

در یک شفت با مقطع عرضی متغیر دایره‌ای (شکل ۲۵-۳)، فرمول (۱۶-۳) را برای دیسکی با ضخامت dx می‌توان به کار برد. زاویه چرخش یک دیسک نسبت به وجه دیگر چنین است:

$$d\phi = \frac{T dx}{JG}$$

که در آن J تابعی از x است. با انتگرال‌گیری بر حسب x از ۰ تا L ، زاویه کل پیچش شفت را می‌یابیم:

$$\phi = \int_0^L \frac{T dx}{JG} \quad (۱۸-۳)$$



شکل ۲۵-۳

شфт نشان داده شده در شکل ۲۲-۳، که برای استنتاج فرمول (۱۶-۳) به کار رفت و شفت شکل ۲۲-۳ که در مثال‌های ۲-۳ و ۳-۳ بررسی شد، هر دو از یک انتهای به تکه‌گاه ثابتی متصل‌اند. لذا، در هر دو حالت، زاویه پیچش ϕ با زاویه دوران انتهای آزاد شفت برابر بود. اگر هر دو انتهای شفت بچرخدند، زاویه پیچش شفت برابر است با زاویه چرخش یک انتهای شفت نسبت به انتهای دیگر. مثلاً، مجموعه شکل ۲۶-۳ الف را در نظر بگیرید. این مجموعه مشکل است از شفت‌های الاستیک AD و BE ، هر یک به طول L ، شعاع c و مدول صلابت G ، که به چرخدنده‌هایی متصل‌اند (این چرخدنده‌ها در نقطه C درگیر شده‌اند). با اعمال گشتاور T بر E (شکل ۲۶-۳ ب)، هر دو شفت می‌بینند. چون انتهای D شفت AD ثابت است، زاویه پیچش AD با زاویه دوران انتهای A

ابتدا، از معادله (۱۰-۳)، گشتاور T متناظر با مقدار داده شده را می‌یابیم. سپس، با استفاده از معادله (۱۶-۳)، زاویه پیچش ϕ را بدست می‌آزیم. روش دیگر: ابتدا، با استفاده از قانون هوك، کرنش برشی را در سطح داخلی شفت محاسبه می‌کنیم:

$$\gamma_{\min} = \frac{\tau_{\min}}{G} = \frac{V_0 \times 10^9 \text{ Pa}}{V_V \times 10^9 \text{ Pa}} = 9.9 \times 10^{-9}$$

از معادله (۲-۳)،

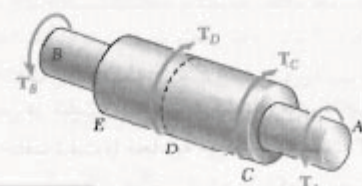
$$\phi = \frac{Ly_{\min}}{c_i} = \frac{1500 \text{ mm}}{20 \text{ mm}} (9.9 \times 10^{-9}) = 68.2 \times 10^{-7} \text{ rad}$$

بر حسب درجه،

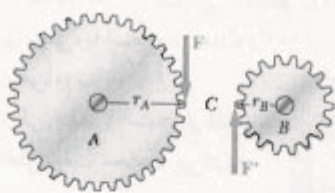
$$\phi = (68.2 \times 10^{-7} \text{ rad}) \left(\frac{360^\circ}{2\pi \text{ rad}} \right) = 3.91^\circ$$

فرمول (۱۶-۳) را فقط وقتی می‌توان به کار برد که شفت همگن (با G ثابت) دارای مقطع عرضی یکنواخت و فقط در انتهای بارگذاری شده باشد. اگر شفت در نقاطی غیر از دو انتهای تحت گشتاور قرار گیرد یا اگر از قسمت‌های مختلف با مقاطع عرضی گوناگون و از مواد مختلف تشکیل شده باشد، آن را باید به قسمت‌هایی تقسیم کرد که هر کدام شرایط مورد نیاز را برای کاربرد فرمول (۱۶-۳) برقرار کنند. مثلاً در شفت AB در شکل ۲۴-۳، چهار قسمت مختلف زیر را باید در نظر گرفت: AC ، CD و DE ، EB . زاویه کل پیچش شفت (یعنی، زاویه چرخش انتهای A نسبت به انتهای B) از جمع جزوی زوایای پیچش هر قسمت به دست می‌آید. اگر گشتاور داخلی، طول، ممان اینترسی قطبی مقطع عرضی و مدول صلابت قسمت i را، به ترتیب، با T_i ، L_i ، J_i و G_i نشان دهیم، زاویه کل پیچش شفت چنین است:

$$\phi = \sum_i \frac{T_i L_i}{J_i G_i} \quad (۱۷-۳)$$



شکل ۲۴-۳



شکل ۲۷-۳

چون انتهای D از شفت AD ثابت است، زاویه چرخش چرخ دنده A با زاویه پیچش شفت برابر است و از رابطه زیر بدست می‌آید:

$$\phi_A = \frac{T_{AD}L}{JG} = \frac{2TL}{JG}$$

دو قوس CC' و CC'' در شکل ۲۶-۳ برابرند، و می‌نویسیم $r_A\phi_A = r_B\phi_B$ در نتیجه،

$$\phi_B = (r_A/r_B)\phi_A = 2\phi_A$$

بنابراین،

$$\phi_B = 2\phi_A = \frac{4TL}{JG}$$

حال، شفت BE را در نظر می‌گیریم. زاویه پیچش آن برابر است با زاویه $\phi_{E/B}$ (یعنی، زاویه چرخش انتهای E نسبت به انتهای B). لذا،

$$\phi_{E/B} = \frac{T_{BE}L}{JG} = \frac{TL}{JG}$$

زاویه چرخش انتهای E از رابطه زیر بدست می‌آید:

$$\phi_E = \phi_B + \phi_{E/B}$$

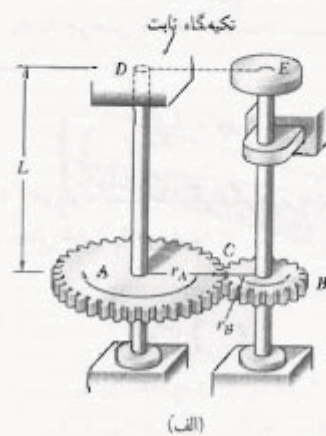
$$= \frac{4TL}{JG} + \frac{TL}{JG} = \frac{5TL}{JG}$$

۶-۳ شفت‌های نامعین استاتیکی

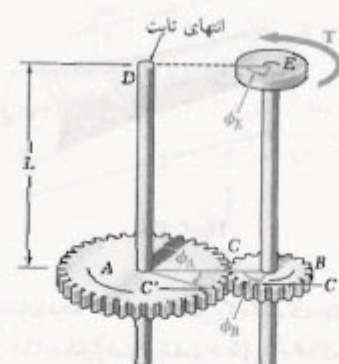
برای تعیین نتش در شفت، ابتدا باید گشتاورهای داخلی در قسمت‌های مختلف شفت را محاسبه می‌کردیم (قسمت ۴-۳). برای این منظور، نمودار آزاد فضمنی از شفت را که در یک طرف مقطع داده شده قرار دارد رسم می‌کردیم و مجموع گشتاورهای

برابر است. از طرف دیگر، چون هر دو انتهای شفت BE می‌چرخند، زاویه پیچش BE برابر است با اختلاف زوایای چرخش ϕ_E و ϕ_B ؛ یعنی، زاویه پیچش با زاویه چرخش انتهای E نسبت به انتهای B برابر است. اگر این زاویه دوران نسبی را با نشان دهیم، داریم:

$$\phi_{E/B} = \phi_E - \phi_B = \frac{TL}{JG}$$



(الف)



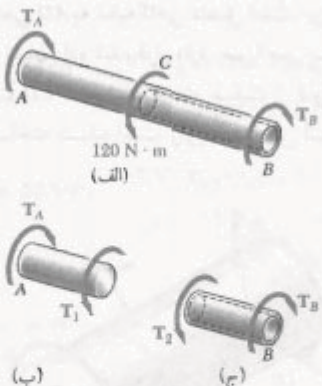
(ب)

شکل ۲۶-۳

مثال ۴-۳

در شکل ۲۶-۳، $r_A = 2r_B = 2r_g$. زاویه دوران انتهای E از شفت BE را برابر اثر اعمال گشتاور T بیابید.

ابتدا، گشتاور T_{AD} وارد بر شفت AD را می‌باییم. با توجه به اینکه نیروهای مساوی و متقابل F و F' در C و C' در BE دو چرخ دنده وارد می‌شوند (شکل ۲۷-۳) و $r_A = 2r_B = 2r_g$ ، گشتاور وارد بر شفت AD دو برابر گشتاور وارد بر شفت BE است؛ یعنی، $T_{AD} = 2T$



شکل ۲۹-۳

از نمودار آزاد قسمت کوچکی از شفت، شامل انتهای A (شکل ۲۹-۳ب)، دیده می‌شود که گشتاور داخلی T ، در AC با T_A برابر است؛ از نمودار آزاد قسمت کوچکی از شفت، شامل انتهای B (شکل ۲۹-۳ج)، دیده می‌شود که گشتاور داخلی T در CB با T_B برابر است. از معادله (۱۶-۳) و با توجه به اینکه قسمت‌های AC و CB شفت در جهت‌های مخالف می‌پیچند، داریم

$$\phi = \phi_1 + \phi_2 = \frac{T_A L_1}{J_i G} - \frac{T_B L_2}{J_i G} = 0$$

با حل T_B

$$T_B = \frac{L_1 J_i}{L_2 J_i} T_A$$

با جایگذاری داده‌های عددی،

$$L_1 = L_2 = 125 \text{ mm}$$

$$J_i = \frac{1}{4} \pi (50 \times 11 \text{ m})^4 = 230 \times 10^{-9} \text{ m}^4$$

$$J_i = \frac{1}{4} \pi [(50 \times 11 \text{ m})^4 - (50 \times 8 \text{ m})^4] = 165,6 \times 10^{-9} \text{ m}^4$$

در نتیجه،

$$T_B = 0.77 T_A$$

با جایگذاری این عبارت در معادله تعادل، داریم:

$$0.77 T_A = 120 \text{ N.m}$$

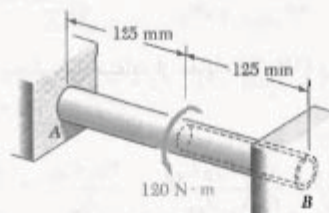
$$\Rightarrow T_A = 157.8 \text{ N.m} \quad , \quad T_B = 117.8 \text{ N.m}$$

وارد بر آن قسمت را مساوی صفر قرار می‌دادیم. به این ترتیب، گشتاورهای داخلی فوق الذکر را صرفاً با استاتیک بدهست می‌آوردیم.

گاهی، گشتاورهای داخلی را صرفاً با استاتیک نمی‌توان بدهست آورد. در این موارد، از روابطی که شامل تغیرشکل‌های شفت هستند و از هندسه مسئله بدهست می‌آیند، همراه با معادله‌های تعادل، باید استفاده کرد. از این‌رو، شفت را نامعین استاتیکی می‌گویند. در مثال زیر، و نیز در مسئله شمعونه ۵-۳، شفت نامعین استاتیکی تحلیل شده است.

مثال ۵-۳

شفت دایره‌ای AB متشکل است از یک استوانه فولادی به طول 250 mm و به قطر 22 mm که در آن سوراخی به طول 125 mm و به قطر 16 mm از انتهای B تعییه شده است. شفت از دو انتهای ثابت است، و گشتاور 120 N.m در وسط آن وارد می‌شود (شکل ۲۸-۳). گشتاور وارد از تکیه‌گاه‌ها را باید



شکل ۲۸-۳

نمودار آزاد شفت را رسم می‌کنیم و گشتاورهای وارد از تکیه‌گاه‌ها را با T_A و T_B نشان می‌دهیم (شکل ۲۹-۳الف). با توجه به تعادل شفت،

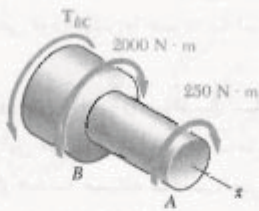
$$T_A + T_B = 120 \text{ N.m}$$

چون این معادله برای تعیین دو مجهول T_A و T_B کافی نیست، شفت نامعین استاتیکی است.

چون شفت AB از دو انتهای مقید است. لذا، زاویه کل پیچش آن صفر است. با این معلومات می‌توان گشتاورهای T_A و T_B را بدهست آورد. زوایای پیچش قسمت‌های AC و CB را، به ترتیب، با ϕ_1 و ϕ_2 نشان می‌دهیم و می‌نویسیم:

$$\psi_1 - \phi_1 + \phi_2 = 0$$

RNUEB

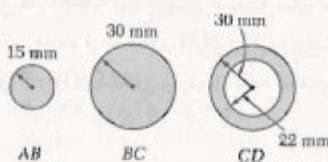


مسان اینرسی تطبیق:

$$J_{AB} = \frac{\pi}{4} c^4 = \frac{\pi}{4} (0.015 \text{ m})^4 = 0.000795 \times 10^{-6} \text{ m}^4$$

$$J_{BC} = \frac{\pi}{4} c^4 = \frac{\pi}{4} (0.03 \text{ m})^4 = 0.001272 \times 10^{-6} \text{ m}^4$$

$$\begin{aligned} J_{CD} &= \frac{\pi}{4} (c_i^4 - c_o^4) = \frac{\pi}{4} [(0.022 \text{ m})^4 - (0.020 \text{ m})^4] \\ &= 0.0004 \times 10^{-6} \text{ m}^4 \end{aligned}$$



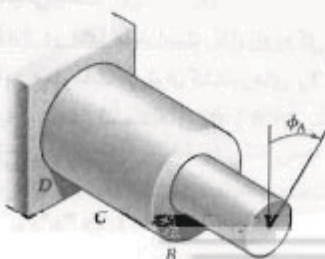
زاویه پیچش. با استفاده از معادله (۱۷-۳) و با توجه به
 $G = 70 \text{ GPa}$

$$\phi_A = \sum_i \frac{T_i L_i}{J_i G} = \frac{1}{G} \left(\frac{T_{AB} L_{AB}}{J_{AB}} + \frac{T_{BC} L_{BC}}{J_{BC}} + \frac{T_{CD} L_{CD}}{J_{CD}} \right)$$

$$\begin{aligned} \phi_A &= \frac{1}{70 \text{ GPa}} \left[\frac{(750 \text{ N.m})(0.7 \text{ m})}{0.000795 \times 10^{-6} \text{ m}^4} + \frac{(2250 \text{ N.m})(0.2 \text{ m})}{0.001272 \times 10^{-6} \text{ m}^4} \right. \\ &\quad \left. + \frac{(2250 \text{ N.m})(0.4 \text{ m})}{0.0004 \times 10^{-6} \text{ m}^4} \right] \end{aligned}$$

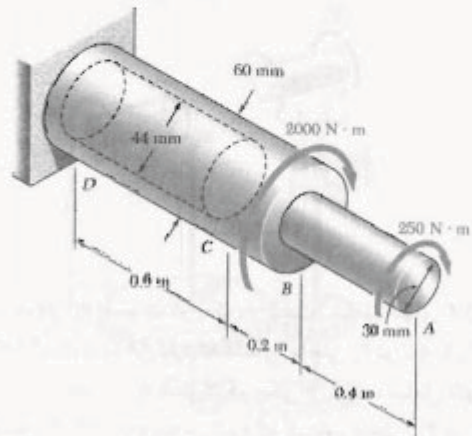
$$= 0.01634 + 0.00459 + 0.01939 = 0.0403 \text{ rad}$$

$$\phi_A = (0.0403 \text{ rad}) \frac{180^\circ}{\pi \text{ rad}} \Rightarrow \phi_A = 7.21^\circ \ll$$

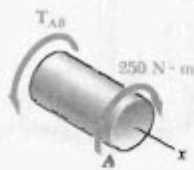


مثال نمونه ۳-۳

فاغدۀ D از شفت افقی AD به تکیه گاهی متصل است. این شفت تحت گشتاورهای نشان داده شده قرار دارد. سوراخی به قطر ۴۴ mm در قسمت CD مته شده است، شفت از فولاد، با $E = 200 \text{ GPa}$ ، ساخته شده است، زاویه پیچش انتهای A را باید.



حل
چون شفت از سه قسمت CD، BC، AB با مقاطع عرضی یکنواخت و با گشتاور داخلی ثابت، تشکیل شده است، معادله (۱۷-۳) را می‌توان به کار بردن.



استاتیک. با عبور یک مقاطع در شفت بین نقاط A و B، و با استفاده از نمودار آزاد نشان داده شده، داریم:

$$\sum M_x = 0 : (750 \text{ N.m}) - T_{AB} = 0 \Rightarrow T_{AB} = 750 \text{ N.m}$$

با عبور یک مقاطع جدید بین C و B، می‌نویسیم:

$$\sum M_x = 0 :$$

$$(750 \text{ N.m}) + (750 \text{ N.m}) - T_{BC} = 0 \Rightarrow T_{BC} = 1500 \text{ N.m}$$

چون هیچ گشتاوری در C وارد نمی‌شود،

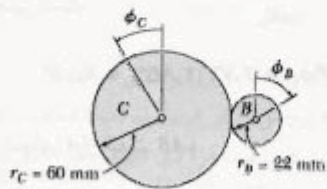
$$T_{CD} = T_{BC} = 1500 \text{ N.m}$$

$$T_o = \gamma V T_o / N.m$$

و $c = 12,5 \text{ mm}$ با $T_{CD} = \gamma V T_o$ از (۱) با $\tau_{all} = 55 \text{ MPa}$

$$\tau = \frac{T_{CD} c}{J} \Rightarrow 55 \text{ MPa} = \frac{\gamma V T_o (12,5 \times 10^{-3} \text{ m})}{\frac{1}{4} \pi (12,5 \times 10^{-3} \text{ m})^4}$$

$$T_o = 71,8 \text{ N.m}$$



ماکریم گشتاور مجاز. مقدار کوچکتر را برای T_o انتخاب می‌کنیم:

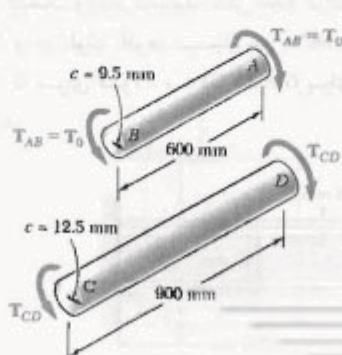
$$T_o = 71,8 \text{ N.m}$$

ب. زاویه چرخش انتهای A. ابتدا، زاویه پیچش هر شفت را محاسبه می‌کنیم:

$$\text{شفت } AB \text{ برای } AB \text{ می‌چرخد.}$$

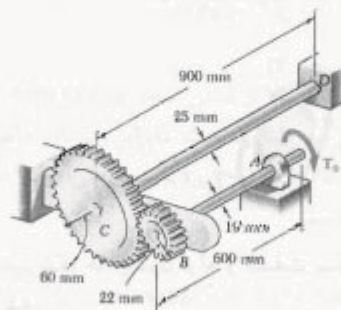
$$\phi_{A/B} = \frac{T_{AB} L}{JG} = \frac{(71,8 \text{ N.m})(0,7 \text{ m})}{\frac{1}{4} \pi (0,0095 \text{ m})^4 (77 \times 10^9 \text{ Pa})}$$

$$= 0,10789 \text{ rad} = 6,15^\circ$$



مسئله نموه ۴-۳

دو شفت توپر فولادی توسط چرخ دندهای بیمه متصل شده‌اند. اگر برای هر شفت $G = 77 \text{ GPa}$ و نتش برشی مجاز 55 MPa باشد، مطلوبست: (الف) ماکریم گشتاور T_o که می‌توان بر انتهای A از شفت AB بارگذارد؛ (ب) زاویه دوران انتهای A.



حل

استاتیک. مقدار نیروی مماسی بین دندانه‌های چرخ دنده را با F نشان می‌دهیم، و می‌نویسیم

$$B: \sum M_B = 0 : F(22 \text{ mm}) - T_o = 0$$

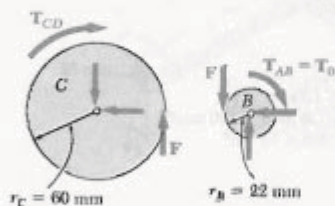
$$C: \sum M_C = 0 : F(70 \text{ mm}) - T_{CD} = 0$$

$$T_{CD} = \gamma V T_o \quad (1)$$

سینماتیک. حرکت‌های محیطی چرخ دنده‌ها برابرند، و

می‌نویسیم:

$$r_B \phi_B = r_C \phi_C \Rightarrow \phi_B = \phi_C \frac{r_C}{r_B} = \phi_C \frac{60 \text{ mm}}{22 \text{ mm}} = 2,727 \phi_C \quad (2)$$



الف. گشتاور T_o

شفت AB با $c = 9,5 \text{ mm}$ و $T_{AB} = T_o$ و ماکریم نش مجاز برشی 55 MPa می‌نویسیم:

$$\tau = \frac{T_{AB} c}{J} \Rightarrow 55 \text{ MPa} = \frac{T_o (9,5 \times 10^{-3} \text{ m})}{\frac{1}{4} \pi (9,5 \times 10^{-3} \text{ m})^4}$$

حل

استاتیک. نمودار آزاد دیسک. گشتاور واردہ از لوله بر دیسک را با T_1 و گشتاور واردہ از شفت را با T_2 نشان می‌دهیم و می‌نویسیم:

$$T_o = T_1 + T_2 \quad (1)$$

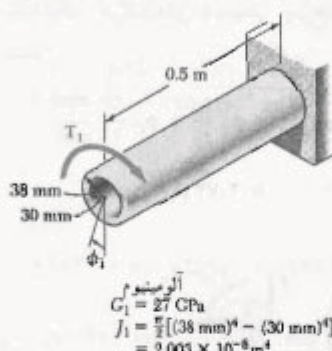


تغییرشکل‌ها. چون لوله و شفت به دیسک صلب متصل‌اند،

$$\phi_1 = \phi_2 \implies \frac{T_1 L_1}{J_1 G_1} = \frac{T_2 L_2}{J_2 G_2}$$

$$\frac{T_1 (\text{rad/m})}{(27 \times 10^9 \text{ N/m}^2)(27 \text{ GPa})} = \frac{T_2 (\text{rad/m})}{(8.14 \times 10^{-6} \text{ m}^4)(27 \text{ GPa})}$$

$$T_2 = 8.14 \text{ Nm} T_1 \quad (2)$$



تشهای برشی. فرض می‌کنیم که شرط $\tau_{\text{آلومنیوم}} \leq 70 \text{ MPa}$ تعیین‌کننده است. برای لوله آلومنیومی،

$$T_1 = \frac{\tau_{\text{آلومنیوم}} J_1}{G_1} = \frac{(70 \text{ MPa})(27 \times 10^9 \text{ N/m}^2)}{8.14 \text{ Nm}} = 365 \text{ N.m}$$

شافت CD

$$T_{CD} = \tau_{\text{آلومنیوم}} T_o = 70 \text{ MPa} (71 \text{ N.m}) = 168 \text{ N.m}$$

$$\phi_{CD} = \frac{T_{CD} L}{J G} = \frac{(168 \text{ N.m})(0.9 \text{ m})}{\frac{1}{4} \pi (0.1 \times 125 \text{ m})^3 (27 \times 10^9 \text{ Pa})} = 0.014 \text{ rad} = 1.65^\circ$$

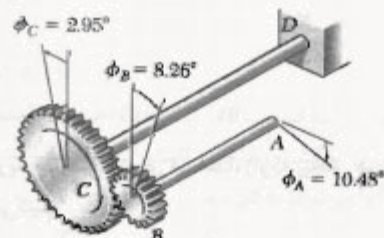
چون انتهای D از شافت CD ثابت است، $\phi_C = \phi_{CD} = 1.65^\circ$. با استفاده از (2)، زاویه چرخش چرخ دندۀ B چنین است:

$$\phi_B = \tau_{\text{آلومنیوم}} \phi_C = 70 \text{ MPa} (1.65^\circ) = 1.16^\circ$$

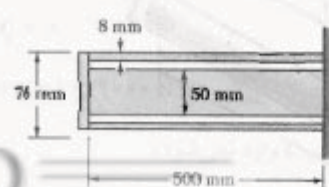
برای انتهای A از شافت AB

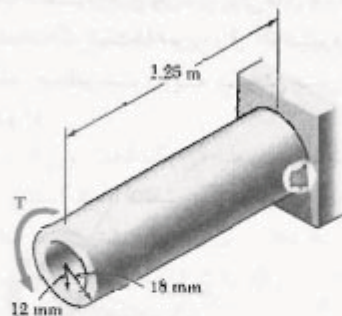
$$\phi_A = \phi_B + \phi_{A/B} = 1.16^\circ + 1.15^\circ$$

$$\phi_A = 10.2^\circ \quad \blacktriangleleft$$



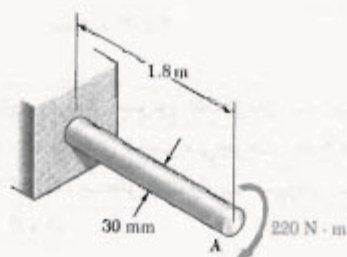
مسئله نمونه ۵-۳
یک شافت فولادی و یک لوله آلومنیومی به یک تکیه‌گاه ثابت و یک دیسک صلب: با مقاطع عرضی نشان داده شده، متصل شده‌اند. اگر تشهای اولیه صفر باشند، ما کریم گشتاور T را که می‌توان بر دیسک وارد کرد بیابید. تششنج مجاز در شافت فولادی 120 MPa و در لوله آلومنیومی 70 MPa است. از $G = 27 \text{ GPa}$ برای فولاد و $G = 27 \text{ GPa}$ برای آلومنیوم استفاده کنید.





شکل ۳۱-۳

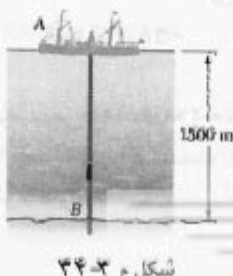
۳۲-۳ (الف) برای شفت توری فولادی نشان داده شده ($G = 77 \text{ GPa}$)، زاویه پیچش را در A بیابید. (ب) قسمت الف را با این فرض حل کنید که شفت فولادی دارای قطر خارجی 30 mm و قطر داخلی 20 mm است.



شکل ۳۲-۳

۳۳-۳ مطلوبست ماکریسم قطر مجذار میله فولادی ($G = 77 \text{ GPa}$) به طول 3 m که بخواهیم تنش برشی ایجاد شده در میله بر اثر پیچش 30° از 0° میباشد.

۳۴-۳ یک کشته، از نقطه A ، عملیات حفاری نفت را از کف اقیانوسی به عمق 5000 ft شروع کرده است. اگر نوک نوله مته فولادی ($G = 77.2 \text{ GPa}$) به قطر 200 mm به قدر 20° قبل از شروع عملیات سرمته B دو دور کامل بزند، ماکریسم تنش برشی در لوله را بر اثر پیچش بیابید.



شکل ۳۴-۳

با استفاده از معادله (۲)، مقدار T_r را محاسبه میکنیم و سپس ماکریسم تنش برشی را در شفت فولادی میباییم.

$$T_r = 0.874 T_i = 0.874 (3225 \text{ N.m}) = 2225 \text{ N.m}$$

$$r_{نیز} = \frac{T_r c_r}{J_r} = \frac{(2225 \text{ N.m})(0.025 \text{ m})}{0.814 \times 10^{-7} \text{ m}^4} = 131.3 \text{ MPa}$$

دیده میشود که مقدار بالا از تنش مجذار فولاد (120 MPa) بیشتر است؛ لذا، فرض مثبت است. بتایران، گشتاور ماکریسم را با استفاده از $T_r = 120 \text{ MPa}$ بعدهست میآوریم. ابتدا، گشتاور T_r را میباییم:

$$T_r = \frac{r_{نیز} J_r}{c_r} = \frac{(120 \text{ MPa})(0.614 \times 10^{-7} \text{ m}^4)}{0.025 \text{ m}} = 2950 \text{ N.m}$$

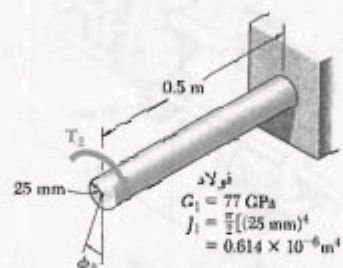
از معادله (۲)،

$$2950 \text{ N.m} = 0.874 T_i \Rightarrow T_i = 3375 \text{ N.m}$$

با استفاده از معادله (۱)، ماکریسم گشتاور مجذار را بعدهست میآوریم:

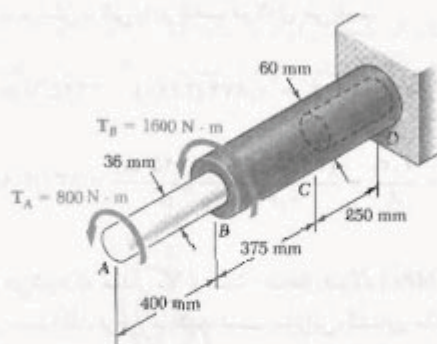
$$T_e = T_i + T_r = 3375 \text{ N.m} + 2950 \text{ N.m}$$

$$T_e = 7325 \text{ kN.m} \quad \blacktriangleleft$$



مسائل

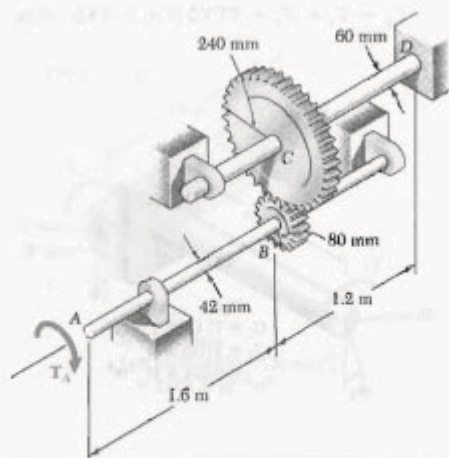
۳۱-۳ برای شفت آلمینیومی نشان داده شده ($G = 77 \text{ GPa}$)، مطلوبست: (الف) گشتاور T که باعث زاویه پیچش 40° میشود، (ب) زاویه پیچش که همان گشتاور T را در ایجاد میکند.



شکل ۳۷-۳

۳۸-۳ مسئله ۳۷-۳ را با این فرض حل کنید که قسمت BD به صورت یک میله توری به قطر 60 mm و به طول 625 mm باشد.

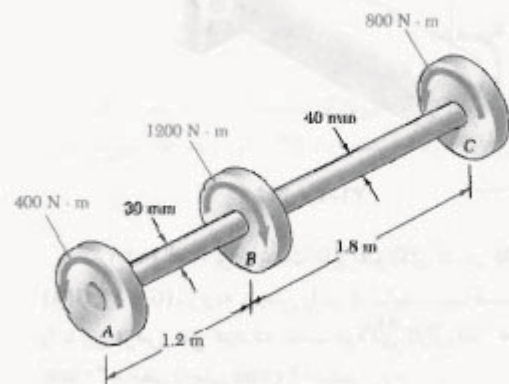
۳۹-۳ دو شفت توری فولادی ($G = 77.2\text{ GPa}$) توسط چرخ‌نده‌های نشان داده شده بهم متصل شده‌اند. زاویه چرخش انتهای A را بر اثر اعمال $T_A = 1200\text{ N}\cdot\text{m}$ باید.



شکل ۳۹-۳

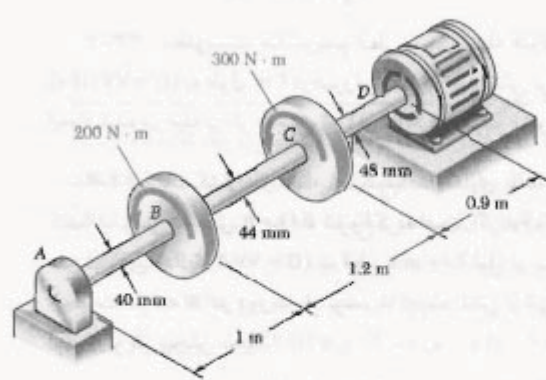
۴۰-۳ مسئله ۳۹-۳ را با این فرض حل کنید که قطر هر شفت 52 mm است.

۳۵-۲ گشتاورهای وارده بر پولی‌های A و B در شکل نشان داده شده‌اند. اگر شفت‌ها توری و از آلومینیوم ($G = 79\text{ GPa}$) باشند، مطلوبست زاویه پیچش بین: (الف) A و C و (ب) C و A چقدر باشد.



شکل ۳۵-۲

۳۶-۳ گشتاور وارده از موتور الکتریکی به شفت آلومنیومی $ABCD$ ، که با نتیج ثابت می‌چرخد، $500\text{ N}\cdot\text{m}$ است. اگر $G = 77\text{ GPa}$ ، مطلوبست زاویه پیچش بین: (الف) B و C ، (ب) C و B چقدر باشد.



شکل ۳۶-۳

۳۷-۳ میله آلومینیومی ($G = 77\text{ GPa}$) AB به میله برنجی ($G = 79\text{ GPa}$) BD متصل است. اگر قسمت CD از میله برنجی نرخالی و دارای قطر داخلی 40 mm باشد، زاویه پیچش A را باید.

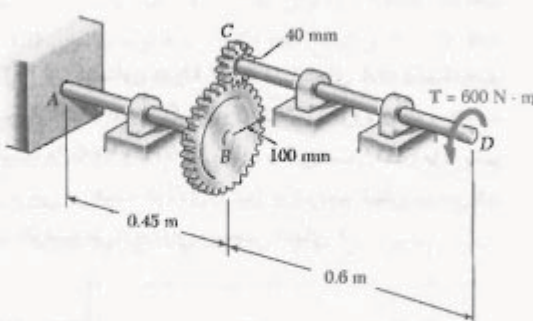


۴۴-۳ مسئله ۴۱-۲ را با این فرض حل کنید که شعاع چرخ دنده B برابر با 150 mm و شعاع چرخ دنده E برابر با 110 mm باشد.

۴۵-۳ مشخصه‌های طراحی یک شفت توبیر استوانه‌ای به طول 2 m ایجاب می‌کند که وقتی شفت تحت گشتاور $7\text{ kN}\cdot\text{m}$ قرار گیرد، زاویه پیچش آن از 5° بیشتر نشود. مطلوبست قطر شفت، در صورتی که شفت (الف) از فولاد با تنش برخش مجاز $\sigma = 100\text{ MPa}$ و مدول صلابت $G = 20\text{ GPa}$ تشکیل شده باشد.

۴۶-۳ مشخصه‌های طراحی یک شفت توبیر استوانه‌ای به طول 1.2 m ایجاب می‌کند که وقتی شفت تحت گشتاور $750\text{ N}\cdot\text{m}$ قرار گیرد، زاویه پیچش آن از 4° بیشتر نشود. مطلوبست قطر شفت، در صورتی که شفت از فولاد با تنش برخش مجاز $\sigma = 90\text{ MPa}$ و مدول صلابت $G = 20\text{ GPa}$ تشکیل شده باشد.

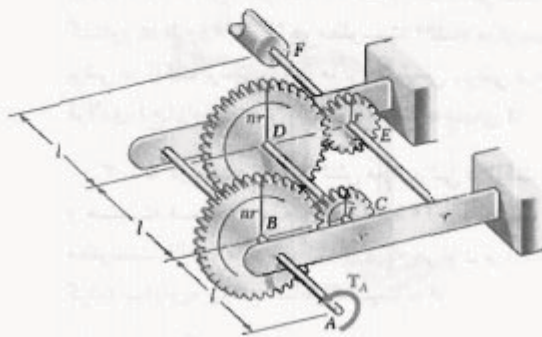
۴۷-۳ طراحی سیستم چرخ دنده-شافت نشان داده شده ایجاب می‌کند که شفتهای فولادی AB و CD دارای قطر یکسان باشند، و نیز $\sigma_{max} \leq 50\text{ MPa}$ و زاویه چرخش انتهای D از شفت CD بیشتر از 2° نشود. اگر $G = 20\text{ GPa}$ ، قطر مورد نیاز شفتهای را بیابید.



شکل ۴۷-۳ و ۴۸-۳

۴۸-۳ در مجموعه نشان داده شده، قطر شفتهای عبارتند از $d_{CD} = 38\text{ mm}$ و $d_{AB} = 50\text{ mm}$. اگر $G = 20\text{ GPa}$ ، زاویه چرخش انتهای D را بیابید.

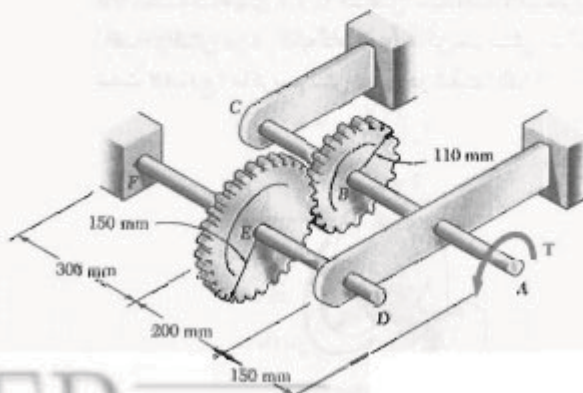
۴۱-۳ کلکنار F ، که برای ثابت دیجیتالی چرخش شفت A به کار می‌رود، توسط زنجیره چرخ دنده‌ای نشان داده شده به این شفت متصل شده است. زنجیره از چهار چرخ دنده و سه شفت توبیر فولادی، هر کدام به قطر d ، تشکیل شده است. دو نا از چرخ دنده‌ها به شعاع r و دو نای دیگر به شعاع nr هستند. اگر از چرخش کلکنار F جلوگیری شود، زاویه چرخش انتهای A را بر حسب T , J , I و n بیابید.



شکل ۴۱-۳

۴۲-۳ برای زنجیره چرخ دنده‌ای در مسئله ۴۲-۳، زاویه چرخش انتهای A را برای گشتاور $T = 0.75\text{ N}\cdot\text{m}$ ، $I = 60\text{ mm}^4$ ، $J = 0.75\text{ N}\cdot\text{m}$ ، $n = 2$ و $G = 20\text{ GPa}$ ، $d = 4\text{ mm}$ بیابید.

۴۳-۳ دو شفت، هر یک به قطر 22 mm ، توسط چرخ دنده‌های نشان داده شده به هم متصل شده‌اند. اگر $G = 20\text{ GPa}$ و شفت در F ثابت باشد، زاویه چرخش انتهای A را بر اثر اعمال گشتاور $T = 130\text{ N}\cdot\text{m}$ بیابید.

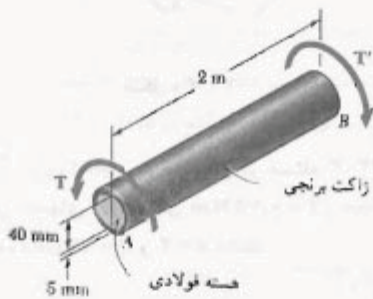


شکل ۴۳-۳

۵۳-۳ شفت مرکب نشان داده شده با اعمال گشتاور T در انتهای A می‌پیچد. اگر مدول صلابت فولاد و آلمینیوم، به ترتیب، 77 GPa و 27 GPa باشد، مطلوب است بیشترین زاویه چرخش انتهای A در صورتیکه بخواهیم تنش‌ها از مقادیر مجاز $\tau_{\text{max}} = 60 \text{ MPa}$ و $\tau_{\text{max}} = 45 \text{ MPa}$ بیشتر نشوند.

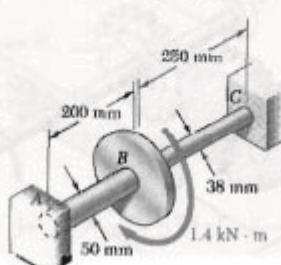
۵۴-۳ شفت مرکب نشان داده شده مشکل است از ژاکت برنجی ($G = 77 \text{ GPa}$) به ضخامت 5 mm که به هسته فولادی به قطر 40 mm (به قدر $77/2 \text{ GPa}$) متصل است. اگر شفت تحت گشتاور $T = 600 \text{ N.m}$ قرار گیرد، مطلوب است: (الف) ماکریم تنش برشی در ژاکت برنجی، (ب) ماکریم تنش برشی در هسته فولادی، (ج) زاویه پیچش انتهای B نسبت به انتهای A .

۵۵-۳ در مسئله ۵۴-۳، تنش مجاز برشی در ژاکت برنجی و هسته فولادی، به ترتیب، 60 MPa و 45 MPa است. مطلوب است: (الف) ماکریم گشتاور T ، که می‌توان بر ژاکت وارد کرد، (ب) زاویه پیچش متانظر B نسبت به A



شکل م-۵۴-۳ و م-۵۵

۵۶-۳ دو شفت توپر فولادی ($G = 77/2 \text{ GPa}$) به دیسک و تکیه‌گاههای A و C متصل شده‌اند، مطلوب است: (الف) راکش در هر تکیه‌گاه، (ب) ماکریم تنش برشی در شفت AB ، (ج) ماکریم تنش برشی در شفت BC .

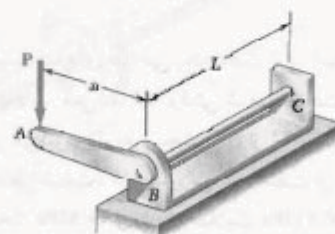


شکل م-۵۶

۴۹-۳ میله توپر استوانه‌ای BC به بازوی صلب AB و به تکیه‌گاه ثابت C متصل است. نیروی عمودی P که در A ولرد می‌شود تغییر شکل کوچک Δ را در نقطه A ایجاد می‌کند. نشان دهید که ماکریم تنش برشی توپر میله عبارت است از:

$$\tau = \frac{Gad}{2La} \Delta$$

که در آن d قطر میله و G مدول صلابت است.



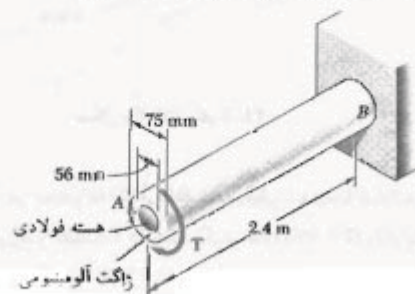
شکل م-۴۹-۳ و م-۵۰

۵۰-۳ و ۵۱-۳ میله توپر استوانه BC به طول $L = 0.6 \text{ m}$ به بازوی صلب AB ، به طول $a = 0.4 \text{ m}$ ، و به تکیه‌گاه C متصل است. تغییر مکان A تحت بار $P = 400 \text{ N}$ نباید از 25 mm بیشتر شود. قطر میله را در شرایط زیر باید:

$$G = 77 \text{ GPa}, \tau_{\text{max}} = 50 \text{ MPa}$$

$$G = 77 \text{ GPa}, \tau_{\text{max}} = 92 \text{ MPa}; \quad 51-3$$

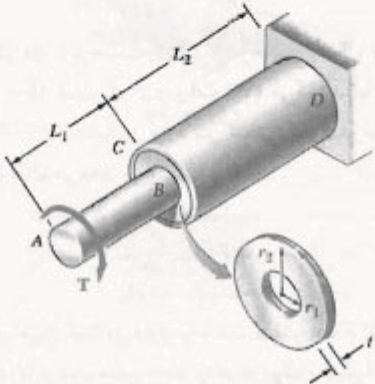
۵۲-۳ گشتاور $T = 4 \text{ kN.m}$ در انتهای A از یک شفت مرکب ولرد شده است. اگر مدول صلابت فولاد و آلمینیوم، به ترتیب، 77 GPa و 27 GPa باشد، مطلوب است: (الف) ماکریم تنش برشی در هسته فولادی، (ب) ماکریم تنش برشی در ژاکت آلمینیومی، (ج) زاویه پیچش انتهای A .



شکل م-۵۲-۳ و م-۵۳

۶۲-۳ از یک ورق حلقوی با ضخامت t و مدول صلابت G برای اتصال شفت AB به شعاع r , به لوله CD با شعاع داخلی r' , استفاده شده است. اگر گشتاور T بر انتهای A از شفت AB وارد شود و انتهای D لوله CD ثابت باشد، (الف) مقدار و مکان ماکریم تنش برشی در ورق حلقوی را باید، (ب) نشان دهد که زاویه چرخش انتهای B نسبت به انتهای C لوله CD عبارت است از:

$$\phi_{BC} = \frac{T}{4\pi G t} \left(\frac{1}{r_1} - \frac{1}{r_2} \right)$$



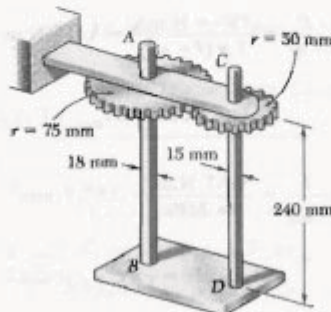
شکل ۶۲-۳ و ۶۳-۳

۶۳-۳ از ورق حلقوی به برنجی ($G = 39 \text{ GPa}$), با ضخامت $t = 6 \text{ mm}$, برای اتصال شفت برنجی AB , به طول $L_1 = 50 \text{ mm}$ و شعاع $r_1 = 30 \text{ mm}$, به لوله برنجی CD , به طول $L_2 = 125 \text{ mm}$, شعاع داخلی $r_2 = 75 \text{ mm}$ و ضخامت 3 mm استفاده شده است. اگر گشتاور $T = 28 \text{ kN.m}$ از شفت AB وارد شود و انتهای D از لوله CD ثابت باشد، مطلوبست: (الف) ماکریم تنش برشی در سیستم شفت-لوله، (ب) زاویه چرخش انتهای A . (راهنمایی: از فرمول به دست آمده در مسئله ۶۲-۳ برای حل قسمت ب استفاده کنید).

۷-۳ طراحی شفت‌های انتقال قدرت
مشخصات اصلی در طراحی یک شفت انتقال قدرت عبارتند از قدرتی که شفت باید انتقال دهد، و سرعت چرخش شفت. نقش طراح، انتخاب ماده و ابعاد مقطع عرضی شفت است، به طوری که ماکریم تنش برشی در ماده هنگام انتقال قدرت در یک سرعت مشخص شده از مقدار مجاز خود بیشتر نشود.

۵۷-۳ در مسئله ۵۶-۳، شفت AB را با یک شفت توخالی جایگزین کنید که دارای همان قطر خارجی و با قطر داخلی 25 mm باشد.

۵۸-۳ با جلوگیری از چرخش انتهای پایینی هر شفت، گشتاور 80 N.m بر انتهای A از شفت AB وارد می‌شود. اگر برای هر دو شفت $G = 77 \text{ GPa}$, مطلوبست: (الف) ماکریم تنش برشی در شفت CD , (ب) زاویه چرخش انتهای A .



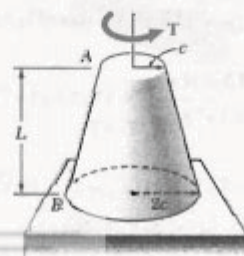
شکل ۵۸-۳

۵۹-۳ مسئله ۵۸-۳ را با این فرض حل کنید که گشتاور بر انتهای C از شفت CD وارد شود.

۶۰-۳ یک شفت توپر و یک شفت توخالی از ماده یکسان و با وزن و طول یکسان ساخته شده‌اند. اگر $\frac{\pi}{c} = \frac{\pi}{t}$, نشان دهید که نسبت گشتاور T در شفت توپر به گشتاور T_0 در شفت توخالی، T/T_0 , برابر است با: (الف) $(1 + n^2)/\sqrt{1 - n^2}$ در صورتی که ماکریم تنش برشی در هر شفت دارای مقدار یکسان باشد. (ب) $(1 + n^2)/(1 - n^2)$ در صورتی که زاویه چرخش هر دو شفت یکسان باشد.

۶۱-۳ گشتاور T , مطابق شکل, بر شفت توپر مخروطی AB وارد می‌شود. با انتگرال‌گیری نشان دهید که زاویه چرخش انتهای A عبارت است از:

$$\phi = \frac{\sqrt{TL}}{12\pi G c^2}$$



شکل ۶۱-۳

ابتدا قدرت موتور را برحسب $N \cdot m/s$ و فرکانس آن را بر حسب سیکل بر ثانیه (هرتز) بیان می کنیم.

$$P = 2\pi f kW = 3700 N \cdot m/s$$

$$f = (3600 rpm) \frac{1 Hz}{60 rpm} = 60 Hz = 60 s^{-1}$$

گشتاور وارد بر شفت را از معادله (۲۱-۳) می باییم:

$$T = \frac{P}{2\pi f} = \frac{3700 N \cdot m/s}{2\pi (60 s^{-1})} = 98.2 N \cdot m$$

با جایگذاری T و τ_{max} در معادله (۲۲-۳)

$$\frac{J}{c} = \frac{T}{\tau_{max}} = \frac{98.2 N \cdot m}{60 MPa} = 163.7 mm^4$$

برای یک شفت توپر، $J/c = \frac{1}{4}\pi c^3$. بنابراین،

$$\frac{1}{4}\pi c^3 = 163.7 mm^4$$

$$c = 7.8 mm$$

$$d = 2c = 15.6 mm$$

از شفتی به قطر ۱۵ mm استفاده می شود.

مثال ۷-۳

شفتی که از یک لوله فولادی با قطر خارجی ۵۰ mm تشکیل شده است قدرت ۱۰۰ kW را در فرکانس دوران ۲۰ هertz انتقال می دهد. مطلوبست ضخامت لوله بد طوری که تنش برشی از ۶ MPa بیشتر نشود.

گشتاور وارد بر شفت را از معادله (۲۱-۳) می باییم:

$$T = \frac{P}{2\pi f} = \frac{100 \times 10^3 W}{2\pi (20 Hz)} = 795.8 N \cdot m$$

حداقل مقدار J/c را از معادله (۲۲-۳) تعیین می کنیم:

$$\frac{J}{c} = \frac{T}{\tau_{max}} = \frac{795.8 N \cdot m}{60 \times 10^6 N/m^4} = 13.26 \times 10^{-9} m^4 \quad (22-3)$$

از معادله (۱۰-۳)،

$$\frac{J}{c_r} = \frac{\pi}{2} (c_r^2 - c_i^2) = \frac{\pi}{2} [(0.025)^2 - c_i^2] \quad (22-3)$$

از دینامیک می دانیم که قدرت P برای جسم صلب پرخانی که تحت گشتاور T قرار دارد چنین است:

$$P = T\omega \quad (19-3)$$

که در آن، ω سرعت زاویه ای جسم بر حسب رادیان بر ثانیه است. اما $\omega = 2\pi f$ ، که در آن f فرکانس دوران (تعداد دورانها در یک ثانیه) است. واحد فرکانس s^{-1} است و آن راه هرتو (HZ) می گویند. با جایگذاری ω در معادله (۱۹-۳)،

$$P = 2\pi f T \quad (20-3)$$

در آحاد SI، f بر حسب Hz ، T بر حسب $N \cdot m$ و قدرت P بر حسب $N \cdot m/s$ است که آن را وات (W) می گویند. با حل T از معادله (۲۰-۳)، گشتاور وارد بر شفتی که قدرت P را در فرکانس کانتال می دهد می باییم:

$$T = \frac{P}{2\pi f} \quad (21-3)$$

پس از تعیین گشتاور وارد بر شفت و انتخاب ماده، طراح مقادیر T و ماکریم تنش مجاز را در فرمول پیچش الاستیک (۹-۳) قرار می دهد. با حل J/c ،

$$\frac{J}{c} = \frac{T}{\tau_{max}} \quad (22-3)$$

به این ترتیب، مینیمم مقدار محاجز پارامتر J/c بدست می آید. در آحاد SI، T بر حسب $N \cdot m$ ، τ_{max} بر حسب (N/m^4) و J/c بر حسب m^4 است. در یک شفت توپر استوانه ای، $J/c = J = \frac{1}{4}\pi c^3$ و $J/c = \frac{1}{4}\pi c^3$ ؛ با جایگذاری در معادله (۲۲-۳) و با حل c ، مینیمم مقدار محاجز برای شعاع شفت بدست می آید. در یک شفت استوانه ای توخالی، J/c پارامتر تعیین کننده است (c) شعاع خارجی شفت است)؛ مقدار این پارامتر را از معادله (۱۱-۳) می توان تعیین و وارسی کرد که آیا مقطع عرضی داده شده قابل قبول است یا نه.

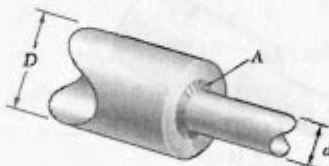
مثال ۷-۴

اندازه شفت روتور موتوری به قدرت ۳۷ kW که با ۳۶۰۰ rpm می چرخد چقدر باید تا تنش برشی در شفت از $60 MPa$ بیشتر نشود؟



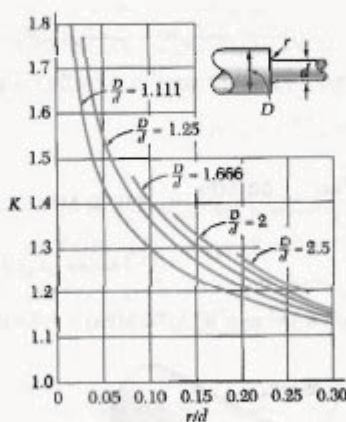
به وجود می‌آید. مثلاً، در شکل ۳۱-۳ تنش بزرگی در مقطع A به وجود آمده است. این تنش‌ها را با استفاده از گُرده (ماکریم) می‌توان کاهش داد. ماکریم مقدار تنش بررسی در گُرده چنین است:

$$\tau_{\max} = K \frac{Tc}{J} \quad (25-3)$$



شکل ۳۱-۳

که در آن، Tc/J ، تنشی است که برای شفت با قطر کمتر محاسبه شده، و K ضریب تمرکز تنش است. ضریب K فقط به نسبت دو قطر و نسبت شعاع گُرده به قطر شفت کوچکتر بستگی دارد. لذا، آن را می‌توان محاسبه و به صورت جدول یا نمودار نشان داد (شکل ۳۲-۳). گفتنی است که تعیین تنش‌های بررسی موضعی با این روش فقط تا وقته صحت دارد که مقدار τ_{\max} از حد تابع ماده بیشتر نشود، زیرا مقدار K در شکل ۳۲-۳ بر مبنای رابطه خطی بین تنش بررسی و کرنش بررسی است. اگر تغییر شکل پلاستیک روی دهد، تنش ماکریم از آنجه که با معادله (۲۵-۳) به دست می‌آید کمتر خواهد بود.



شکل ۳۲-۳ ضرایب تمرکز تنش برای گُردها در شفت‌های دایره‌ای.

* W. D. Pilkey, *Peterson's Stress Concentration Factors*, 2nd ed.. John Wiley & Sons, New York, 1997.

سمت راست معادله‌های (۲۳-۳) و (۲۴-۳) را مساوی هم قرار می‌دهیم:

$$(0,925)^2 - c_1^2 = \frac{0,050}{\pi} (13,26 \times 10^{-3})$$

$$c_1^2 = 39,6 \times 10^{-4} - 211,0 \times 10^{-4} = 178,6 \times 10^{-4} \text{ m}^2$$

$$c_1 = 20,6 \times 10^{-2} \text{ m} = 20,6 \text{ mm}$$

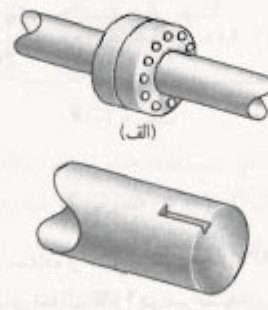
ضخامت لوله چنین است:

$$c_t - c_1 = 25 \text{ mm} - 20,6 \text{ mm} = 4,4 \text{ mm}$$

از لوله‌ای با ضخامت ۵ mm استفاده می‌شود.

۳-۸ تمرکز تنش در شفت‌های دایره‌ای

فرمول $\tau_{\max} = Tc/J$ در قسمت ۴-۳ برای یک شفت دایره‌ای با مقطع عرضی یکتاخت به کار می‌رود. بعلاوه، در قسمت ۳-۳ فرض شد که شفت از طریق صفحات صلبی که به دو انتهای شفت متصل‌اند از دو انتهای بارگذاری می‌شود. ولی، در عمل، گشتاورها معمولاً از طریق کوبلینگ‌های فلانجی بر شفت وارد می‌شوند (شکل ۳۰-۳). در هر دو حالت، ممکن است در مقطعی که بر آن گشتاور وارد می‌شود، یا در نزدیک آن، توزیع تنش را نتوان با فرمول پیچش داده شده در بالا بیان کرد. مثلاً، تمرکز تنش بزرگی در مجاورت خار شکل ۳۰-۳ ب به وجود می‌آید. برای تعیین این تنش‌های موضعی می‌توان از روش‌های آزمایشی، و گاهی از نظریه الاستیتی استفاده کرد.

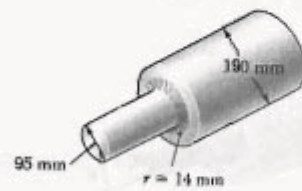


شکل ۳۰-۳

طبق قسمت ۴-۳، از فرمول پیچش برای شفت با مقطع عرضی متغیر دایره‌ای نیز می‌توان استفاده کرد. ولی در مقطع عرضی شفتی که قطر آن ناگهان تغییر می‌کند، تمرکز تنش

مسئله نمونه ۶-۳

شفت پلہای نشان داده شده با $\omega = 900 \text{ rpm}$ می چرخد و قدرت را از توربین به ژنراتور انتقال می دهد. فولاد به کار رفته درای تنفسی برشی مجاز 55 MPa است. (الف) در طرح اولیه، ماسکریزم قدرتی را که می توان انتقال داد بیابید. (ب) اگر شعاع گردد در طرح نهایی به $r = 24 \text{ mm}$ افزایش یابد، درصد تغییر قدرت انتقالی چقدر است؟



حل

الف. طرح اولیه. با استفاده از شکل ۳۲-۳

$$r = 14 \text{ mm}, d = 95 \text{ mm}, D = 190 \text{ mm}$$

$$\frac{D}{d} = \frac{190 \text{ mm}}{95 \text{ mm}} = 2 \quad \frac{r}{d} = \frac{14 \text{ mm}}{95 \text{ mm}} = 0.15$$

از شکل ۳۲-۳

کستور. با توجه به معادله (۲۰-۳)،

$$r_{\max} = K \frac{Tc}{J} \implies T = \frac{J}{c} \frac{r_{\max}}{K} \quad (1)$$

که در آن، J/c برای شفت با قطر کمتر است:

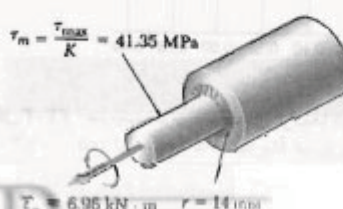
$$J/c = \frac{1}{4} \pi c^4 = \frac{1}{4} \pi (4V/5 \text{ mm})^4 = 168,3 \times 10^{-7} \text{ mm}^4$$

و در آن

$$\frac{r_{\max}}{K} = \frac{55 \text{ MPa}}{1.22} = 45.8 \text{ MPa}$$

با جایگذاری در معادله (۱)،

$$T = (168,3 \times 10^{-7} \text{ mm}^4)(45.8 \text{ MPa}) = 6,96 \text{ kN.m}$$



قدرت. $f = (900 \text{ rpm}) \frac{1 \text{ Hz}}{\frac{1}{2} \pi \text{ rpm}} = 15 \text{ Hz} = 15 \text{ s}^{-1}$ و می توبیم:

$$P_a = 2\pi f T = 2\pi (15 \text{ s}^{-1})(656 \text{ N.m}) = 656 \text{ kN.m/s} \\ = 656 \text{ kW}$$

$$P_a = 656 \text{ kW} \quad \blacktriangleleft$$

ب. طرح نهایی. برای $r = 24 \text{ mm}$

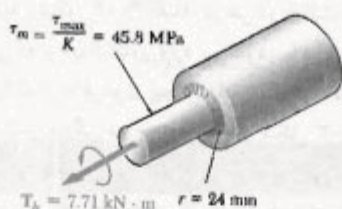
$$\frac{D}{d} = 2 \quad \frac{r}{d} = \frac{24 \text{ mm}}{95 \text{ mm}} = 0.25 \quad K = 1.20$$

با استفاده از روش بالا، می توبیم:

$$\frac{r_{\max}}{K} = \frac{55 \text{ MPa}}{1.20} = 45.8 \text{ MPa}$$

$$T = \frac{J}{c} \frac{r_{\max}}{K} = (168,3 \times 10^{-7} \text{ mm}^4)(45.8 \text{ MPa}) \\ = 7.71 \text{ kN.m}$$

$$P_b = 2\pi f T = 2\pi (15 \text{ s}^{-1})(7.71 \text{ N.m}) = 777 \text{ kW}$$

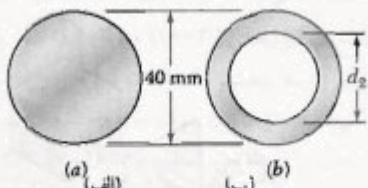


درصد تغییر قدرت:

$$\frac{P_b - P_a}{P_a} = 100 \cdot \frac{777 - 656}{656} \\ = +10.8\%$$

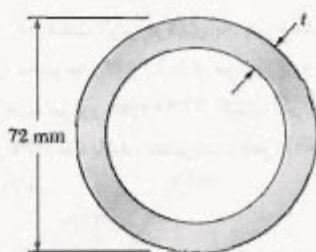
با استفاده از تنفسی برشی مجاز 30 MPa ، یک شفت توپر فولادی برای انتقال 9 kW در سرعت های زیر طراحی کنید:
(الف) 1200 rpm ، (ب) 2400 rpm

با استفاده از تنفسی برشی مجاز 50 MPa ، یک شفت توپر فولادی برای انتقال 15 kW در فرکانس های زیر طراحی کنید: (الف) 30 Hz ، (ب) 60 Hz



شکل ۷۲-۳

۷۳-۳ از یک لوله فولادی با قطر خارجی ۷۲ mm برای انتقال گشتاور 2500 N.m استفاده می‌شود و تنش برشی نباید از مقدار مجاز 55 MPa بیشتر شود. مجموعه‌ای از لوله‌ها با قطر خارجی ۷۲ mm در دسترس است. اگر ضخامت لوله‌ها موجود از 4 mm تا 10 mm با انواعی 2 mm ، تغییر کند، سبکترین لوله‌ای را که می‌توان به کار برد بیاید.



شکل ۷۳-۳

۷۴-۳ شفت توپر فولادی به طول $2/5 \text{ m}$ در فرکانس 25 Hz قدرت 10 kW را انتقال می‌دهد. اگر $G = 77.2 \text{ GPa}$ و تنش مجاز برشی 30 MPa باشد، قدرت شفت را بیاید. زاویه پیچش نباید از 3° بیشتر شود.

۷۵-۳ شفت توپر فولادی به طول $1/5 \text{ m}$ و به قطر 22 mm قدرت 12 kW را انتقال می‌دهد. اگر $G = 77.2 \text{ GPa}$ و تنش مجاز برشی 30 MPa باشد، فرکانس مینیمم را بیاید. زاویه پیچش نباید از $3/5^\circ$ بیشتر شود.

۷۶-۳ دو شفت توپر فولادی به چرخ‌نده‌هایی متصل شده‌اند. این مجموعه، 12 kW را از موتور A به ماشین ابراز D می‌دهد. سرعت موتور 1260 rpm است. اگر قطر هر شفت 20 mm باشد، مطلوبست ماکریم تنش برشی: (الف) در شفت $3R$ ، (ب) در شفت CD

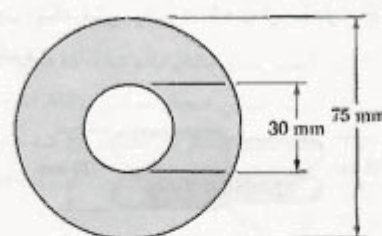
۶۶-۳ مطلوبست ماکریم تنش برشی در شفت توپری به قطر 12 mm که 2.5 kW را در فرکانس‌های زیر انتقال می‌دهد:
(الف) 25 Hz ، (ب) 25 Hz ، 1500 rpm ، (ب) 750 rpm

۶۷-۳ مطلوبست ماکریم تنش برشی در شفت توپری به قطر 38 mm که 55 kW را در سرعت‌های زیر انتقال می‌دهد:
(الف) 1800 rpm ، (ب) 750 rpm

۶۸-۳ یک شفت محرك فولادی به طول $1/8 \text{ m}$ و با قطرهای خارجی و داخلی 56 mm و 42 mm است و 180 kW را در 1800 rpm انتقال می‌دهد. مطلوبست: (الف) ماکریم تنش برشی، (ب) زاویه پیچش شفت ($G = 77 \text{ GPa}$).

۶۹-۳ یکی از دو شفت توپری محرك یک کشته اقیلوس پیما به طول 40 m است، و قطرهای خارجی و داخلی آن، به ترتیب، 400 mm و 200 mm است. شفت از فولاد با مشخصات $\tau_{all} = 60 \text{ MPa}$ و $G = 77.2 \text{ GPa}$ ساخته شده است. اگر ماکریم سرعت دوران شفت 160 rpm باشد، مطلوبست: (الف) ماکریم قدرتی که می‌توان توسط یک شفت به پروانه انتقال داد، (ب) زاویه منتظر پیچشی شفت.

۷۰-۳ یک شفت فولادی با مقطع عرضی نشان داده شده با 12° چرخد، و استریبوسکوب نشان می‌دهد که زاویه پیچش برشی طول $3/6 \text{ m}$ برابر با 2° است. با استفاده از $G = 77 \text{ GPa}$ ، قدرت انتقال یافته را بیاید.

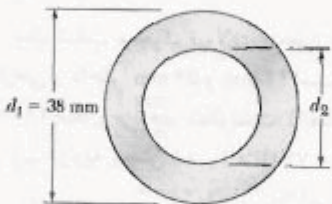


شکل ۷۰-۳

۷۱-۳ مطلوبست ضخامت شفت لوله‌ای به ضخامت 5 mm در مثال ۷-۳، در صورتی که بخواهیم در فرکانس 40 Hz قدرت قبل را انتقال دهد.

۷۲-۳ می‌خواهیم شفته با قطر خارجی 40 mm طرح کنیم که 45 kW را انتقال دهد. (الف) اگر سرعت دوران 720 rpm باشد، ماکریم تنش برشی را در شفت (a) بیاید. (ب) اگر سرعت دوران را 5% افزایش و به 1080 rpm برسانیم، مطلوبست پیشترین قطر داخلی شفت (b) بدطوری که ماکریم تنش برشی در دو شفت یکسان باشد.

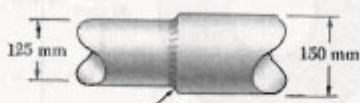
۸۲-۳ یک شفت لوله‌ای به طول $1,6\text{ m}$ و با قطر خارجی 82 mm از فولاد با $d_i = 38\text{ mm}$ ساخته شده است. اگر زاویه پیچش هنگام اعمال گشتاور 60° نباید از 4° بیشتر شود، پرداختیون قطر داخلی d_i را بیاید.



شکل ۸۲-۳ و ۸۳-۳

۸۳-۳ یک شفت توانالی فولادی، به طول $1,5\text{ m}$ و با قطر داخلی 30 mm , دارای قطر داخلی d_i است و 100 kW را بین توربین و ژنراتور انتقال می‌دهد. سرعت دوران شفت را بیاید، در صورتی که $G = 77,2\text{ GPa}$ و تنش محاز برشی 55 MPa باشد، زاویه پیچش نباید از 3° بیشتر شود.

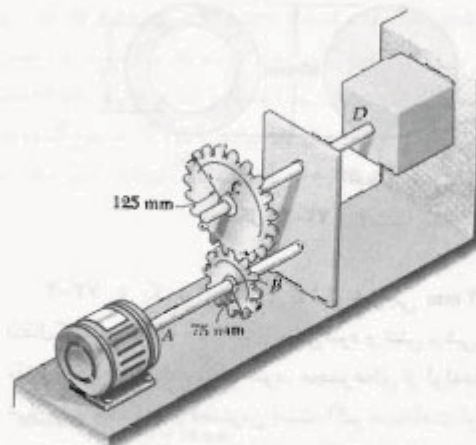
۸۴-۳ شفت پله‌ای نشان داده شده با 45° rpm می‌چرخد. اگر $r = 12\text{ mm}$, مطلوبست ماکزیمم قدرتی که می‌توان انتقال داد بدون اینکه تنش برشی در شفت از مقدار محاز 45 MPa بیشتر شود.



شکل ۸۴-۳ و ۸۵-۳

۸۵-۳ شفت پله‌ای نشان داده شده با 45° rpm می‌چرخد. اگر $r = 5\text{ mm}$, مطلوبست ماکزیمم قدرتی که می‌توان انتقال داد بدون اینکه تنش برشی در شفت از مقدار محاز 50 MPa بیشتر شود.

۸۶-۳ اگر شفت پله‌ای نشان داده شده 45 kW را در 2100 rpm انتقال دهد، مطلوبست مینیمم شعاع r گردد در صورتی که بخواهیم تنش در شفت از مقدار محاز 50 MPa بیشتر نشود.



شکل ۷۶-۳ و ۷۷-۳

۷۷-۳ دو شفت توپر فولادی به چرخ‌داندهای متصل شده‌اند. این مجموعه، 12 kW را از موتور A به ماشین ایزلا D می‌دهد. سرعت موتور 1260 rpm است. اگر ماکزیمم تنش محاز برشی 55 MPa باشد، مطلوبست قطر: (الف) شفت AB , (ب) شفت CD .

۷۸-۳ یک شفت فولادی 150 kW را در سرعت 360 rpm انتقال می‌دهد. اگر $G = 77,2\text{ GPa}$, شفت توپری طرح کنید که ماکزیمم تنش در آن از 50 MPa و زاویه پیچش آن در طول $2,5\text{ m}$ از 3° بیشتر نشود.

۷۹-۳ شفت فولادی به طول $2,5\text{ m}$ و به قطر 30 mm با فرکанс 20 Hz می‌چرخد. اگر $G = 77,2\text{ GPa}$ و تنش محاز برشی 50 MPa باشد، ماکزیمم قدرتی را که شفت می‌تواند انتقال دهد بیاید. زاویه پیچش تباید از $7,5^\circ$ بیشتر شود.

۸۰-۳ یک شفت فولادی به قطر 38 mm و به طول $1,2\text{ m}$ برای انتقال 45 kW بین موتور و پمپ به کار رفته است. اگر $G = 77\text{ GPa}$, مطلوبست کمترین سرعت دوران شفت که به لای آن تنش برشی از 60 MPa و زاویه پیچش از 2° بیشتر نشود.

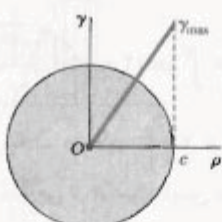
۸۱-۳ یک شفت توپر فولادی، به طول $1,5\text{ m}$ و به قطر 22 mm , قدرت $13,5\text{ kW}$ را انتقال می‌دهد. اگر $G = 77\text{ GPa}$ و تنش محاز برشی 30 MPa باشد، مینیمم سرعت شفت را بیاید. زاویه پیچش تباید از $3,5^\circ$ بیشتر شود.

۹-۳۰ تغییر شکل پلاستیک در شفت های دایره ای
 برای استنتاج فرمول های (۱۰-۲) و (۱۶-۳) که، به ترتیب، توزیع تنش و زاویه پیچش یک شفت دایره ای را تحت گشتاور T تعریف می دهند، از قانون هوک استفاده شد. اگر تنش در قسمتی از شفت از استقامت تسلیم بیشتر شود، با آن قسمت از ماده شکننده ای باشد که رابطه تنش - کرنش آن غیرخطی است، فرمول های مذکور به کار نمی روند، در این قسمت می خواهیم روش کلی تری را بدست آوریم و با آن توزیع تنش در یک شفت دایره ای، و گشتاور مورد نیاز برای ایجاد زاویه پیچش معنی را بیابیم.

در قسمت ۳-۳ هیچ رابطه خاصی را بین تنش - کرنش در نظر نگرفتیم، و ثابت کردیم که کرنش بر بشی لا بر حسب فاصله r از محور شفت به طور خطی تغییر می کند (شکل ۳۳-۳). با استفاده از این خاصیت، می نویسیم:

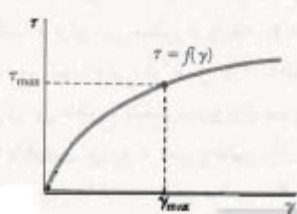
$$\gamma = \frac{r}{c} \gamma_{\max} \quad (4-3)$$

که در آن، c شعاع شفت است.

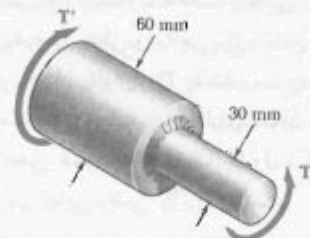


شکل ۳۳-۳

اگر ماکریسم مقدار تنش بر بشی معلوم باشد، نمودار τ را بر حسب r می توان رسم کرد. برای این منظور، ابتدا از نمودار تنش - کرنش بر بشی (شکل ۳۴-۳)، مقدار τ_{\max} را به دست می آوریم و این مقدار را در معادله (۴-۳) قرار می دهیم.



شکل ۳۴-۳



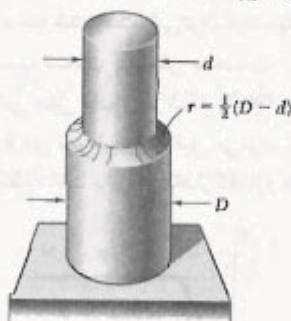
شکل ۳۶-۳ و ۸۷-۳

۸۷-۳ شفت پله ای نشان داده شده ۴۵ kW را انتقال می دهد. اگر تنش بر بشی مجاز در شفت 40 MPa و شعاع 2 mm باشد، کمترین سرعت مجاز شفت را بیابید.

۸۸-۳ گشتاور $T = 22 \text{ N.m}$ بر شفت پله ای نشان داده شده، که دارای گُرده کامل ربع دایره ای است، وارد شده است. اگر شفت $D = 25 \text{ mm}$ ، مطلوبست ماکریسم تنش بر بشی در شفت وقتی: (الف) $d = 23 \text{ mm}$ ، (ب) $d = 20 \text{ mm}$

۸۹-۳ در شفت پله ای نشان داده شده، که دارای گُرده کامل ربع دایره ای است، تنش مجاز بر بشی 80 MPa است. اگر شفت 2400 rpm و تنش مجاز بر بشی 50 MPa باشد، ماکریسم قدرتی را که شفت می تواند انتقال دهد بیابید.

۹۰-۳ در شفت پله ای نشان داده شده، که دارای گُرده کامل ربع دایره ای است، تنش مجاز بر بشی 80 MPa است. اگر شفت وارد کرد در صورتی که: (الف) $d = 26 \text{ mm}$ ، (ب) $d = 24 \text{ mm}$

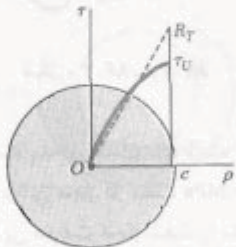


گُرده ربع دایره ای که به لایه

شفت بزرگتر می بینند

شکل ۳۶-۳ و ۸۸-۳ و ۸۹-۳

تش فرضی R_T را مدول شکست پیچشی می‌گویند. چون توزیع‌های فرضی خطی و واقعی برای تنش در شکل ۳۶-۳ باید مقدار یکسان را برای T_U بدتهند، مساحت‌هایی را که این توزیع‌ها مشخص می‌کنند باید دوازی ممان اینرسی یکسان نسبت به محور عمودی باشند. لذا، مدول شکست R_T همواره از تنش برشی نهایی واقعی τ_U بزرگتر است.



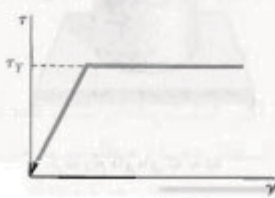
شکل ۳۶-۳

گاهی، توزیع تنش و گشتاور T متناظر با زاویه پیچش معین ϕ را می‌خواهیم. برای این‌منظور، از رابطه (۲-۳) استفاده می‌کنیم:

$$\gamma = \frac{\rho\phi}{L} \quad (2-3)$$

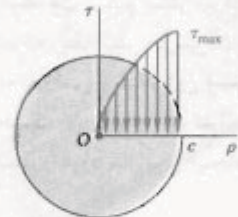
با ϕ و L معلوم، مقدار γ متناظر با هر مقدار معین ρ را می‌یابیم. با استفاده از نمودار تنش-کرنش، مقدار متناظر تنش برشی τ را می‌یابیم و τ را بر حسب ρ رسم می‌کنیم. با تعیین توزیع تنش برشی، گشتاور T را به طور تحلیلی با عددی می‌توان یافده است.

۱۰-۳۰ شفت‌های دایره‌ای الاستوپلاستیک
با بررسی حالت ایده‌آل شفت توبو‌دایره‌ای که از ماده الاستوپلاستیک ساخته شده است، می‌توان دید بهتری از رفتار پلاستیکی شفت تحت پیچش بدهد. نمودار تنش-کرنش برشی چنین ماده‌ای در شکل ۳۷-۳ نشان داده شده است. با استفاده از این نمودار، مانند قبلاً می‌توان توزیع تنش را در عرض یک مقطع شفت برای هر مقدار گشتاور T تعیین کرد.



شکل ۳۷-۳

سپس، برای هر مقدار ρ ، مقدار γ متناظر را از معادله (۴-۳) یا شکل ۳۳-۲ تعیین و تنش برشی τ متناظر با این مقدار γ را از شکل ۳۴-۲ می‌یابیم. با ترسیم τ بر حسب ρ ، توزیع تنش بدست می‌آید (شکل ۳۵-۳).



شکل ۳۵-۳

حال، می‌گوییم هنگام استنتاج معادله (۱-۳) در قسمت ۲-۲، هیچ رابطه خاصی را بین تنش و کرنش برشی در نظر نگرفتیم. لذا، برای تعیین گشتاور T متناظر با توزیع تنش برشی در شکل ۳۵-۳، از معادله (۱-۳) استفاده می‌کنیم. یک جزء حلقه‌ی به شعاع ρ و به ضخامت $d\rho$ را در نظر می‌گیریم. مساحت این جزء $dA = 2\pi\rho d\rho$ ، $dA = 2\pi\rho d\rho$ را در معادله ۱-۳ قرار می‌دهیم و می‌نویسیم:

$$T = \int_{\rho}^c \rho \tau (2\pi\rho d\rho) \quad (26-3)$$

$$T = 2\pi \int_{\rho}^c \rho^2 \tau d\rho \quad (26-3)$$

که در آن τ تابعی از ρ است. این تابع در شکل ۳۵-۳ وسم شده است.

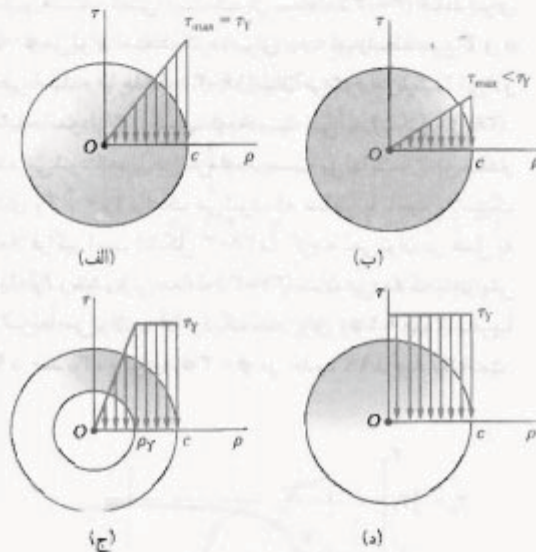
اگر τ تابع معلومی از ρ باشد، از معادله (۴-۳) برای تعیین τ بر حسب ρ می‌توان استفاده کرد، و انتگرال (۲۶-۳) را به طور تحلیلی محاسبه کرد. در غیر این صورت، گشتاور T را با انتگرال‌گیری عددی باید محاسبه کرد. گفتنی است که انتگرال (۲۶-۳) ممان اینرسی سطح بین منحنی توزیع تنش و محور افقی در شکل ۳۵-۳ نسبت به محور عمودی است. گشتاور نهایی T_U که باعث شکست شفت می‌شود عامل تعیین کننده است. این مقدار را از تنش برشی نهایی τ_{max} و محاسبات می‌توان یافت و برای این منظور از رابطه $\tau_{max} = \tau_U c$ و محاسبات بالا استفاده می‌شود. ولی، در عمل T_U به طور آزمایشی تعیین می‌شود. برای این منظور، شفت نمونه را تحت پیچش قرار می‌دهند تا بشکند. با فرض توزیع فرضی خطی برای تنش، از معادله (۹-۳) برای تعیین ماکزیمم تنش برشی R_T استفاده می‌شود:

$$R_T = \frac{T_U c}{f} \quad (27-3)$$

که در آن T_y ماکریم گشتاور الاستیک است. باید توجه داشت که وقتی $\rho \leq c$ به صفر نزدیک می‌شود، گشتاور به مقدار حدی زیر نزدیک می‌شود:

$$T_p = \frac{4}{3} T_y \quad (23-3)$$

این گشتاور را، که متناظر با تغییر شکل کاملاً پلاستیک است (شکل ۲۸-۳ د)، گشتاور پلامتیک شفت می‌گویند. گفتنی است که معادله (۲۳-۳) فقط برای یک شفت تویرهای الاستیک پلاستیک صحت دارد.



شکل ۲۸-۳

پس از شروع تسلیم، توزیع گشتاور در عرض مقطع همچنان خطی است. لذا، معادله (۲-۳) به کار می‌رود و از آن برای تعیین شعاع ρ_y هسته الاستیک بر حسب زاویه پیچش ϕ می‌توان استفاده کرد. اگر ϕ به اندازه کافی بزرگ باشد و باعث تغییر شکل پلاستیک شود، برای تعیین شعاع ρ_y هسته الاستیک، زوایه ϕ را در معادله (۲-۳) برابر با کرنش تسلیم γ قرار می‌دهیم و مقدار متناظر ρ_y می‌یابیم:

$$\rho_y = \frac{L\gamma}{\phi} \quad (34-3)$$

زاویه پیچش را در شروع تسلیم، یعنی وقتی $c = \rho_y$ ، با ϕ_y نشان می‌دهیم. با قرار دادن $\phi_y = \phi$ و $c = \rho_y$ در معادله (۳۴-۳)، می‌یابیم:

$$c = \frac{\rho_y \gamma}{\phi_y} \quad (35-3)$$

تا وقتی تنش برشی τ از استقامت تسلیم τ_y بیشتر نشده است، قانون هوک به کار می‌رود و توزیع تنش در عرض مقطع شفت به صورت خطی است (شکل ۲۸-۳ الف). در این حالت، τ_{max} از معادله (۹-۳) بدست می‌آید:

$$\tau_{max} = \frac{Tc}{J} \quad (9-3)$$

با افزایش گشتاور، τ_{max} به مقدار τ_y می‌رسد (شکل ۲۸-۳ ب). با جایگذاری این مقدار در معادله (۹-۳) و با حل مقدار متناظر T ، مقدار T_y گشتاور در شروع تسلیم بدست می‌آید:

$$T_y = \frac{J}{c} \tau_y \quad (28-3)$$

این مقدار را ماکریم گشتاور الاستیک می‌گویند. برای یک شفت تویرهای پلاستیک، $\tau_y = \frac{1}{4} \pi c^2 \tau$. درنتیجه،

$$T_y = \frac{1}{4} \pi c^2 \tau_y \quad (29-3)$$

با افزایش بیشتر گشتاور، یک ناحیه پلاستیک به شعاع ρ_y در پرامون هسته الاستیک به وجود می‌آید (شکل ۲۸-۳ ج). در این ناحیه پلاستیک، تنش به طور یکنواخت و برابر با τ_y است؛ در حالی که تنش در هسته الاستیک بر حسب ρ به صورت خطی زیر تغییر می‌کند:

$$\tau = \frac{\tau_y}{\rho_y} \rho \quad (30-3)$$

با افزایش T ، ناحیه پلاستیک گسترش می‌یابد و تغییر شکل کاملاً پلاستیک می‌شود (شکل ۲۸-۳ د). از معادله (۲۶-۳) برای تعیین مقدار گشتاور T متناظر با شعاع ρ_y هسته الاستیک استفاده می‌شود. چون τ در گستره $\rho_y \leq \rho \leq c$ می‌شود و در گستره $\rho_y \leq \rho \leq c$ برابر با τ_y است، می‌نویسیم:

$$T = 2\pi \int_{\rho_y}^{c} \rho^2 \left(\frac{\tau_y}{\rho_y} \rho \right) d\rho + 2\pi \int_{\rho_y}^c \rho^2 \tau_y d\rho \\ = \frac{1}{3} \pi \rho_y^3 \tau_y + \frac{2}{3} \pi c^3 \tau_y - \frac{2}{3} \pi \rho_y^3 \tau_y$$

$$T = \frac{2}{3} \pi c^3 \tau_y \left(1 - \frac{\rho_y^3}{c^3} \right) \quad (31-3)$$

با توجه به معادله (۲۹-۳)،

$$T = \frac{4}{3} T_y \left(1 - \frac{\rho_y^3}{c^3} \right) \quad (32-3)$$

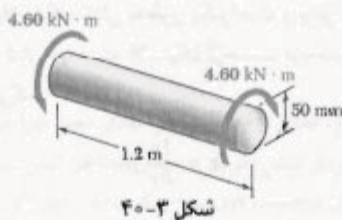
در آن قسمت دارای مقدار ثابت τ است. لذا، معادله (۱-۳) به صورت زیر در می‌آید:

$$T = \rho A \tau$$

که در آن ρ شعاع متوسط لوله و A مساحت مقطع عرضی آن است. از این رو، تنش برشی با گشتاور مناسب است و τ را می‌توان از T به سهولت تعیین کرد. از طرف دیگر، کرنش برشی γ را از معادله (۲-۳) و از ϕ و L اندازه‌گیری شده در قسمت لوله‌ای نمونه می‌توان بدست آورد.

شکل ۲-۸

یک شفت توپر دایره‌ای، به طول ۱,۲ m و به قطر ۵۰ mm، در دو انتهای خود تحت گشتاور T قرار دارد (شکل ۴۰-۳). با فرض اینکه شفت از ماده الاستوپلاستیک با استقامت تسلیم برشی 150 MPa و با مدول صلابت 77 GPa ساخته شده است، مطلوبست (الف) شعاع هسته الاستیک، (ب) زاویه پیچش شفت.



(الف) شعاع هسته الاستیک. ابتدا، گشتاور T_y را در شروع تسلیم می‌یابیم. برای $c = 25 \text{ mm}$

$$J = \frac{1}{4} \pi c^4 = \frac{1}{4} \pi (25 \times 10^{-3} \text{ m})^4 = 614 \times 10^{-12} \text{ m}^4$$

با توجه به $\tau_y = 150 \text{ MPa}$ و از معادله ۲۸-۳

$$T_y = \frac{J \tau_y}{c} = \frac{(614 \times 10^{-12} \text{ m}^4)(150 \times 10^6 \text{ Pa})}{25 \times 10^{-3} \text{ m}} = 3,68 \text{ kN.m}$$

* معادله (۴۰-۳) را برای هر ماده پهکش خواری که دارای نقطه تسلیم کاملاً مشخص است می‌توان به کار برد، زیرا این معادله بدون توجه به شکل نمودار تنش-کرنش پس از نقطه تسلیم استنتاج شده است.

** برای به حداقل رساندن امکان شکست ناشی از گمایش، نمونه باید طوری باشد که طول قسمت لوله‌ای آن بیشتر از قطرش باشد.

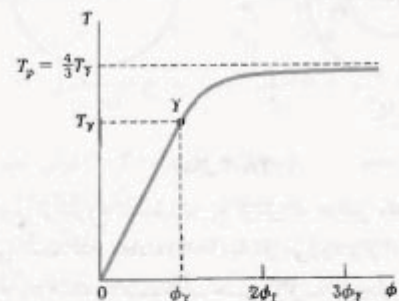
از تقسیم (۳۶-۳) بر (۳۵-۳)، رابطه زیر را می‌یابیم * :

$$\frac{\rho_y}{c} = \frac{\phi_y}{\phi} \quad (36-3)$$

با جایگذاری عبارت ρ_y/c در معادله (۳۲-۳)، گشتاور T به صورت تابعی از زاویه پیچش ϕ بدست می‌آید:

$$T = \frac{4}{3} T_y \left(1 - \frac{1}{4} \frac{\phi_y^2}{\phi^2} \right) \quad (37-3)$$

که در آن T_y و ϕ_y ، به ترتیب، گشتاور و زاویه پیچش در شروع تسلیم هستند. گفتنی است که از معادله (۳۷-۳) فقط برای $\phi < \phi_y$ می‌توان استفاده کرد. برای $\phi > \phi_y$ ، رابطه بین T و ϕ خطی است و با معادله (۱۶-۳) بیان می‌شود. با ترکیب این دو معادله، نمودار T بر حسب ϕ بدست می‌آید (شکل ۳۹-۳). دیده می‌شود که، با افزایش ϕ به سمت بینهایت، T به مقدار حدی $T_p = \frac{4}{3} T_y$ نزدیک می‌شود، که متناظر با ناحیه پلاستیک کاملاً فراگیر است (شکل ۳۸-۳). گرچه نمی‌توان در عمل به مقدار T_p رسید، ولی معادله (۳۷-۳) نشان می‌دهد که با افزایش ϕ سریعاً می‌توان به آن نزدیک شد. برای $\phi = 2\phi_y$ ، T تقریباً ۹۷ درصد T_p و برای $\phi = 3\phi_y$ در حدود ۹۹ درصد T_p است.



شکل ۳۹-۳

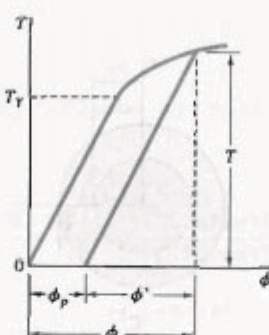
نمودار T بر حسب ϕ برای ماده ایده‌آل الاستوپلاستیک (شکل ۳۹-۳) با نمودار تنش-کرنش برشی آن ماده (شکل ۳۷-۳) خیلی تفاوت دارد. لذا، نمودار تنش-کرنش برشی یک ماده واقعی را نمی‌توان مستقیماً از آزمایش پیچش یک هیله توپر دایره‌ای که از آن ماده ساخته شده است بدست آورد. ولی اگر نمونه آزمایشی دارای یک قسمت لوله‌ای نازک دایره‌ای باشد، از آزمایش پیچش آن می‌توان یک نمودار نسبتاً دقیق بدست آورد **. در حقیقت، می‌توان فرض کرد که تنش برشی

در این قسمت خواهید دید که مقدار نهایی تنش معمولاً صفر نیست و تنش‌های باقیمانده مثبت یا منفی در اغلب نقاط وجود دارد. گفتنی است که، هنگام باربرداری، تنش برشی نیز مانند تنش قائم همچنان کاهش می‌یابد و به مقدار برابر با مقدار ماکریم در C منهای دو برابر استقامات تسلیم ماده می‌رسد.

مجددآ، ماده ایده‌آل استوپلیاستیک را که نمودار تنش-کرنش برشی آن در شکل ۳۷-۳ نشان داده شده است، در نظر می‌گیریم. تا وقتی تنش بیش از ϕ_2 کاهش نیافته است، رابطه بین ϕ و T را در هر نقطه شفت به صورت خطی می‌گیریم و برای تعیین زاویه پیچش شفت، هنگام کاهش گشتاور تا صفر، از معادله (۱۶-۳) استفاده می‌کنیم. به این ترتیب، باربرداری شفت با یک خط مستقیم در نمودار T - ϕ نشان داده می‌شود (شکل ۳۷-۳). پس از حذف گشتاور، زاویه پیچش به صفر نمی‌رسد. یعنی، بارگذاری و باربرداری شفت باعث ایجاد یک تغییر شکل دائمی می‌شود که با زاویه زیر مشخص می‌شود:

$$\phi_p = \phi' - \phi \quad (38-3)$$

در رابطه بالا، زوایای ϕ و ϕ' ، به ترتیب، برای فاز بارگذاری و باربرداری است (ϕ از معادله ۳۶-۳ و ϕ' از معادله ۱۶-۳ بدست می‌آید).



شکل ۳۷-۳

باکلایرد اصل ترکیب (قسمت ۲۰-۲)، تنش‌های باقیمانده را در یک ماده استوپلیاستیک (قسمت ۲۰-۲)، تنش‌های باقیمانده این منظور، تنش‌های ناشی از گشتاور T را هنگام بارگذاری، و تنش‌های ناشی از گشتاور مساوی و متضاد با T را هنگام باربرداری شفت در نظر می‌گیریم. تنش‌های گروه اول، رفتار استوپلیاستیک ماده را ضمن بارگذاری نشان می‌دهند (شکل ۴۱-۳-الف).

با حل ρ_y/c از معادله (۳۶-۳) و با جایگذاری مقدار T و ϕ ، می‌توسیم:

$$\left(\frac{\rho_y}{c}\right)_T = \phi = \frac{T}{T_y} = \phi = \frac{3(4,6^{\circ} \text{ kN.m})}{3,68 \text{ kN.m}} = 0,25^{\circ}$$

$$\frac{\rho_y}{c} = 0,63^{\circ} (25 \text{ mm}) = 0,63^{\circ} \text{ mm}$$

(ب) زاویه پیچش. ابتدا، زاویه پیچش ϕ را در شرط تسلیم از معادله (۱۶-۳) می‌یابیم:

$$\phi_y = \frac{T_y L}{JG} = \frac{(3,68 \times 10^{-7} \text{ N.m})(1,2 \text{ m})}{(614 \times 10^{-9} \text{ m}^4)(77 \times 10^9 \text{ Pa})} = 93,4 \times 10^{-7} \text{ rad}$$

با حل ϕ از معادله (۳۶-۳) و با جایگذاری مقدار ρ_y/c و ϕ_y ، می‌توسیم:

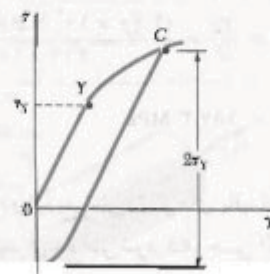
$$\phi = \frac{\phi_y}{\rho_y/c} = \frac{93,4 \times 10^{-7} \text{ rad}}{0,63^{\circ}} = 148,3 \times 10^{-7} \text{ rad}$$

با

$$\phi = (148,3 \times 10^{-7} \text{ rad}) \left(\frac{36^{\circ}}{2\pi \text{ rad}}\right) = 8,05^{\circ}$$

۱۱-۳-۱ تنش‌های باقیمانده در شفت‌های دایره‌ای

در دو قسمت قبل دیدیم در شفتی که تحت تأثیر گشتاور نسبتاً بزرگی است ناحیه پلاستیک ایجاد می‌شود، و تنش برشی ۲ در هر نقطه از ناحیه پلاستیک را از نمودار تنش-کرنش برشی شکل ۳۴-۳ می‌توان بدست آورد. با حذف گشتاور، کاهش تنش و کرنش در انتداد یک خط راست روی می‌دهد (شکل ۴۱-۳).



شکل ۴۱-۳

شفت ضمن حذف گشتاور از معادله (۴-۳) بدست می‌آید. با جایگذاری داده‌های زیر:

$$T = ۴,۶۰ \times ۱۰^۷ \text{ N.m}$$

$$L = ۱,۲ \text{ m}$$

$$G = ۷۷ \times ۱۰^۹ \text{ Pa}$$

و مقدار $m^3 = ۶۱۴ \times ۱۰^{-۳} \text{ m}^3 = ۶۱۴ \times ۱۰^{-۳} \text{ m}^3$, که در حل مثال ۸-۳ بدست آمد، نتیجه می‌شود:

$$\phi' = \frac{TL}{JG} = \frac{(۴,۶۰ \times ۱۰^۷ \text{ N.m})(۱,۲ \text{ m})}{(۶۱۴ \times ۱۰^{-۳} \text{ m}^3)(۷۷ \times ۱۰^۹ \text{ Pa})}$$

$$= ۱۱۶,۸ \times ۱۰^{-۷} \text{ rad}$$

$$= (۱۱۶,۸ \times ۱۰^{-۷} \text{ rad}) \frac{۳۶۰^\circ}{\frac{\pi}{۲} \text{ rad}} = ۶,۶۹^\circ$$

بنابراین، پیچش دائم چنین است:

$$\phi_p = \phi - \phi' = ۸,۵۰^\circ - ۶,۶۹^\circ = ۱,۸۱^\circ$$

(ب) تنش‌های باقیمانده. از مثال ۸-۳ دیدیم که استقامت تسلیم و شعاع هسته الاستیک متناظر با گشتاور داده شده، به ترتیب، عبارتند از $\tau_y = ۱۵۰ \text{ MPa}$ و $r_y = ۱۵,۸ \text{ mm}$. توزیع تنش در شفت بارگذاری شده مانند شکل ۴۲-۳ الف است.

توزیع تنش‌های ناشی از گشتاور مخالف برای باربرداری شفت است، به صورت خطی و مانند شکل ۴۲-۳ ب است. تنش ماکزیمم در فاز باربرداری از معادله (۹-۳) بدست می‌آید:

$$\tau'_{\max} = \frac{Tc}{J} = \frac{(۴,۶۰ \times ۱۰^۷ \text{ N.m})(۲۵ \times ۱۰^{-۳} \text{ m})}{۶۱۴ \times ۱۰^{-۳} \text{ m}^3}$$

$$= ۱۸۷,۳ \text{ MPa}$$

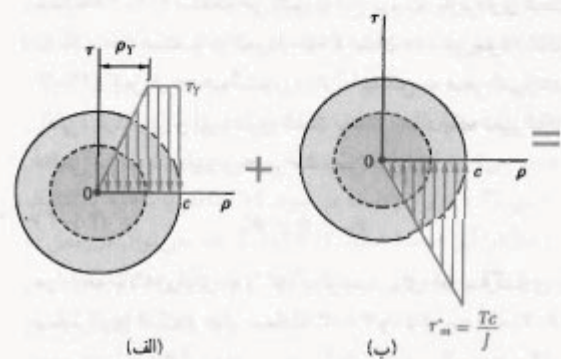
با ترکیب این دو توزیع تنش، تنش‌های باقیمانده را در شکل ۴۲-۳ ج می‌یابیم. دیده می‌شود که، حتی اگر تنش‌های معکوس از استقامت تسلیم ۲ بیشتر شوند، فرض توزیع خطی این تنش‌ها صحت دارد زیرا از ۲ بیشتر نشده‌اند.

تنش در فاز باربرداری \sim متوجه

باربرداری نشان می‌دهند (شکل ۴۲-۳ ب). از مجموع این دو گروه تنش، توزیع تنش‌های باقیمانده در شفت بدست می‌آید (شکل ۴۲-۳ ج).

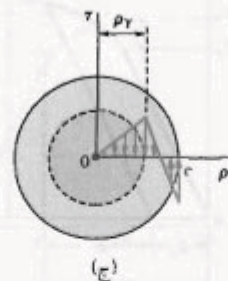
از شکل ۴۲-۳ ج دیده می‌شود که تنش‌های باقیمانده با تنش‌های اولیه هم‌سو هستند، و سایر تنش‌ها دارای سوی مخالف‌اند. این موضوع بدیهی است زیرا پس از حذف گشتاور، طبق معادله (۱-۱)، رابطه زیر برقرار است:

$$\int \rho (\tau dA) = ۰ \quad (۴۲-۳)$$



(الف)

(ب)



(ج)

شکل ۴۲-۳

مثال ۹-۳

برای شفت مثال ۸-۳، مطلوب است: (الف) پیچش دائم، (ب) توزیع تنش‌های باقیمانده، پس از حذف گشتاور $۴,۶۰ \text{ kN.m}$ ، (الف) پیچش دائم از مثال ۸-۳، زاویه پیچش متناظر با گشتاور داده شده برابر است با $۸,۵^\circ - \phi$. زاویه ϕ و پیچش

وارد می شود و تدریجاً مقدار آن افزایش می یابد. مطلوبست مقدار T و زاویه پیچش متناظر: (الف) وقتی تسليم برای اولین بار روی می دهد، (ب) وقتی تغییر شکل کاملاً پلاستیک شده است.

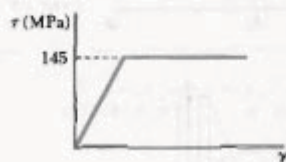
حل

خواص هندسی مقطع عرضی عبارتند از:

$$c_1 = \frac{1}{4}(\Delta A \text{ mm}) = 14 \text{ mm} \quad c_2 = \frac{1}{4}(\Delta A \text{ mm}) = 29 \text{ mm}$$

$$J = \frac{1}{4}\pi(c_1^4 - c_2^4) = \frac{1}{4}\pi[(29 \text{ mm})^4 - (14 \text{ mm})^4]$$

$$= 906.3 \times 10^{-7} \text{ mm}^7$$



الف. شروع تسليم. برای $\tau_{max} = \tau_y = 145 \text{ MPa}$

$$T_y = \frac{\tau_y J}{c_1} = \frac{(145 \text{ MPa})(906.3 \times 10^{-7} \text{ mm}^7)}{29 \text{ mm}}$$

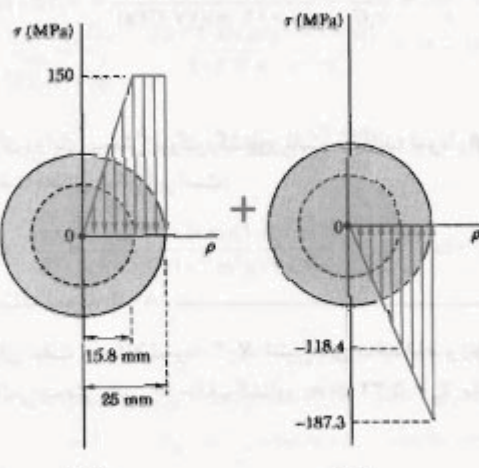
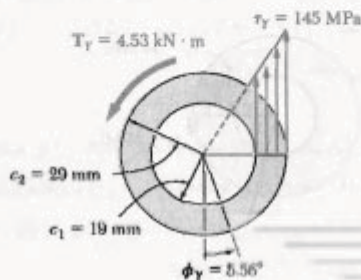
$$T_y = 4.53 \text{ kN.m} \quad \blacktriangleleft$$

با قرار دادن $c_2 = \rho = 29 \text{ mm}$ در معادله (۲-۳) و با حل ϕ_y ، مقدار ϕ_y را می یابیم:

$$\phi_y = \frac{\gamma_y L}{c_1} = \frac{\tau_y L}{c_1 G} = \frac{(145 \text{ MPa})(150 \text{ mm})}{(29 \text{ mm})(77 \text{ GPa})}$$

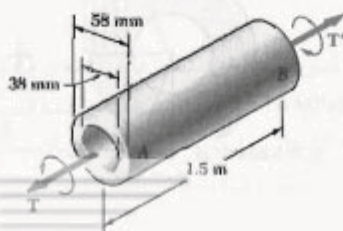
$$= 0.56^\circ \text{ rad} \quad \blacktriangleleft$$

$$\phi_y = 0.56^\circ \quad \blacktriangleleft$$



شکل ۴۴-۳

مسئله نمونه ۷-۳
شفت AB از فولاد متوسط الاستوپلاستیک ($G = 77 \text{ GPa}$) و ساخته شده است. گشتاور T بر شفت



RuEB

$$\phi_f = \frac{\gamma Y L}{c_i} = \frac{\tau_Y L}{c_i G} = \frac{(145 \text{ MPa})(1,5 \text{ m})}{(0,019 \text{ m})(77 \text{ GPa})} = 0,150 \text{ rad}$$

$$\phi_f = 8,59^\circ \blacktriangleleft$$

برای زوایای پیچش بزرگتر، گشتاور ثابت می‌ماند؛ نمودار ϕ - T - θ شفت مطابق شکل زیر است:

ب. تغییر شکل کاملاً پلاستیک. وقتی منطقه پلاستیک به سطح داخلی می‌رسد، تنش‌ها دارای توزیع یکنواخت‌اند. با استفاده از معادله (۲-۳)

$$\begin{aligned} T_p &= 2\pi r_Y \int_{c_i}^{c_f} \rho^3 d\rho = \frac{1}{4}\pi r_Y (c_f^4 - c_i^4) \\ &= \frac{1}{4}\pi (145 \text{ MPa})[(0,029 \text{ m})^4 - (0,019 \text{ m})^4] \\ T_p &= 5,32 \text{ kN.m} \blacktriangleleft \end{aligned}$$

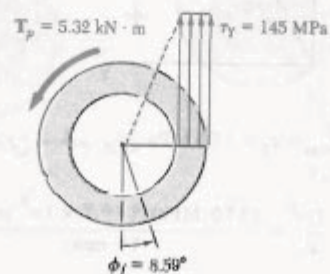
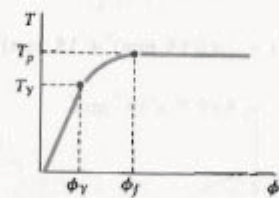
مسئله نمونه ۸-۳

برای شفت مسئله نمونه ۷-۳، تنش‌های باقیمانده و زاویه دانمی پیچش را پس از حذف گشتاور $T_p = 5,32 \text{ kN.m}$ باید.

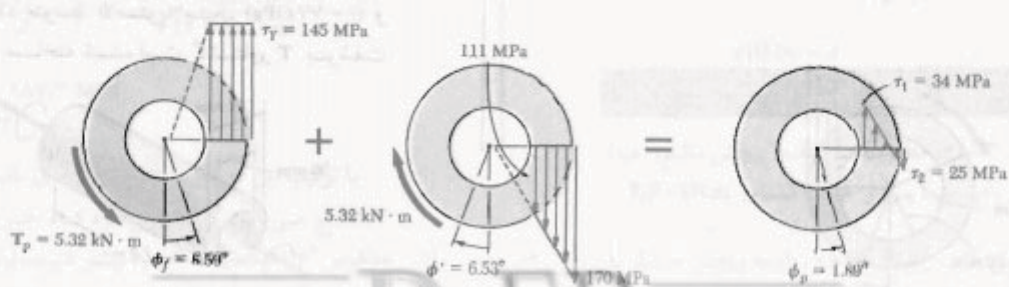
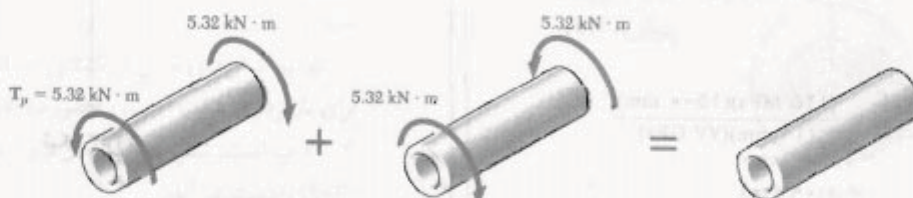
حل

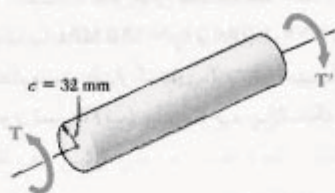
در مسئله نمونه ۷-۳ دیدیم که وقتی منطقه پلاستیک ابتدا به سطح داخلی می‌رسد، گشتاور وارد T_p و زاویه پیچش ϕ_f به ترتیب، برابر با 37 kN.m و $8,59^\circ$ بود. این مقادیر در شکل (۱) نشان داده شده‌اند.

باربرداری الاستیک. با اعمال گشتاور $5,32 \text{ kN.m}$ در سوی نشان داده شده در شکل (۲)، شفت را باربرداری می‌کنیم. در این حالت، رفتار ماده خطی است.



وقتی تسلیم ابتدا در سطح داخلی روی می‌دهد، تغییر شکل کاملاً پلاستیک است؛ از معادله (۲-۳)

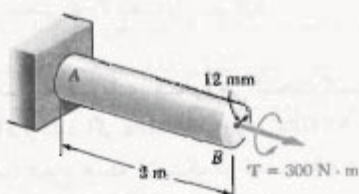




شکل ۹۵-۳

۹۶-۳ برای شفت و بارگذاری مسئله ۹۵-۳، زاویه پیچش را در طول ۱,۵ m شفت بیابید.

۹۷-۳ شفت AB از ماده الاستوپلاستیک با $\tau_y = 90 \text{ MPa}$ و $G = 20 \text{ GPa}$ ساخته شده است. مطلوبست: (الف) شعاع هسته الاستیک شفت، (ب) زاویه پیچش در سر B.



شکل ۹۷-۳

۹۸-۳ یک شفت توپر دایره‌ای به قطر ۱۸ mm از ماده الاستوپلاستیک ($\tau_y = 140 \text{ MPa}$ و $G = 20 \text{ GPa}$) ساخته شده است. برای طول ۱,۲ m، ماکریم تنش برشی و زاویه پیچش ناشی از گشتاور 200 N.m را بیابید.

۹۹-۳ یک میله توپر دایره‌ای از ماده الاستوپلاستیک ساخته شده است. اگر گشتاور و زاویه پیچش را در آغاز تسلیم با $\tau_y = 20 \text{ MPa}$ نشان دهیم، مطلوبست زاویه پیچش در صورتی که گشتاور تا: (الف) $T_y = 1/1 T_y$ ، (ب) $T_y = 1/25 T_y$ ، (ج) $T_y = 1/3 T_y$ افزایش بابد.

۱۰۰-۳ یک شفت توپر دایره‌ای به قطر ۳۰ mm از ماده الاستوپلاستیک ($\tau_y = 140 \text{ MPa}$ و $G = 20 \text{ GPa}$) ساخته شده است. برای طول ۰,۵ شفت، ماکریم تنش برشی و زاویه پیچش ناشی از گشتاور 800 N.m را بیابید.

با توجه به مقدار c_r ، c_t و J از مسئله نمونه ۷-۳، داریم:

$$\tau_{\max} = \frac{T c_r}{J} = \frac{(0,32 \text{ kN.m})(0,029 \text{ m})}{906,3 \times 10^{-4} \text{ m}^4} = 110 \text{ MPa}$$

$$\tau_{\min} = \tau_{\max} \frac{c_t}{c_r} = (110 \text{ MPa}) \frac{19 \text{ mm}}{29 \text{ mm}} = 111 \text{ MPa}$$

$$\phi' = \frac{T L}{J G} = \frac{(0,32 \text{ kN.m})(1,5 \text{ m})}{(906,3 \times 10^{-4} \text{ m}^4)(20 \text{ GPa})} = 0,114 \text{ rad} = 5,53^\circ$$

تشن‌های باقیمانده و پیچش دائمی نتایج بارگذاری (شکل ۱) و باربرداری (شکل ۲) را با هم ترکیب می‌کنیم (شکل ۳)، و تنش‌های باقیمانده و زاویه پیچش دائمی ϕ' را می‌بایسیم.

مسائل

۹۱-۳ شفت توپری به قطر ۵۰ mm از فولاد متوسط الاستوپلاستیک ($\tau_y = 140 \text{ MPa}$) ساخته شده است. ماکریم تنش برشی و شعاع هسته الاستیک را بر اثر اعمال گشتاورهای زیر بیابید: (الف) 3 kN.m ، (ب) 4 kN.m .

۹۲-۳ شفت توپری به قطر ۳۸ mm از فولاد متوسط الاستوپلاستیک ($\tau_y = 145 \text{ MPa}$) ساخته شده است. ماکریم تنش برشی و شعاع هسته الاستیک را بر اثر اعمال گشتاورهای زیر بیابید: (الف) $1,2 \text{ kN.m}$ ، (ب) $1,8 \text{ kN.m}$.

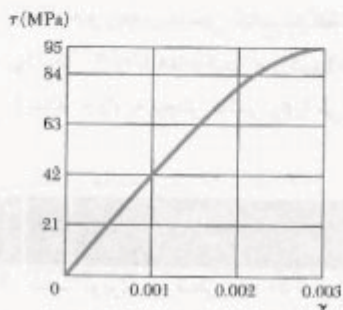
۹۳-۳ گیره کاغذی فولادی با استقامش را می‌توان با اعمال گشتاور 60 N.m چندین بار پیچاند. اگر قطر سیم گیره کاغذی 9 mm باشد، مقدار تقریبی تنش تسليم فولاد را بیابید.

۹۴-۳ میله توپری به قطر ۳۰ mm از ماده الاستوپلاستیک ($\tau_y = 25 \text{ MPa}$) ساخته شده است. اگر هسته الاستیک میله به قطر 25 mm باشد، مقدار گشتاور وارد بر میله را بیابید.

۹۵-۳ شفت توپر دایره‌ای نشان داده شده از فولاد الاستوپلاستیک ($\tau_y = 140 \text{ MPa}$) ساخته شده است. مطلوبست مقدار T گشتاور واره و وقتی منطقه بلاستیک (الف) به عمق 16 mm است. (ب) به عمق 24 mm است.

۱۰۵-۳ با در نظر گرفتن شفت به طور جزئی پلاستیک در شکل ۳۸-۳، معادله (۳۲-۳) را با توجه به این موضوع استنتاج کنید که انگرال (۲۶-۳) معان دوم مقطع زیر منحنی ۳-۲ را نسبت به محور ۲ نشان می‌دهد.

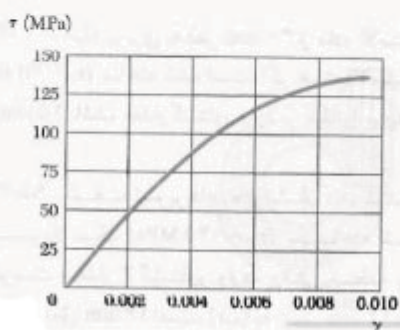
۱۰۶-۳ میله برنجی توری بر به قطر 30 mm تحت گشتاوری قرار دارد که در آن تنش برشی ماکریسم 95 MPa را ایجاد می‌کند. با استفاده از نمودار ۷-۲ نشان داده شده مطلوبست: (الف) مقدار گشتاور، (ب) زاویه پیچش در طول 6 m از میله.



شکل ۱۰۶-۳ و ۱۰۷-۳ م

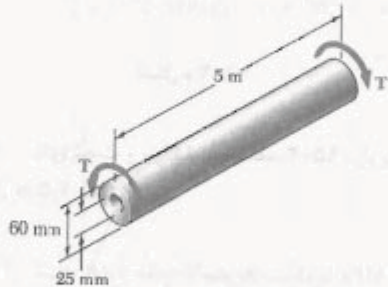
۱۰۷-۳ میله برنجی توری بر به قطر 24 mm و به طول 75 mm تحت زاویه 10° می‌بیند. با استفاده از نمودار ۷-۲ نشان داده شده، مطلوبست: (الف) مقدار گشتاور وارد بر میله، (ب) ماکریسم تنش برشی در میله.

۱۰۸-۳ میله آلومینیومی توری بر به قطر 40 mm تحت گشتاوری قرار دارد که در آن کرنش برشی ماکریسم 100 A را ایجاد می‌کند. با استفاده از نمودار ۷-۲ نشان داده شده، مطلوبست: (الف) مقدار گشتاور وارد، (ب) زاویه پیچش در طول 70 mm از میله.



شکل ۱۰۸-۳ م

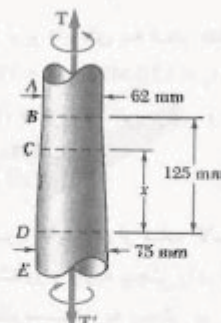
۱۰۱-۳ شفت توخانی نشان داده شده از فولاد استوپلاستیک با $G = 77\text{ GPa}$ و $\tau_y = 145\text{ MPa}$ ساخته شده است. مطلوبست مقدار گشتاور T را زاویه پیچش متناظر: (الف) در شروع تسلیم، (ب) وقتی ناحیه پلاستیک به عمق 10 mm است.



شکل ۱۰۱-۳ م

۱۰۲-۳ در مسئله ۱۰۱-۳، مطلوبست: (الف) زاویه پیچش که به ازای آن شفت کاملاً پلاستیک می‌شود، (ب) مقدار گشتاور متناظر. منحنی ϕ - T شفت رارسم کنید.

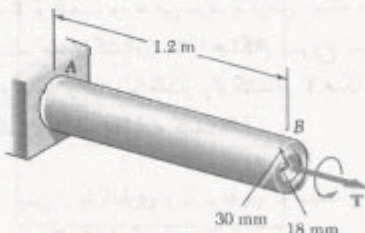
۱۰۳-۳ میله فولادی سخروطی تحت گشتاور $T = 85\text{ N.m}$ قرار دارد. اگر $G = 77\text{ GPa}$ و $\tau_y = 145\text{ MPa}$ باشد، مطلوبست: (الف) شاعع هسته الامتیک در قسمت AB شفت، (ب) طول قسمت CD که کاملاً الامتیک می‌باشد.



شکل ۱۰۳-۳ م

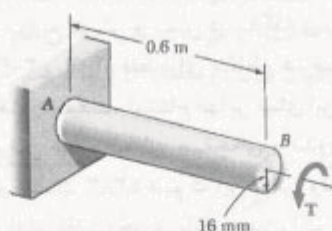
۱۰۴-۳ در مسئله ۱۰۳-۳ اگر گشتاورها آهسته افزایش یابند، مطلوبست: (الف) مقدار ماکریسم گشتاور T که می‌توان بر شفت وارد کرد، (ب) طول قسمت CD که کاملاً الامتیک می‌باشد

۱۱۳-۳ شفت توخالی AB از فولاد الاستوپلاستیک به طور آهسته افزایش می‌باید تا اینکه منطقه پلاستیک ایتدی به سطح داخلی می‌رسد؛ سپس، گشتاور حذف می‌شود. مطلوب است: (الف) ماکریم تنش برشی باقیمانده، (ب) زاویه پیچش دائمی شفت.



شکل ۱۱۳-۳

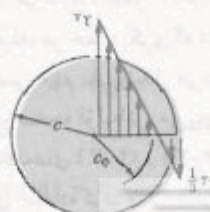
۱۱۴-۳ شفت توپر نشان داده شده از فولاد الاستوپلاستیک ($G = 77 \text{ GPa}$) و $\tau_y = 145 \text{ MPa}$) ساخته شده است. گشتاور T افزایش می‌باید تا اینکه شعاع هسته الاستیک به ۶ mm می‌رسد. ماکریم تنش برشی باقیمانده را در شفت پس از حذف گشتاور T بیابید.



شکل ۱۱۴-۳

۱۱۵-۳ در مسئله ۱۱۰-۳، زاویه پیچش دائمی شفت را بیابید.

۱۱۶-۳ گشتاور T بر میله توپری از جنس ماده الاستوپلاستیک وارد می‌شود تا میله به طور کامل پلاستیک



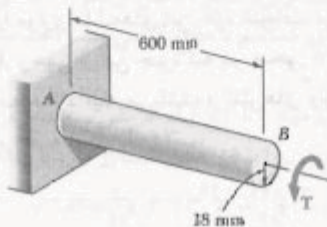
شکل ۱۱۶-۳

۱۱۰-۳ منحنی شکل م ۱۱۰-۸-۳ را با رابطه تقریبی زیر می‌توان بیان کرد:

$$\tau = 27.8 \times 10^{11} \gamma - 1.390 \times 10^{11} \gamma^2$$

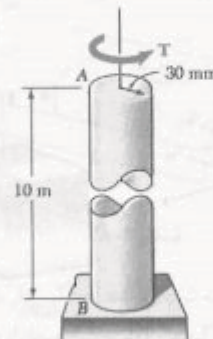
با استفاده از این رابطه و معادله‌های (۲-۳) و (۲۶-۳)، مسئله ۱۱۰-۳ را حل کنید.

۱۱۰-۴ شفت توپر دایره‌ای AB از فولاد الاستوپلاستیک ($G = 77/2 \text{ GPa}$) و $\tau_y = 145 \text{ MPa}$) ساخته شده است. گشتاور T افزایش می‌باید تا اینکه شعاع هسته الاستیک به ۶ mm می‌رسد. ماکریم تنش برشی باقیمانده را در شفت پس از حذف گشتاور T بیابید.



شکل ۱۱۰-۴

۱۱۱-۳ مته دایره‌ای توپر AB از فولاد الاستوپلاستیک ($G = 77 \text{ GPa}$) و $\tau_y = 190 \text{ MPa}$) ساخته شده است. اگر گشتاور $T = 8475 \text{ N.m}$ بر میله وارد و سپس حذف شود، ماکریم تنش برشی باقیمانده را در میله بیابید.

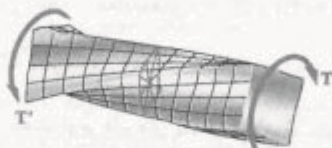


شکل ۱۱۱-۳

۱۱۲-۳ در مسئله ۱۱۱-۳، زاویه پیچش دائمی میله را بیابید.

PNUEB

فاصله از محور میله به صورت خطی تغییر می‌کند و در گوشه‌های مقطع عرضی به بیشترین مقدار می‌رسد. در اینجا خواهید دید که تنش برآوردی در این نقاط صفر است.



شکل ۴۵-۳

جزء مکعبی کوچکی را در گوش مقطع عرضی میله چهارگوشی که تحت پیچش است در نظر گرفته و محورهای مختصات را موازی با لبه‌های آین جزء انتخاب می‌کنیم (شکل ۴۶-۳). وجهی از این جزء که بر محور از عمود است قسمتی از سطح آزاد میله می‌باشد، و تنش‌های وارد بر آن صفر هستند. با توجه به شکل ۴۶-۳ بـ.

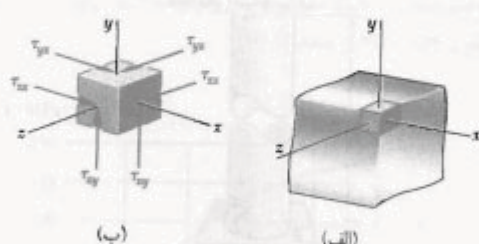
$$\tau_{yx} = 0 \quad \tau_{yz} = 0 \quad (46-3)$$

به همین دلیل، تمام تنش‌های وارد بر وجهی از جزء که بر محور عمود است نیز صفر است:

$$\tau_{zx} = 0 \quad \tau_{zy} = 0 \quad (41-3)$$

از معادله اول (۴۰-۳) و معادله دوم (۴۱-۳) نتیجه می‌شود:

$$\tau_{xy} = 0 \quad \tau_{xz} = 0 \quad (42-3)$$



شکل ۴۶-۳

لذا، هر دو مؤلفه تنش برآوردی وارد بر وجهی از جزء که بر محور میله عمود است صفر می‌باشند. در نتیجه، هیچ تنش برآوردی در گوش‌های مقطع عرضی میله وجود ندارد.

می‌شود؛ سپس، گشتاور حذف می‌شود. (الف) نشان دهد که توزیع تنش‌های باقیمانده به صورت نشان داده شده است. (ب) مقدار گشتاور ناشی از تنش‌های وارد بر قسمتی از میله را که داخل دایره‌ای به شعاع $\frac{r}{2}$ قرار دارد بیابید.

۱۱۷-۳ پس از باربرداری و بارگذاری توصیف شده برای شفت توخالی مسئله ۱۱۳-۳، گشتاور T با سوی مخالف گشتاور اولیه T بر شفت وارد می‌شود. با فرض اینکه مقدار $\frac{r}{2}$ مانند قبل است، مقدار گشتاور T را هنگام شروع تسلیم در بارگذاری دوم بیابید و آن را با مقدار $\frac{r}{2}$ گشتاور T هنگام شروع تسلیم در بارگذاری اولیه مقایسه کنید.

۱۱۸-۳ پس از بارگذاری و باربرداری توصیف شده برای شفت توخالی مسئله ۱۱۴-۳، گشتاور T با سوی مخالف گشتاور اولیه T بر شفت وارد می‌شود. با فرض اینکه مقدار $\frac{r}{2}$ مانند قبل است، مقدار پیچش ϕ مورد نیاز را برای شروع تسلیم در بارگذاری اولیه دوم بیابید و آن را با مقدار $\frac{r}{2}$ که باعث تسلیم شفت در بارگذاری اولیه شد مقایسه کنید.

۱۲-۳ پیچش عضوهای غیردایره‌ای فرمول‌های توزیع کرنش و تنش در بارگذاری پیچشی در قسمت‌های ۳-۳ و ۴-۳، فقط برای مقطاع عرضی دایره‌ای به کار می‌روند. در حقیقت، استنتاج آنها بر مبنای این فرض بود که مقطع عرضی عضو به طور صفحه‌ای و بدون اعوجاج می‌ماند، و در قسمت ۳-۳ دیدیم که این فرض وقتی صحت دارد که عضو دارای تقارن محوری باشد (یعنی، اگر عضو را از وضعیت ثابت نگاه کنیم و آن را تحت یک زاویه اختباری حول محورش بچرخانیم، ظاهر آن تغییر نکند).

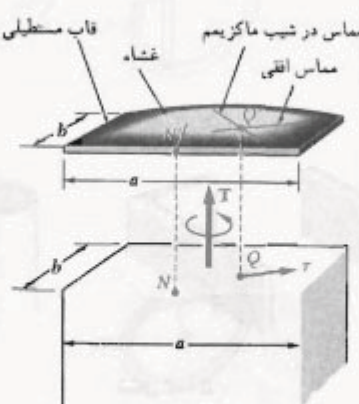
ولی، یک میله با مقطع عرضی چهارگوش فقط وقتی ظاهر خود را حفظ می‌کند که به اندازه 90° یا 180° بچرخد. با استفاده از روش قسمت ۳-۳، می‌توان نشان داد که قطرهای مقطع عرضی میله چهارگوش و خطوط واصل نقاط میانی اصلاح آن مقطع به طور مستقیم می‌مانند (شکل ۴۵-۳). البته، به علت عدم تقارن محوری میله، هر خط دیگری که در مقطع عرضی آن رسم شود هنگام پیچش میله تغییر شکل می‌دهد، و خود مقطع عرضی به طرف خارج صفحه اولیه‌اش می‌پیچد.

در نتیجه، از معادله‌های (۴-۳) و (۶-۳) نمی‌توان برای عضوهای غیردایره‌ای استفاده کرد. هنلا، نمی‌توان فرض کرد تنش برآوردی در مقطع عرضی یک میله چهارگوش بر حسب

جدول ۳-۱ ضرایب میله‌های مستطیلی

a/b	c_1	c_2
۱/۰	۰,۲۰۸	۰,۱۴۰۶
۱/۲	۰,۲۱۹	۰,۱۶۶۱
۱/۵	۰,۲۳۱	۰,۱۹۵۸
۲/۰	۰,۲۴۶	۰,۲۲۹
۲/۵	۰,۲۵۸	۰,۲۴۹
۳/۰	۰,۲۶۷	۰,۲۶۳
۴/۰	۰,۲۸۲	۰,۲۸۱
۵/۰	۰,۲۹۱	۰,۲۹۱
۱۰/۰	۰,۳۱۲	۰,۳۱۲
∞	۰,۳۲۳	۰,۳۲۳

توزيع تنش برشی در یک عضو غیردایره‌ای را با استفاده از نتابه غشا می‌توان به سهولت تجسم داد. غشا همگن الاستیک که به قاب شابک متصل است و یک طرف آن تحت فشار یکنواخت قرار دارد مشابه میله تحت پیچش است؛ یعنی، برای تعیین تغییرشکل غشا از همان معادله دیفرانسیلی استفاده می‌شود که برای تعیین تنش‌های برشی در میله به کاررفت.^{**} اگر نقطه از مقطع عرضی میله و Q نقطه متناظر از غشا باشد (شکل ۴۹-۳)، تنش برشی τ در Q در Q با مماس افقی بر غشا در نقطه Q' هم جهت است، و مقدار آن با ماکریتم شیب غشا در



شکل ۴۹-۳

با پیچاندن مدل لاستیکی یک میله چهارگوش، مشاهده می‌شود که تغییرشکل یا تنش در لمبه‌های میله به وجود نمی‌آید، در حالی که خط مرکزی هر یک از وجوده میله دارای ماکریتم تغییرشکل است و تحت ماکریتم تنش تزار می‌گیرد (شکل ۴۷-۳).



شکل ۴۷-۳

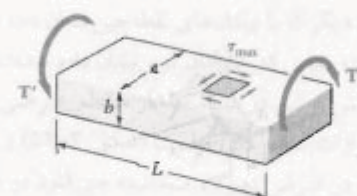
تعیین تنش در عضوهای غیردایره‌ای تحت پیچش فراتر از این متن است. ولی، نتایج حاصل از نظریه ریاضی الاستیک برای میله‌های مستقیم با مقطع عرضی یکنواخت مستطیلی را در اینجا می‌آوریم.

اگر طول میله را با L و ضلع عریض تر مقطع عرضی را با a و ضلع پاره‌کنتر آن را با b و مقدار گشتاور وارد بر میله را با T نشان دهیم (شکل ۴۸-۳)، ماکریتم تنش برشی در امتداد خط مرکزی وجه عریض تر میله روی می‌دهد و برابر است با:

$$r_{\max} = \frac{T}{c_1 ab^3} \quad (43-3)$$

زاویه پیچش را نیز به صورت زیر می‌توان بیان کرد:

$$\phi = \frac{TL}{c_1 ab^3 G} \quad (44-3)$$



شکل ۴۸-۳

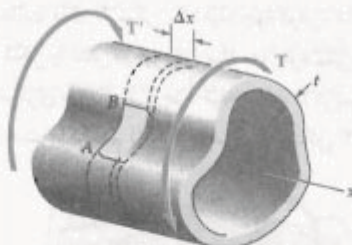
ضرایب c_1 و c_2 فقط به نسبت a/b بستگی دارند و در جدول ۳-۱ آورده شده‌اند. گفتنی است که معادله‌های (۴۳-۲) و (۴۴-۲) فقط در ناحیه الاستیک صحت دارند.

از جدول ۳-۱ دیده می‌شود که برای $a/b \geq 5$ ، ضرایب c_1 و c_2 با هم برابرند. می‌توان نشان داد که برای این مقادیر a/b

$$(نقطه برای ۵ \leq a/b \leq 5.5) \quad (45-3)$$

* See S. P. Timoshenko and J. N. Goodier, *Theory of Elasticity*, 3d., McGraw-Hill, New York, 1969, sec. 109.

** به قسمت ۷۱۰ مراجعه شود.



شکل ۵۱-۳

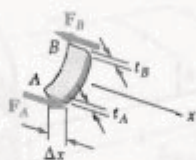
یک استوانه توخالی با مقطع عیردایره‌ای را که تحت بارگذاری پیچشی است در نظر بگیرید (شکل ۵۱-۳).^{***} گرچه ضخامت دیواره ممکن است در مقطع عرضی تغییر کند، ولی از این ضخامت می‌توان در مقایسه با سایر ابعاد عضو صرف نظر کرد. حال، قسمت جداری AB از عضو را که با دو صفحه عرضی به فاصله Δx از یکدیگر و دو صفحه طولی عمود بر دیواره محدود شده است جدا می‌کنیم. چون قسمت AB در تعادل است، مجموع نیروهای وارد بر آن در جهت طولی x صفر است (شکل ۵۲-۳). تنها نیروهای موجود عبارتند از نیروهای برشی F_A و F_B که بر دو انتهای قسمت AB وارد می‌شود. بنابراین،

$$\sum F_x = 0 : \quad F_A - F_B = 0 \quad (46-3)$$

حال، می‌نویسیم:

$$F_A = \tau_A (t_A \Delta x)$$

که در آن، τ_A تنش برشی طولی وارد بر وجه کوچک در انتهای A و t_A مساحت آن وجه است.



شکل ۵۲-۳

* این شبیه است که در جهت عمود بر مماس افقی در Q' اندازه‌گیری می‌شود.

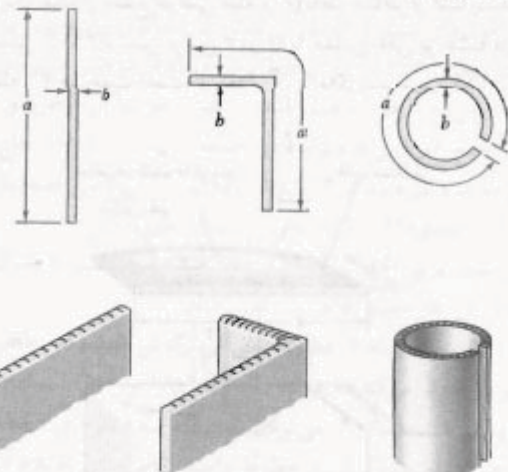
** می‌توان نشان داد که زاویه پیچش را از معادله (۴۴-۳) با $c_7 = ۰/۳۳۳$ بدست آورد.

*** دیواره این عضو باید شامل یک حفره تنها ماشد و نایابد دارای یک شکاف باشد. به عبارت دیگر، این عضو از نظر توبولوزیکی باید معادل یک شفت دایره‌ای توخالی باشد.

Q' مناسب است.^{*} بدلاً وارده، گشاور وارد با حجم بین غشا و صفحه قاب ثابت مناسب است. در غشای شکل ۴۹-۳، که به یک قاب مستطیلی متصل است، بیشترین شب در نقطه میانی وجه بزرگتر قاب (نقطه N') روی می‌دهد. لذا، ماکریم تنش برشی در میله با مقطع عرضی مستطیلی در نقطه میانی وجه بزرگتر آن مقطع (نقطه N) بوجود می‌آید.

از تشابه غشا برای تجسم تنش‌های برشی در میله‌های مستقیم با مقطع عرضی یکتاخت غیردایره‌ای می‌توان استفاده کرد.

مثلثاً، عضوهای جدار نازکی را که مقاطع عرضی آنها در شکل ۵۰-۳ نشان داده است در نظر بگیرید. این عضوهای تحت گشاور یکسان قرار دارند. با استفاده از تشابه غشا، که به تجسم تنش‌های برشی کمک می‌کند، دیده می‌شود که چون گشاور یکسان بر هر عضو وارد می‌شود، حجم یکسانی در زیر هر غشا وجود دارد و ماکریم شب در هر دو حالت تقریباً یکسان است. لذا، برای یک عضو جدار نازک با ضخامت یکتاخت و با شکل دلخواه، ماکریم تنش برشی مانند ماکریم تنش برشی در یک میله مستطیلی است که بسیار بزرگی دارد و آن را از معادله (۴۳-۳) با $c_1 = ۰/۳۳۳$ می‌توان به دست آورد.^{**}



شکل ۵۰-۳

۱۳-۳ شفتهای توخالی جدار نازک

در قسمت قبل دیدیم که برای تعیین تنش در عضوهای غیردایره‌ای معمولاً باید از روش‌های پیشرفته ریاضی استفاده کرد. ولی در شفتهای توخالی جدار نازک، با یک محاسبه ساده می‌توان توزیع تنش را با تقریب خوب تعیین کرد.

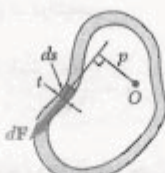
در اینجا، به تشابه بین توزیع تنش برشی τ در مقطع عرضی یک شفت توخالی جدار نازک و توزیع سرعت آبی که در کanal هسته‌ای با عمق واحد و عرض متغیر جریان دارد اشاره می‌کنیم. گرچه سرعت v به علت تغییر عرض کanal از نقطه‌ای تا نقطه دیگر تغییر می‌کند، ولی کمیت $v = \tau t = q$ (آنتگ جریان) در سرتاسر کanal ثابت است، همانطور که τt در معادله (۴۸-۳) ثابت است. با توجه به این تشابه، کمیت $\tau t = q$ را جریان برشی در دیواره شفت توخالی می‌گویند.

حال، رابطه بین گشتاور T وارد بر یک عضو توخالی و جریان برشی q در دیواره آن را تعیین می‌کنیم. جزء کوچکی از مقطع دیواره، به طول ds ، را در نظر می‌گیریم (شکل ۵۵-۳). مساحت این جزء عبارت است از $t ds = dA$ ، و مقدار نیروی برشی dF وارد بر این آن چنین است:

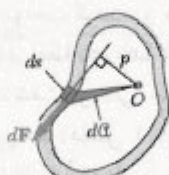
$$dF = \tau dA = \tau(t ds) = (\tau t) ds = q ds \quad (49-3)$$

گشتاور این نیرو نسبت به نقطه اختیاری O ، که در حفره عضو قرار دارد، چنین است:

$$dM_O = p dF = p(q ds) = q(p ds) \quad (50-3)$$



شکل ۵۵-۳



شکل ۵۶-۳

که در آن، فاصله عمودی نقطه O تا خط اثر نیروی dF است. اما کمیت $p ds$ با دو برابر مساحت مثلث سایه خورده در شکل

۵۶-۳ برابر است. لذا

$$dM_O = q(\gamma dA) \quad (51-3)$$

گفتنی است که گرچه تنش برشی از مختصه x نقطه تحت بررسی مستقل است، ولی در عرض دیواره تغییر می‌کند؛ لذا، τ_A مقدار متوسط تنش محاسبه شده در عرض دیواره را نشان می‌دهد. F_B را نیز به طور مشابه بیان می‌کنیم. با جایگذاری F_A و F_B در (۴۶-۳)،

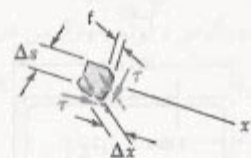
$$\tau_A(t_A \Delta x) - \tau_B(t_B \Delta x) = 0$$

با

$$\tau_A t_A = \tau_B t_B \quad (47-3)$$

چون A و B به طور اختیاری انتخاب شده‌اند، طبق معادله (۴۷-۳)، کمیت τt در سرتاسر عضو ثابت است. اگر این حاصل ضرب را با q نشان دهیم، داریم

$$q = \tau t = \text{ثابت} \quad (48-3)$$



شکل ۵۳-۳

حال، جزء کوچکی از قسمت جداری AB را جدا می‌کنیم (شکل ۵۳-۳). چون وجوده بالایی و پایینی این جزء قسمتی از سطح آزاد عضو توخالی‌اند، تنش وارد بر این وجوده صفر است. با توجه به رابطه‌های (۲۱-۱) و (۲۲-۱)، مؤلفه‌های تنش وارد بر وجوده دیگر که با پیکان‌های نقطه‌چین نشان داده شده‌اند نیز صفرند، و دو تنشی که با پیکان تپیر نشان داده شده‌اند با هم برابرند. لذا، تنش برشی در هر نقطه از مقطع عرضی عضو توخالی به موازات سطح دیواره است (شکل ۵۴-۳) و مقدار متوسط آن که در عرض دیواره محاسبه می‌شود در معادله (۴۸-۳) صدق می‌کند.

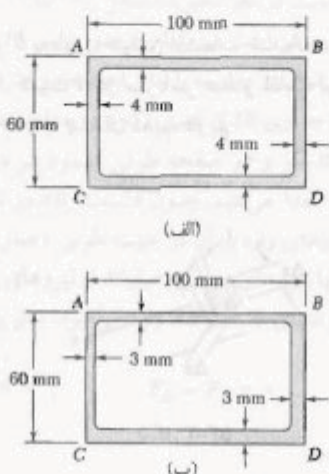


شکل ۵۴-۳

PNUEB

مثال ۳-۱۰

لوله آلمینیومی با مقطع عرضی مستطیلی $100 \times 60 \times 6$ با روش اکستروژن ساخته شده است. مطلوب است تنش برشی در هر یک از چهار دیواره قسمتی از این لوله تحت گشتاور $2,7 \text{ kN.m}$ ، پا فرض اینکه: (الف) ضخامت یکنواخت دیواره 4 mm است (شکل ۵۸-۳ الف)، (ب) بر اثر نقص ساخت، ضخامت دیواره‌های AB و CD برابر با 3 mm و ضخامت دیواره‌های BD و AC برابر با 5 mm است (شکل ۵۸-۳ ب).



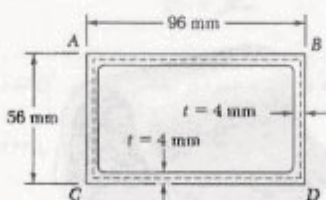
شکل ۵۸-۳

(الف) لوله با ضخامت یکنواخت. مساحت محصور شده توسط خط مرکزی از (شکل ۵۹-۳) چنین است:

$$A = (96 \text{ mm})(56 \text{ mm}) = 5376 \text{ mm}^2$$

چون ضخامت هر چهار دیواره 4 mm است، تنش برشی در هر دیواره از معادله (۵۳-۳) چنین است:

$$\tau = \frac{T}{2tA} = \frac{2700 \text{ N.m}}{2(0.004 \text{ m})(5376 \times 10^{-6} \text{ m}^2)} = 62.8 \text{ MPa}$$



شکل ۵۹-۳

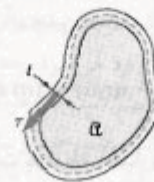
انگرال عضو سمت چپ معادله (۵۱-۲) پیرامون مقطع جداری برابر است با مجموع لنگر نیروهای برشی جزئی وارد بر مقطع جداری، و این مجموع نیز با گشتاور T وارد بر عضو توخالی برابر است. درنتیجه،

$$T = \oint dM_o = \oint q(2d\ell)$$

جریان برشی q یک ثابت است، و می‌نویسیم:

$$T = 2q\ell \quad (52-2)$$

که در آن ℓ مساحتی است که توسط خط مرکزی مقطع عرضی دیواره محدود شده است (شکل ۵۷-۳).



شکل ۵۷-۳

با جایگذاری q از (۴۸-۳) در (۵۲-۲) و با حل ℓ از معادله حاصل، می‌توان تنش برشی τ در هر نقطه از دیواره را برحسب گشتاور T بدست آورد. درنتیجه،

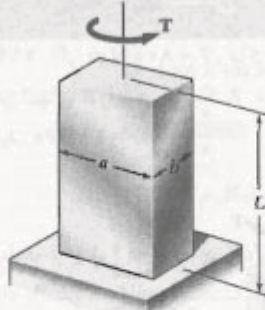
$$\tau = \frac{T}{2t\ell} \quad (53-3)$$

که در آن ℓ ضخامت دیواره در نقطه تحت بررسی و t مساحت است که توسط خط مرکزی محدود شده است. باید توجه داشت که ℓ مقدار متوسط تنش برشی در عرض دیواره است، ولی، توزیع تنش در عرض دیواره را برای تغییر شکل‌های الاستیک می‌توان یکنواخت گرفت، و معادله (۵۳-۳) مقدار واقعی تنش برشی را در نقطه داده شده دیواره می‌دهد.

زاویه پیچش یک شفت توخالی جدار نازک را با استفاده از روش انرژی می‌توان یافت (فصل ۱۱). بافرض تغییر شکل الاستیک، می‌توان نشان داد که زاویه پیچش یک شفت جدار نازک به طول L و با مدول صلابت G چنین است:

$$\phi = \frac{TL}{4G} \int \frac{ds}{t} \quad (54-3)$$

که در آن، انگرال در امتداد خط مرکزی مقطع جداری محاسبه می‌شود.



۲- میله با مقطع عرضی مستطیلی. در این حالت،

$$a = 0,064 \text{ m} \quad b = 0,025 \text{ m} \Rightarrow \frac{a}{b} = 2,56$$

با درون یابی در جدول ۱-۳، $c_1 = 0,259$ در نتیجه،

$$\tau_{\max} = \frac{T_r}{c_1 ab^3} \Rightarrow 40 \text{ MPa} = \frac{T_r}{0,259 (0,064 \text{ m})(0,025 \text{ m})^3}$$

$$\Rightarrow T_r = 414 \text{ N.m} \blacktriangleleft$$

۳- لوله چهارگوش. برای لوله با ضخامت t ، تنش برشی با معادله (۵۳-۳) بیان می شود:

$$\tau = \frac{T}{2 t Q}$$

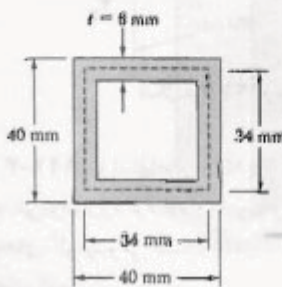
که در آن Q مساحتی است که توسعه خط مرکزی مقطع عرضی محدود شده است:

$$Q = (0,034 \text{ m})(0,034 \text{ m}) = 1,156 \times 10^{-5} \text{ m}^2$$

و $\tau = \tau_{all} = 40 \text{ MPa}$ و $t = 6 \text{ mm}$ را جایگذاری می کنیم و گشتاور مجاز را می یابیم:

$$\tau = \frac{T}{2 t Q} \Rightarrow 40 \text{ MPa} = \frac{T_r}{2 (0,006 \text{ m})(1,156 \times 10^{-5} \text{ m}^2)}$$

$$\Rightarrow T_r = 555 \text{ N.m} \blacktriangleleft$$



(ب) لوله با ضخامت متغیر. مساحت Q محصور شده توسط خط مرکزی مانند قسمت (الف) است، و با جایگذاری $t = 0 \text{ mm}$ و $t = 3 \text{ mm}$ در معادله (۵۳-۳)، داریم:

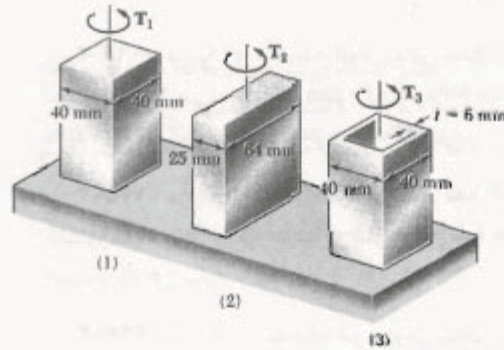
$$\tau_{AB} = \tau_{AC} = \frac{2V \times 0 \text{ N.m}}{\pi (0,003 \text{ m})(0,376 \times 10^{-5} \text{ m}^2)} = 100 \text{ MPa}$$

$$\tau_{BD} = \tau_{CD} = \frac{2V \times 0 \text{ N.m}}{\pi (0,003 \text{ m})(0,376 \times 10^{-5} \text{ m}^2)} = 50 \text{ MPa}$$

توجه کنید که تنش در دیواره فقط به ضخامت آن بستگی دارد.

مسئله نمونه ۹-۳

با استفاده از $\tau_{all} = 40 \text{ MPa}$ ، ماکریزم گشتاوری را که می توان بر هر یک از میله ها و لوله برنجی نشان داده شده وارد کرد بیابید. توجه کنید که دو میله توزیر دارای مساحت مقطع عرضی یکسان، و میله چهارگوش و لوله چهارگوش دارای ابعاد خارجی یکسان هستند.



حل

۱- میله با مقطع عرضی چهارگوش. برای میله توزیر با مقطع عرضی مستطیلی، ماکریزم تنش برشی با معادله (۴۳-۲) داده می شود:

$$\tau_{\max} = \frac{T_r}{c_1 ab^3}$$

$$a = b = 0,04 \text{ m} \Rightarrow \frac{a}{b} = 1,00$$

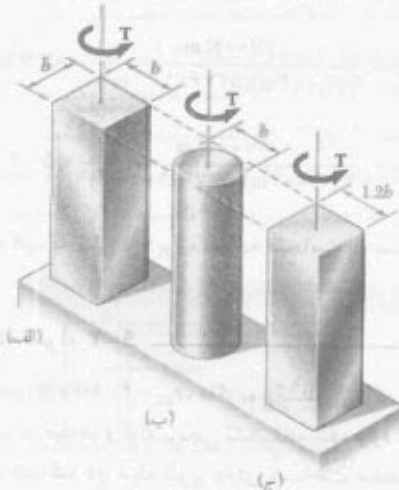
از جدول ۱-۳، $c_1 = 0,208$ ، $T_r = 10 \text{ N.m}$ برای $\tau_{all} = 40 \text{ MPa}$

$$\tau_{\max} = \frac{T_r}{c_1 ab^3} \Rightarrow 40 \text{ MPa} = \frac{T_r}{0,208 (0,04 \text{ m})^3}$$

$$\Rightarrow T_r = 532 \text{ N.m} \blacktriangleleft$$

RNUEB

۱۲۳-۳ هر یک از سه میله فولادی نشان داده شده تحت گشتاور $T = 275 \text{ N.m}$ قرار دارد. اگر تنش محاز برشی $\tau_{\text{all}} = 5 \text{ MPa}$ باشد، اندازه b را باید:



شکل ۱۲۳-۳ م، ۱۲۴-۳ م، ۱۲۵-۳ م و ۱۲۶-۳ م

۱۲۴-۳ هر یک از سه میله آلومینیومی نشان داده شده تحت زاویه 25° می‌بیند. اگر $\tau_{\text{all}} = 5 \text{ MPa}$ ، $b = 30 \text{ mm}$ و $G = 27 \text{ GPa}$ ، کمترین طول محاز هر میله را باید:

۱۲۵-۳ هر یک از سه میله فولادی نشان داده شده تحت گشتاور $T = 550 \text{ N.m}$ قرار دارد. اگر تنش برشی محاز $\tau_{\text{all}} = 50 \text{ MPa}$ باشد، اندازه b را باید.

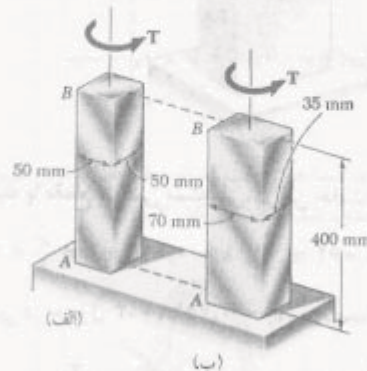
۱۲۶-۳ هر یک از سه میله آلومینیومی نشان داده شده تحت زاویه $1,25^\circ$ می‌بیند. اگر $\tau_{\text{all}} = 5 \text{ MPa}$ ، $b = 28 \text{ mm}$ و $G = 27 \text{ GPa}$ ، کمترین طول محاز هر میله را باید.

۱۲۷-۳ شفت‌های A و B از ماده یکسان ساخته شده‌اند و دارای طول یکسان و مقطع عرضی یکسان هستند، اما A دارای مقطع عرضی دایره‌ای و B دارای مقطع عرضی چهارگوش است. مطلوبت نسبت ماکریتم گشتاورهای T_A و T_B که می‌توان با اطمینان بر A و B وارد کرد.

۱۲۸-۳ شفت‌های A و B از ماده یکسان ساخته شده‌اند و دارای طول یکسان و مقطع عرضی یکسان هستند، اما A دارای مقطع عرضی دایره‌ای و B دارای مقطع عرضی چهارگوش است. نسبت ماکریتم τ_A/τ_B بین ϕ_A و ϕ_B را باید شفت‌های A و B بساخا

مسائل

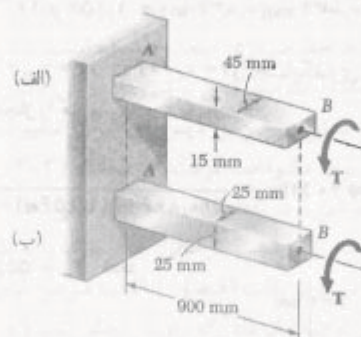
۱۱۹-۳ اگر $T = 800 \text{ N.m}$ ، ماکریتم تنش برشی و زاویه پیچش در انتهای B را برای هر یک از میله‌های برنج زرد با تورن سرد باید $G = 29 \text{ GPa}$ سردد باید.



شکل ۱۱۹-۳ م و ۱۲۰-۳ م

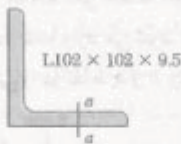
۱۲۰-۳ با استفاده از $\tau_{\text{all}} = 5 \text{ MPa}$ ، ماکریتم گشتاور T را که می‌توان وارد کرد و زاویه پیچش متناظر در انتهای B را برای هر یک از میله‌های برنج زرد با تورن سرد باید $G = 29 \text{ GPa}$ از میله‌های آلومینیومی نشان داده شده باید.

۱۲۱-۳ اگر مقدار گشتاور T برابر با 200 N.m باشد، ماکریتم تنش برشی و زاویه پیچش را در انتهای B برای هر یک از میله‌های آلومینیومی نشان داده شده باید. از $G = 27 \text{ GPa}$ استفاده کنید.



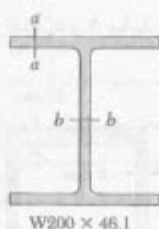
شکل ۱۲۱-۳ م و ۱۲۲-۳ م

۱۲۲-۳ با استفاده از $\tau_{\text{all}} = 7 \text{ MPa}$ ، ماکریتم گشتاور T را که می‌توان وارد کرد و زاویه پیچش متناظر را برای هر یک از میله‌های آلومینیومی نشان داده شده باید. از $G = 27 \text{ GPa}$ استفاده کنید.



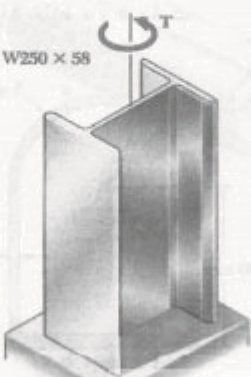
شکل م ۱۳۱-۳

۱۳۲-۳ عضو فولادی به طول $2,4\text{ m}$ و با مقطع عرضی $W_{200} \times 46,1$ تحت گشتاور 560 N.m قرار دارد. اگر $G = 77\text{ GPa}$ ، مطلوب است: (الف) ماکزیمم تنش برشی در امتداد خط $a-a$ ، (ب) ماکزیمم تنش برشی در امتداد خط $b-b$ ، (ج) زاویه پیچش. (راهنمایی: جان و بالهارا به طور جداگانه در نظر بگیرید و رابطهای بین گشتاورهای وارد بر جان و بال را بیابید. برای این منظور، زوایای پیچش را مساوی هم قرار دهید).

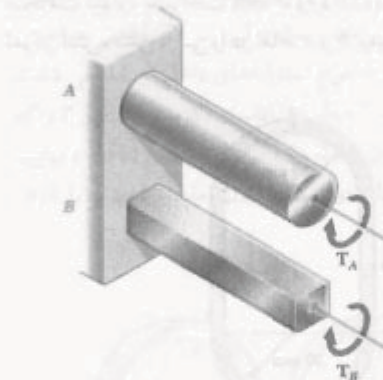


شکل م ۱۳۲-۳

۱۳۳-۳ عضو فولادی به طول 3 m دارای مقطع عرضی $W_{250} \times 58$ است. اگر $G = 77\text{ GPa}$ و تنش برشی مجاز 35 MPa باشد، مطلوب است: (الف) ماکزیمم گشتاور T که می‌توان وارد کرد، (ب) زاویه پیچش متانظر. برای ابعاد مقطع عرضی به پیوست ج مراجعه کنید. تمرکز تنش را در نظر بگیرید (به راهنمایی مسئله ۱۳۲-۳ نگاه گنید).



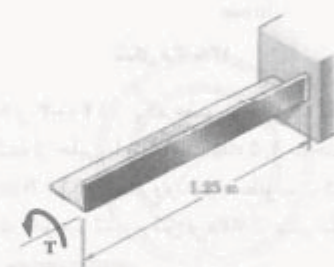
شکل م ۱۳۳-۳



شکل م ۱۳۷-۳ و ۱۳۸-۳

۱۴۹-۳ مطلوب است ماکزیمم مقطع عرضی مجاز شفت فولادی به طول 4 m در صورتی که بخواهیم وقتی شفت یک دوران کامل انجام می‌دهد، ماکزیمم تنش برشی در آن از $G = 77,2\text{ GPa}$ و 170 MPa بیشتر نشود.

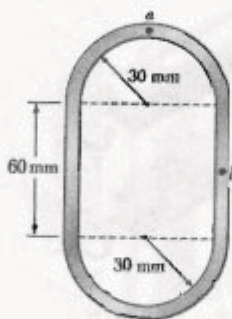
۱۴۰-۳ نش فولادی به طول $1,25\text{ m}$ دارای مقطع عرضی $L12V \times 76 \times 6,4$ است. تو پیوست ج، ضخامت این مقطع $6,4\text{ mm}$ و مساحت آن 1252 mm^2 است. اگر مطلوب است: (الف) ماکزیمم گشتاور T که می‌توان وارد کرد، (ب) زاویه پیچش متانظر



شکل م ۱۴۰-۳

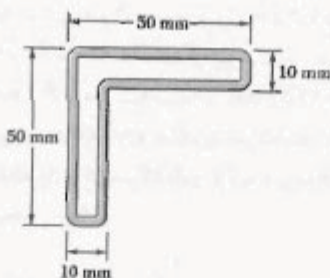
۱۴۱-۳ گشتاور 240 N.m بر تنشی فولادی به طول $1,8\text{ m}$ با مقطع عرضی $112V \times 10 \times 4,5$ وارد شده است. از پیوست ج، ضخامت این مقطع $4,5\text{ mm}$ و مساحت آن 1850 mm^2 است. اگر $G = 77\text{ GPa}$ ، مطلوب است: (الف) ماکزیمم تنش برشی در امتداد خط $a-a$ ، (ب) زاویه پیچش

١٣٧-٣ گشتاور $T = ٧٥٠ \text{ N.m}$ بر شفت توخالي، با ضخامت ديواره يكتوخت ٦ mm وارد شده است. با صرفنظر از تمرکز تنش، تنش برشی را در نقاط a و b باید.



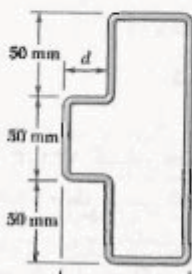
شکل ١٣٧-٣

١٣٨-٣ يك عضو توخالي با مقطع عرضي نشان داده شده از حلبی با ضخامت ٢ mm ساخته شده است. اگر تنش برشی باید از ٣ MPa بيشتر شود، ماکریم گشتاوری را که می توان بر عضو وارد کرد باید.

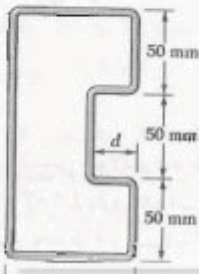


شکل ١٣٨-٣

١٣٩-٣ و ١٤٠-٣ يك عضو توخالي با مقطع عرضي نشان داده شده از حلبی با ضخامت $١/٥ \text{ mm}$ ساخته شده است. اگر گشتاور ١٤٠ N.m بر عضو وارد شود، مطلوب است كه ترين اندازه d در صورتی که بخواهيم تنش برشی از ٥ MPa بيشتر نشود.

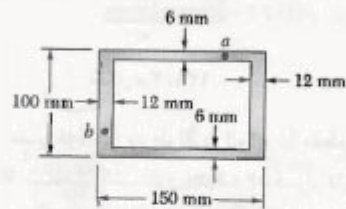


شکل ١٤٠-٣



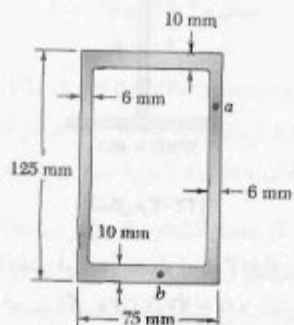
شکل ١٣٩-٣

١٣٤-٣ گشتاور ٧ kN.m بر شفت آلومینیومی توخالي با مقطع عرضي نشان داده شده وارد می شود. با صرفنظر از تأثير تمرکز تنش، تنش برشی را در نقاط a و b باید.



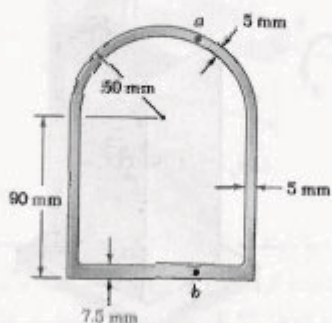
شکل ١٣٤-٣

١٣٥-٣ گشتاور ٥٠ kN.m بر شفت توخالي با مقطع عرضي نشان داده شده وارد شده است. با صرفنظر از تمرکز تنش، تنش برشی را در نقاط a و b باید.



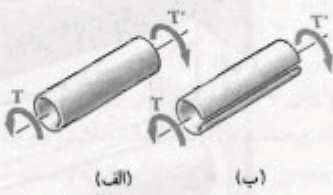
شکل ١٣٥-٣

١٣٦-٣ گشتاور ٥٦٠ N.m بر شفت توخالي با مقطع عرضي نشان داده شده وارد شده است. با صرفنظر از تمرکز تنش، تنش برشی را در نقاط a و b باید.



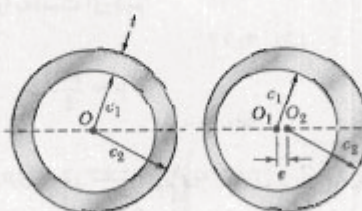
شکل ١٣٦-٣

۱۴۴-۳ گشتاورهای مساوی بر لوله‌های جدار نازک با طول یکسان L ، ضخامت یکسان c ، و شعاع یکسان r وارد شده‌اند. یکی از لونه‌ها، مطابق شکل، در جهت طولی شکاف برداشته است. مطلوب است: (الف) نسبت ماکریم تنش‌های برشی در لوله‌ها (τ_{av}/τ_{av})، (ب) نسبت زوایای پیچش شفت‌ها (ϕ_1/ϕ_2).



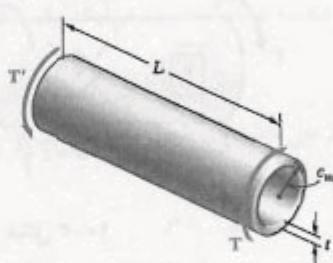
شکل ۱۴۴-۳

۱۴۵-۳ شفت استوانه‌ای توخالی با مقطع عرضی نشان داده شده در شکل ۱ برای مقاومت در برابر گشتاور ماکریم T طراحی شده است. ولی، بر اثر نقص ساخت، خروج از مرکز e بین سطوح استوانه‌ای داخلی و خارجی شفت وجود دارد (قسمت ۲ شکل). (الف) ماکریم گشتاور T را که می‌توان با اطمینان بر شفت وارد کرد بر حسب T ، c و e باید. (ب) در صد کاهش گشتاور مجاز را برای مقادیر e برابر با 0° ، 45° و 90° پیابید.



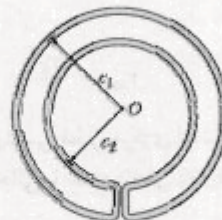
شکل ۱۴۵-۳

۱۴۵-۳ شفت استوانه‌ای توخالی به طول L ، شعاع متوسط r_m ، و ضخامت یکنواخت c تحت گشتاورهای T قرار دارد. مقدار تنش برشی متوسط τ_{av} و زاویه پیچش ϕ را یکبار با فرمول‌های پیچش الاستیک (قسمت‌های ۴-۳ و ۵-۳) و بار دیگر با استفاده از مقادیر حاصل از فرمول‌های شفت‌های جدار نازک توخالی (قسمت ۳-۳) در نظر بگیرید. (الف) نشان دهد که خطای نسبی ناشی از کاربرد فرمول‌های شفت (به جای استفاده از فرمول‌های پیچش الاستیک) برای τ_{av} و ϕ یکسان است و مقدار آن مثبت و متناسب با نسبت e/c_m است. (ب) در صد خطای متناظر با مقادیر نسبت e/c_m برابر با 1° ، 2° و 4° را با هم مقایسه کید.



شکل ۱۴۵-۳

۱۴۶-۳ یک لوله خنککن دارای مقطع عرضی نشان داده شده است و از ورق فولادی زنگ نزن به ضخامت 3 mm ساخته شده است. شعاع‌های c_1 و c_2 تا خط مرکزی مقطع اندازه‌گیری شده‌اند و، به ترتیب، برابر با 150 mm و 100 mm هستند. اگر گشتاور $T = 2\text{ kN.m}$ بر لوله وارد شود، مطلوب است: (الف) ماکریم تنش برشی در لوله، (ب) مقدار گشتاور وارد بر یوسنیه خارجی‌ای هایرهایی از اندازه دهنده کوچک، محل اتصال یوسنیه‌های خارجی و داخلی صرف نظر کشد.



شکل ۱۴۶-۳

۱۴۷-۳ یک لوله خنککن دارای مقطع عرضی نشان داده شده است و از ورق فولادی زنگ نزن با ضخامت c ساخته شده است. شعاع‌های c_1 و c_2 تا خط مرکزی مقطع اندازه‌گیری شده‌اند. اگر گشتاور T بر لوله وارد شود، ماکریم تنش برشی در لوله را بر حسب T ، c و c_1 باید.

مروز و خلاصه فصل ۳

در این فصل، شفتهایی را که تحت گشتوارهای پیچشی قرار دارند تحلیل و طراحی کردیم. به جزو دو قسمت آخر، صرفاً شفتهای دایره‌ای برسی شدند. در قسمت ۲-۳، گفتیم که توزیع تنش در مقاطع عرضی یک شفت دایره‌ای از نوع نامعین است و برای تعیین آن باید تغییرشکل شفت برسی شود [قسمت ۳-۳]. با اثبات این موضوع که در یک شفت دایره‌ای تحت پیچش تمام مقاطع عرضی بصورت صفحه‌ای وی اعوجاج می‌مانند، برای جزء کوچکی که جوانب آن به موازات محور شفت و عمود بر آن هستند عبارت زیر را به دست آوردیم:

$$\gamma = \frac{\rho\phi}{L} \quad (2-3)$$

که در آن، ρ کرنش برشی در فاصله ρ از محور شفت، ϕ زاویه پیچش و L طول شفت است (شکل ۲-۳). معادله (۲-۳) نشان می‌دهد که کرنش برشی در یک شفت دایره‌ای بر حسب فضله از محور شفت بصورت خطی تغییر می‌کند. در نتیجه، کرنش در سطح شفت، یعنی در $c = \rho$ ، دارای مقدار ماکزیمم است:

$$\gamma_{\max} = \frac{c\phi}{L} \quad \gamma = \frac{\rho}{c} \gamma_{\max} \quad (4-3-3)$$

با در نظر گرفتن تنش برشی در یک شفت دایره‌ای در ناحیه الاستیک [قسمت ۳-۴] و با توجه به قانون هوک برای تنش و کرنش برشی، $G\gamma = G\tau$ ، رابطه زیر را بدست آوردیم:

$$\tau = \frac{\rho}{c} \tau_{\max} \quad (6-3)$$

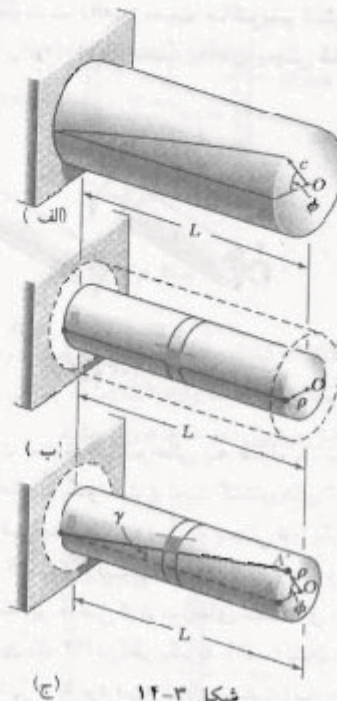
وابطه بالا نشان می‌دهد که در ناحیه الاستیک، تنش برشی τ در یک شفت دایره‌ای نیز بر حسب فضله از محور شفت بصورت خطی تغییر می‌کند. مجموع لنگر نیروهای وارد بر قسمت‌های مختلف شفت را مساوی مقدار گشتوار وارد بر شفت قرار دادیم و فرمول‌های پیچش الاستیک را بدست آوردیم:

$$\tau_{\max} = \frac{Tc}{J} \quad \tau = \frac{Tp}{J} \quad (10-3, 9-3)$$

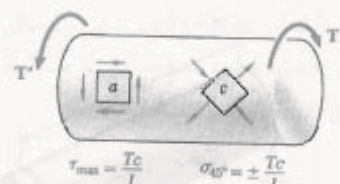
که در آن، c شعاع مقاطع عرضی و J ممان اینترسی قطبی مرکزی است. می‌دانیم که برای یک شفت توپر $c = \frac{1}{4}\pi r^2$ و برای شفت توخالی با شعاع داخلی c_1 و شعاع خارجی c_2 ، $c = c_2 - c_1$.

توجه کنید در حالی که جزء a در شکل ۲-۳ در برش خالص است، جزء b در همان شکل تحت تنش‌های قائم با مقدار یکسان T_{eff} قرار دارد، که دو تا از آنها کششی و دوتای دیگر فشاری هستند. بهمین دلیل، یک ماده چکش خوار در آزمایش پیچش، که معمولاً تحت برش گیخته می‌شود، در امتداد یک صفحه عمود بر محور نمونه می‌شکند، در حالی که مواد نرد (شکننده)، که در کشش ضعیف‌تر از برش هستند، در امتداد سطوحی که با آن محور زاویه 25° دارند می‌شکنند.

تغییرشکل شفتهای دایره‌ای



تش برشی در ناحیه الاستیک



شکل ۱۰-۳

زاویه پیچش

در قسمت ۵-۳ دیدیم که در ناحیه الاستیک، زاویه پیچش یک شفت دایره‌ای با گشتاور وارد بر آن متناسب است (شکل ۲۲-۳). با ϕ بر حسب داده‌ان.

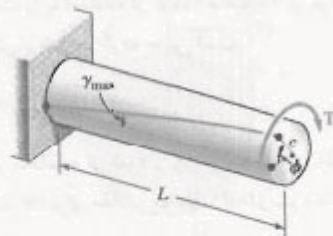
$$\phi = \frac{TL}{JG} \quad (16-3)$$

که در آن،

طول شفت = L

J = ممان ایترس قطبی مقطع عرضی

G = مدول صلابت ماده



شکل ۲۲-۳

اگر شفت در نقاطی غیر از دو انتهایش تحت گشتاور قرار گیرد یا از قسمت‌های مختلف با مقاطع عرضی متفاوت و از مواد مختلف ساخته شده باشد، زاویه پیچش شفت به صورت مجموع جبری زوایای پیچش اجزای آن بیان می‌شود [مسئله نمونه ۳-۳]:

$$\phi = \sum_i \frac{T_i L_i}{J_i G_i} \quad (17-3)$$

در شکل ۲۶-۳ ب دیده می‌شود وقتی هر دو انتهای شفت BE می‌چرخدند، زاویه پیچش شفت برابر است با تفاضل زوایای چرخش ϕ_B و ϕ_E دو انتهای شفت. همچنین، توجه کنید وقتی دو شفت AD و BE توسط چرخ دنده‌های A و B به هم متصل شده‌اند، گشتاورهای وارده از چرخ دنده A بر شفت AD و از چرخ دنده B بر شفت BE ، به ترتیب، با شعاع‌های r_A و r_B این دو چرخ دنده به طور مستقیم متناسب آنها زیرا نیروهای وارده از دنده‌های چرخ دنده در C مساوی و متضادند. از طرف دیگر، زوایای چرخش ϕ_A و ϕ_B دو چرخ دنده با r_A و r_B به طور معکوس متناسب آنها زیرا قوس‌های CC' و CC'' که دنده چرخ دنده‌ها طی می‌کنند با هم برابرند [مثال ۳-۴ و مسئله نمونه ۳-۴].

اگر واکنش در تکیه‌گاه‌های یک شفت یا گشتاورهای داخلی را توان صرفأ با استفاده از استاتیک تعیین کرد، شفت را تعیین استاتیکی می‌گویند [قسمت ۳-۶]. در این حالت، معادله‌های تعادل را که از نمودارهای آزاد بدست می‌آیند باید با رابطه‌هایی که شامل تغییر شکل شفت هستند و از هندسه مسئله بدست می‌آیند ترکیب کرد [مثال ۵-۳ و مسئله نمونه ۳-۵].

در قسمت ۷-۳، درباره طراحی شفت‌های انتقال بحث کردیم. ابتدا، قدرت P را که توسط شفت منتقل می‌شود بیان کردیم:

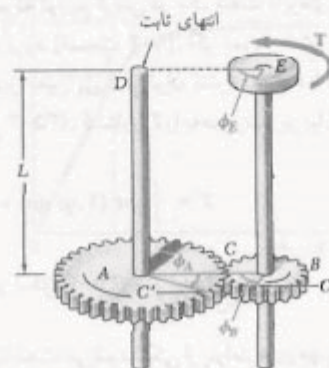
$$P = 2\pi f T \quad (20-3)$$

که در آن، T گشتاور وارد بر هر انتهای شفت و f فرکانس دوران شفت است. واحد فرکانس عبارت است از دوران بر ثانیه (s^{-1}) یا هertz (Hz). در آنچه SI , T بر حسب نیوتون-متر (N.m) و P بر حسب وات (W) است.

برای طراحی شفتی که قدرت معین P را در فرکانس کانتال می‌دهد، ابتدا باید T را از ماده (۲۰-۳) حل کرد. با قرار دادن این مقدار و ماکریسم مقدار مجاز شفت در فرمول (۹-۳)، مقدار پارامتر c را تعیین و لزروی آن قطر شفت را محاسبه می‌کنیم [مثال‌های ۳-۶ و ۳-۷].

شکل ۲۶-۳ ب

شافت‌های نامعین استاتیکی



شافت‌های انتقال

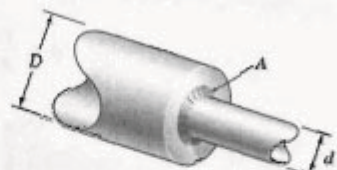


در قسمت ۳-۲، تمرکز تنش را در شفت‌های دایره‌ای بررسی کردیم. دیدیم که تمرکز تنش حاصل از یک تغییر ناگهانی در قطر شفت را با استفاده از گزینه (ماهیجه) می‌توان کاهش داد (شکل ۳۱-۳). ماکریسم مقدار تنش برشی در گزینه چنین است

$$\tau_{max} = K \frac{Tc}{J} \quad (25-3)$$

که در آن، تنش Tc/J برای شفت با قطر کوچکتر محاسبه می‌شود و K ضریب تمرکز تنش است. در شکل ۳۲-۳، مقدار K بر حسب نسبت r/d برای مقایر مختلف D/d رسم شدند. شعاع گزینه است.

تمرکز تنش



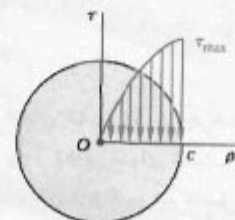
شکل ۳۱-۳

در قسمت‌های ۹-۳ تا ۱۱-۳، درباره تغییر شکل پلاستیک و تنش‌های بالاتر از در شفت‌های دایره‌ای بحث شد. ابتدا، گفتیم که توزیع کرنش در یک شفت دایره‌ای همواره خطی است حتی اگر قانون هوک به کار نزدیک نباشد (قسمت ۹-۳). اگر نمودار تنش-گرنش برشی ماده‌ای معلوم باشد، برای هر مقدار معین τ_{max} می‌توان تنش برشی τ را بر حسب فاصله r از محور شفت رسم کرد (شکل ۳۵-۳). گشتاور T را به صورت زیر بیان کردیم:

$$T = \int_0^c \rho r (\tau \cdot 2\pi r d\rho) = 2\pi \int_0^c \rho \tau^2 d\rho \quad (26-3)$$

که در آن، τ تابعی از ρ است. این تابع در شکل ۳۵-۳ رسم شده است.

تغییر شکل پلاستیک



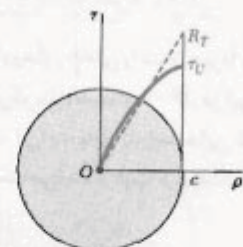
شکل ۳۵-۳

گشتاور نهایی T ، که باعث شکست شفت می‌شود، یکی از پارامترهای مهم است و آن را با آزمایش یا با محاسبه می‌توان تعیین کرد. برای این منظور، τ_{max} را مساوی تنش برشی نهایی τ_U ماده قرار می‌دهیم. از $r = R_T$ و با فرض توزیع خطی تنش-گرنش (شکل ۳۶-۳)، تنش خیالی $R_T = T_U c/J$ را تعیین کردیم. تنش τ را مدول شکست پیچشی شفت می‌گویند.

در قسمت ۳-۱۰، گفتیم که برای شفت توبه‌ای الاستوپلاستیکی، تا وقتی τ_{max} از استقامت تسلیم τ_y شفت بیشتر نشده است، توزیع تنش در تمام مقاطع شفت به صورت خطی است (شکل ۳۸-۳ (الف)). گشتاور T متناظر با τ_y را (شکل ۳۸-۳ (ب)) ماکریسم گشتاور الاستوپلاستیک است. برای یک شفت توبه دایره‌ای به شعاع c ،

$$T_y = \frac{1}{4} \pi c^2 \tau_y \quad (29-3)$$

مدول شکست



شکل ۳۶-۳

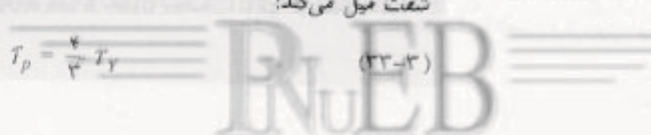
با افزایش گشتاور، در پیرامون هسته الاستوپلاستیک به شعاع c یک ناحیه پلاستیک گسترش می‌یابد. گشتاور T متناظر با مقدار داده شده τ_p چنین است:

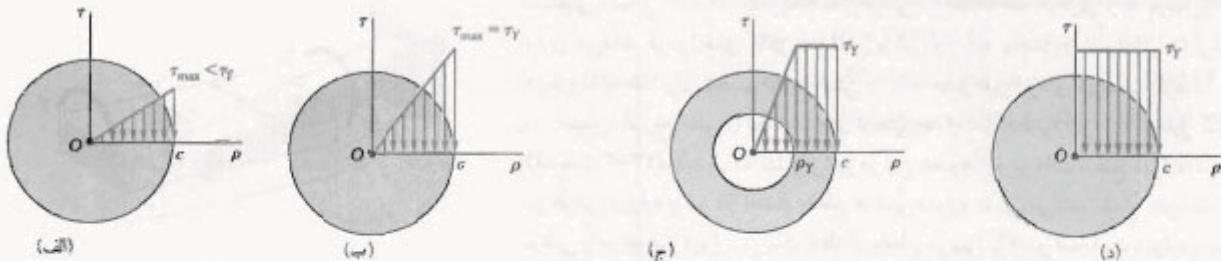
$$T = \frac{4}{3} T_y \left(1 - \frac{\tau_p}{\tau_y} \right) \quad (32-3)$$

وقتی τ_p به صفر نزدیک می‌شود، گشتاور T به مقدار حدی T_p ، به نام گشتاور پلاستیک شفت میل می‌کند:

$$T_p = \frac{4}{3} T_y \quad (33-3)$$

شافت توبه الاستوپلاستیکی

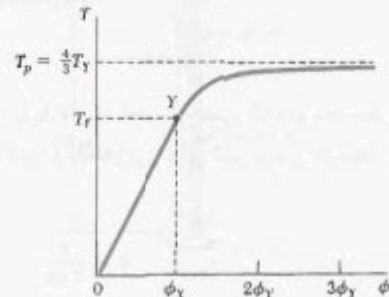




شکل ۳۸-۳

با ترسیم گشتاور T بر حسب زاویه پیچش ϕ برای شفت توبیر دایره‌ای (شکل ۳۹-۳)، پاره خط مستقیم OY را، که با معادله (۱۶-۳) تعریف می‌شود، به دست می‌آید؛ به دنبال این خط، یک منحنی و سپس خط مستقیم $T_p = T_f + \frac{4}{\pi} \phi Y$ می‌آید؛ معادله قسمت منحنی چنین است:

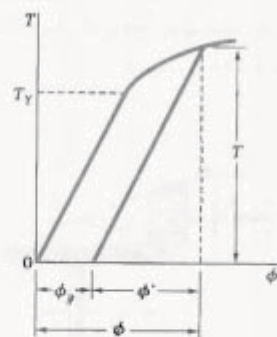
$$T = \frac{4}{\pi} T_f \left(1 - \frac{1}{4} \frac{\phi Y}{\phi' Y} \right) \quad (37-3)$$



شکل ۳۹-۳

بارگذاری یک شفت دایره‌ای پس از شروع تسلیم و باربرداری آن (قسمت ۱۱-۳) باعث ایجاد تغییر شکل دائمی می‌شود. این تغییر شکل از رابطه $\phi' = \phi - \phi_f$ بدست می‌آید، که در آن ϕ متناظر با حالت بارگذاری است که در پاراگراف قبل توصیف شد و ϕ' متناظر با حالت باربرداری است که با یک خط مستقیم در شکل ۴۲-۳ نشان داده می‌شود. همچنین، تنش‌های دائمانه در شفت به وجود می‌آید. از مجموع تنش‌های ماکریم در حالت بارگذاری و تنش‌های معکوس متناظر در حالت باربرداری، تنش‌های دائمانه به دست می‌آیند (مثال ۹-۳).

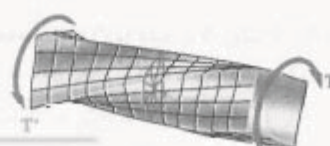
تغییر شکل دائمی. تنش‌های دائمانه



شکل ۴۲-۳

در دو قسمت آخر فصل درباره پیچش عضوهای غیر دایره‌ای بحث کردیم. ابتدا گفتیم که استنتاج فرمول‌های توزیع کرنش و تنش در شفت‌های دایره‌ای بر این مبنای انجام شد که، به علت تقارن محوری این عضوهای مقاطع عرضی به صورت صفحه‌ای و بی‌اعوجاج می‌مانند. چون این خاصیت برای عضوهای غیر دایره‌ای، مانند میله چهارگوش شکل ۴۵-۲ صحبت ندارد، فرمول‌های قبل را نمی‌توان در تحلیل این عضوهای به کار برد

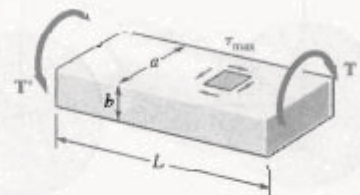
پیچش عضوهای غیر دایره‌ای



شکل ۴۵-۳

در قسمت ۱۲-۳ نشان دادیم که در میله‌های مستقیم با مقطع عرضی یکنواخت مستطیلی (شکل ۴۸-۳)، ماکریسم تنش برشی در امتداد خط مرکزی وجه عریض‌تر میله روی می‌دهد. فرمول‌های ماکریسم تنش برشی و زاویه پیچش را بدون آلات نوشتیم. درباره شباهت‌گذاشت برای تجسم توزیع تنش در یک عضو غیردایره‌ای نیز بحث کردیم. سپس، توزیع تنش را در شفت‌های توخالی جدار نازک غیردایره‌ای تحلیل کردیم (قسمت ۱۳-۳). دیدیم که تنش برشی در این عضوها به موازات سطح دیواره است، و در عرض دیواره و نیز در امتداد مقطع عرضی دیواره تغییر می‌کند. مقدار متوسط تنش برشی را در عرض دیواره در یک نقطه از مقطع عرضی با a ، و فضامت دیواره را در آن نقطه با τ نشان دادیم (شکل ۵۷-۳). دیدیم که کمیت $\tau = \frac{T}{\chi A}$ ، که آن را جریان برش می‌گویند، در امتداد مقطع عرضی ثابت است.

میله با مقطع عرضی مستطیلی

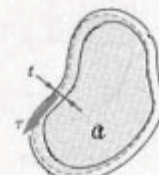


شکل ۴۸-۳

گشتاور وارد بر شفت توخالی را با T و مساحت محصور شده توسط خط مرکزی مقطع عرضی دیواره را با χ نشان دادیم، و رابطه زیر را برای تنش برشی متوسط τ در یک نقطه از مقطع عرضی نوشتیم:

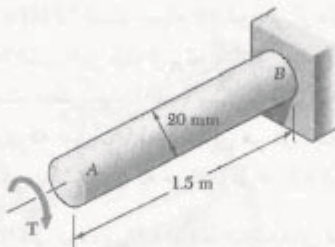
$$\tau = \frac{T}{\chi A} \quad (53-3)$$

شافت‌های توخالی جدار نازک



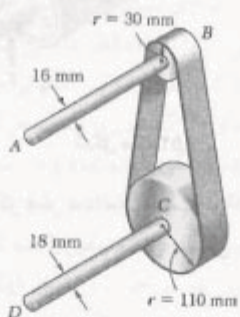
شکل ۵۷-۳

مسائل تكميلي



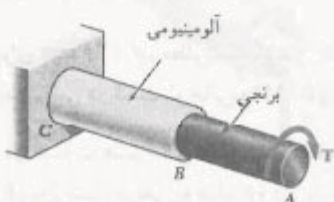
شکل ۱۴۸-۳

۱۴۹-۳ مجموعه نشان داده شده 2 kW را از نقطه A به نقطه D انتقال می‌دهد. (الف) با استفاده از نتش برشی مجاز، سرعت شفت AB را بایابید. (ب) قسمت الف را با این فرض حل کنید که قطر شفت‌های AB و CD ، به ترتیب، 18 mm و 15 mm باشد.



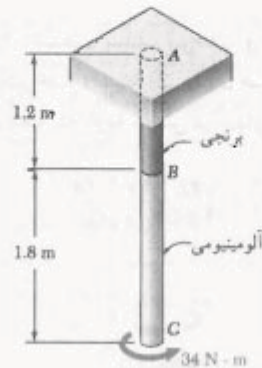
شکل ۱۴۹-۳

۱۵۰-۳ نتش مجاز در میله برنجی AB برابر 50 MPa و در میله آلومینیومی BC برابر با 25 MPa است. اگر گشتاور $T = 125 \text{ N.m}$ در A وارد شود، مطلوبست قطر: (الف) میله \overline{BC} ، (ب) میله \overline{AB} .



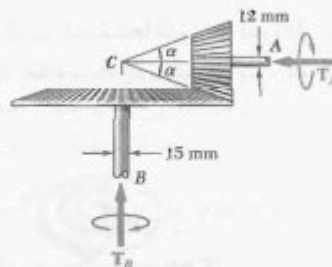
شکل ۱۵۱-۳

۱۴۶-۳ میله آلومینیومی ($G = 77 \text{ GPa}$) BC (به میله برنجی ($G = 39 \text{ GPa}$) AB متصل شده‌اند. اگر قطر هر میله 12 mm باشد، مطلوبست زاویه پیچش: (الف) در B ، (ب) در C .



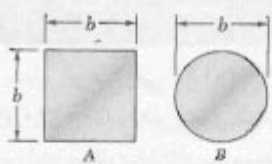
شکل ۱۴۶-۳

۱۴۷-۳ در سیستم چرخ‌نده محرومی نشان داده شده، $\alpha = 18/43^\circ$. اگر نتش مجاز برشی آلومینیوم و 55 MPa و شفت‌ها و کل سیستم در تعادل باشند، ماکزیمم گشتاور T_A را که می‌توان در A وارد کرد بایابید.



شکل ۱۴۷-۳

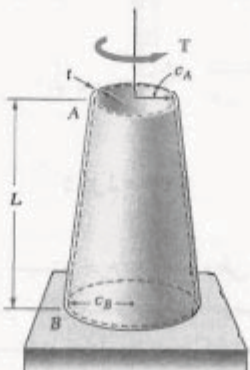
۱۴۸-۳ گشتاور T بر میله فولادی AB به قطر 20 mm وارد شده است. اگر $G = 77/2 \text{ GPa}$ و $\tau_y = 145 \text{ MPa}$ ، مطلوبست: (الف) گشتاور T وقتی زاویه پیچش در A برابر 25° است. (ب) قطر متناظر هسته الاستیک شافت.



شکل ۱۵۵-۳

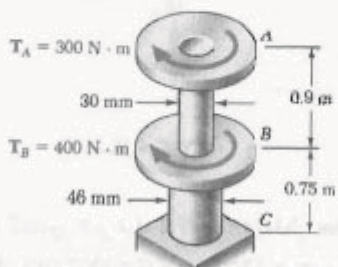
۱۵۶-۳ شفت بلند، توحالی و مخروطی AB دارای ضخامت یکنواخت است. اگر مدول صلابت را با G نشان دهیم، نشان دهد که زاویه پیچش در انتهای A چنین است

$$\phi_A = \frac{TL}{4\pi G I} \frac{c_A + c_B}{c_A^2 c_B^2}$$



شکل ۱۵۶-۳

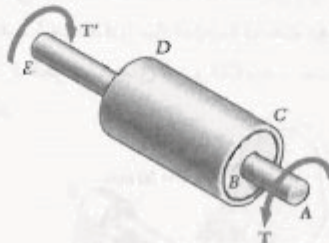
۱۵۷-۳ اگر شفت‌ها توپر و فولادی باشند و مطلوبست زاویه پیچش بین: (الف) A و B ، (ب) C و A باشد،



شکل ۱۵۷-۳

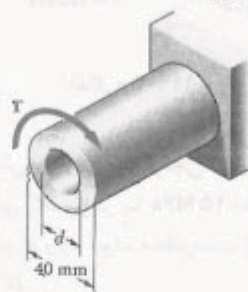
۱۵۸-۳ میله توپر BC به قطر 30 mm و از آلومینیوم با تنش برشی مجاز 25 MPa است. میله AB توحالی و دارای قطر خارجی 25 mm است: این میله از برنج با تنش برشی 40 MPa ساخته شده است. مطلوبست: (الف) بیشترین قطر داخلی برای میله AB به طوری که ضریب اطمینان برای هر دو میله یکسان باشد، (ب) بیشترین گشتاوری که می‌توان در A وارد کرد.

۱۵۹-۳ ژاکت فولادی CD توسط فلاچهای صلب به شفت AE به قطر 40 mm متصل شده است (فلاچهای به ژاکت و میله جوش شده‌اند). قطر خارجی ژاکت 80 mm و ضخامت دیواره آن 4 mm است. با اعمال گشتاور 5000 N.m ، ماکریسم تنش برشی را در ژاکت بیابید.



شکل ۱۵۹-۳

۱۶۰-۳ اگر قطر d داخلی شفت توحالی نشان داده شده باشد، ماکریسم تنش برشی حاصل از گشتاور $T = 1000 \text{ N.m}$ را بیابید.



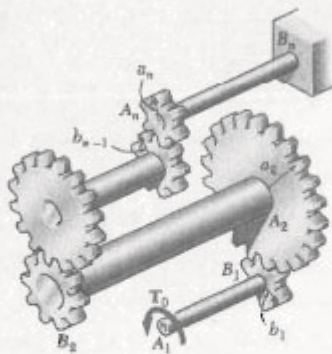
شکل ۱۶۰-۳

۱۶۱-۳ برای $d = 30 \text{ mm}$ ، مطلوبست گشتاور T به طوری که تنش ماکریسم برشی در شفت توحالی 50 MPa باشد.

۱۶۲-۳ دو شفت هم‌جنس هستند. مقطع عرضی شفت‌های A و B ، به ترتیب، مربعی به ضلع b و دایره‌ای به قطر b است. اگر شفت‌ها تحت گشتاور یکسان قرار گیرند، نسبت τ_A/τ_B را برای ایجاد ماکریسم تنش برشی در شفت‌ها بیابید.

مسائل کامپیوتری

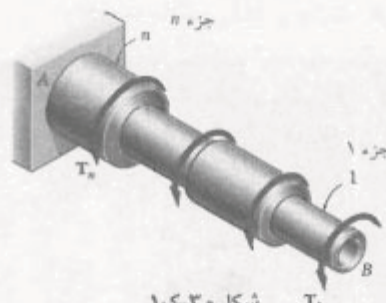
مسائل زیر برای حل با کامپیوتر طراحی شده‌اند.



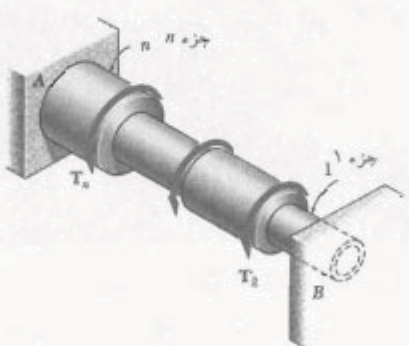
شکل م-۳-۵

۳-۳ شفت AB از n جزء همگن استوانه‌ای، که می‌تواند توپر یا توخالی باشد، تشکیل شده است. انتهای A شفت ثابت است و انتهای B آزاد می‌باشد. شفت، مطابق شکل، بارگذاری شده است. طول جزء 1 ام با L_1 ، قطر خارجی آن با ID_1 ، قطر داخلی آن با ID_2 ، مدول صلابت آن با G_1 و گشتاور وارد بر انتهای سمت راست آن با T_1 نشان داده می‌شود. مقدار T_1 این گشتاور را مثبت می‌گیریم هرگاه T_1 از انتهای B به طور پادساعتگرد دیده شود و در غیر این صورت منفی می‌گیریم. (توجه کنید که اگر جزء توپر باشد، $T_1 = 0$). (الف) یک برنامه کامپیوتری بنویسید و با آن ماکریم تنش برشی در هر جزء، زاویه پیچش هر جزء، و زاویه پیچش تمام شفت را بیاید. (ب) با استفاده از این برنامه مسائل ۳۶-۳، ۳۷-۳، ۳۸-۳، و ۱۵۷-۳ را حل کنید.

۳-۴ شفت AB از n جزء همگن استوانه‌ای، که می‌تواند ثابت‌اند، و تحت بارگذاری نشان داده شده قرار دارد. طول جزء 1 با L_1 ، قطر خارجی آن با ID_1 ، قطر داخلی آن با ID_2 ، مدول صلابت آن با G_1 و گشتاور وارد بر انتهای A را با T_1 نشان می‌دهیم. مقدار T_1 گشتاور را مثبت می‌گیریم هرگاه T_1 از انتهای B به طور پادساعتگرد دیده شود و در غیر این صورت منفی است. توجه کنید اگر جزء توپر باشد، $T_1 = 0$ و $ID_1 = 0$. یک برنامه کامپیوتری بنویسید و با استفاده از آن واکنش‌های در A و B ماکریم تنش برشی در هر جزء، زاویه پیچش هر جزء را بیاید. با استفاده از این برنامه: (الف) مسئله ۵۶-۳ را حل کنید، (ب) ماکریم تنش برشی را در شفت مثال ۵-۳ تعیین کنید.

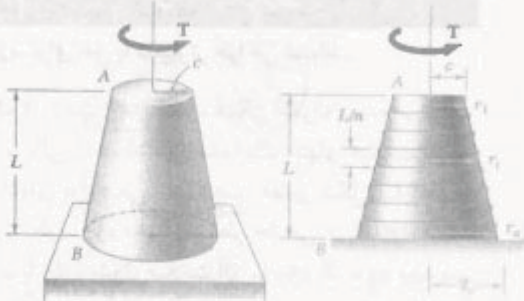


شکل م-۳-۶



شکل م-۳-۷

۳-۵ مجموعه نشان داده شده از n شفت استوانه‌ای، که می‌توانند توپر یا توخالی باشند، تشکیل شده است. این شفت‌ها توسط چرخ‌دنده‌هایی به هم متصل شده‌اند و مجموعه توسط بسته‌ای (که نشان داده نشده‌اند) نگه داشته شده است. انتهای A شفت اول آزاد است و تحت گشتاور T_1 قرار دارد، و انتهای B شفت آخر ثابت است. طول شفت A با L_1 ، قطر خارجی آن با ID_1 ، قطر داخلی آن با ID_2 و مدول صلابت آن را با G_1 نشان می‌دهیم (توجه کنید که برای جزء توپر $ID_1 = 0$). شعاع چرخ‌دنده A با a_1 و شعاع چرخ‌دنده B را با b_1 نشان می‌دهیم. (الف) یک برنامه کامپیوتری بنویسید و با استفاده از آن ماکریم تنش برشی در هر شفت، زاویه پیچش هر شفت و زاویه چرخش انتهای A را بیاید. (ب) با استفاده از این برنامه، مسائل ۴۲-۳، ۴۳-۳، و ۴۴-۳ را حل کنید.



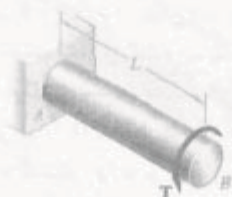
شکل ۳-۵

۳-۶ گشتاور T مطابق شکل بر شفت بلند، توانالی و مخروطی AB، که دارای ضخامت پکتواخت است، وارد شده است. عبارت دقیق زاویه پیچش شفت را از عبارت داده شده در مسئله ۳-۱۵۶ می‌توان بدست آورد. این شفت را با n حلقه استوانه‌ای با طول مساوی و با شاعع $r_i = (n+i - \frac{1}{2})(c/n)$ (جایگزین کید) و عبارت تقریبی زاویه پیچش را باید، با استفاده از مقادیر انتخابی برای T، L، G، c، T، L، G، و c، درصد خطای این عبارت تقریبی را در موارد زیر باید: (الف) n = ۱۰۰ (ب) n = ۸۰ (ج) n = ۲۰ (د) n = ۱۰ (e) n = ۵ (f) n = ۲ (g) n = ۱.



شکل ۳-۶

۳-۷ ۴ شفت همگن و توری استوانه‌ای AB دارای طول L، قطر d، مدول صلابت G و استقامات سلسیم ε است. این شفت تحت گشتاور T قرار دارد. مقدار این گشتاور به تدبیح (ز) صفر افزایش می‌باید تا اینکه زاویه پیچش شفت به مقدار ماکریم φ می‌رسد و سپس مجدعاً تا سفر کاهش می‌باید (الف) یک برنامه کامپیوتری بنویسید و با استفاده از آن، برای هر ۱۶ مدل φ که در پازه‌های مساوی قرار دارند و باز ϵ تا ۳ برابر زاویه پیچش در شروع سلسیم هستند، کمبتهای زیر را باید مقدار ماکریم T گشتاور، شاعع همه الاستیک، ماکریم تسلیم برشی، پیچش دائمی و نتش برشی باقیمانده در سطح شفت و در فصل مشترک بین همه الاستیک و ناسه پلاستیک (س) اما استفاده از این برنامه، پاسخ‌های تقریبی را برای مسائل ۳-۱۱۱ و ۳-۱۱۴ باید.



شکل ۳-۷

۳-۸ عبارت دقیق زاویه پیچش شفت توری مخروطی AB، هنگامی که تحت گشتاور T قرار می‌گیرد، در مسئله ۳-۱۳ داده شده است. شفت مخروطی را با "شافت استوانه‌ای با مدول مساوی و با شاعع $(n+i - \frac{1}{2})(c/n)$ (جایگزین کید) و عبارت تقریبی زاویه پیچش را باید (n = ... و ۲ و ۱ و ۰) با استفاده از مقادیر انتخابی برای T، L، G، و c، درصد خطای این عبارت تقریبی را در موارد زیر باید: (الف) T = ۱۰۰ (ب) T = ۱۰۰ (ج) n = ۸۰ (د) n = ۵۰ (e) n = ۲۰ (f) n = ۱۰ (g) n = ۵ (h) n = ۲ (i) n = ۱.